

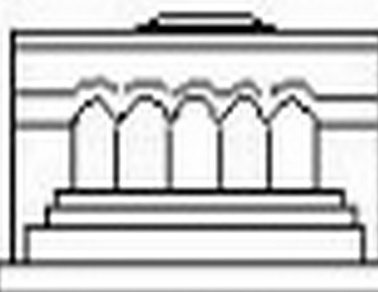
ՍԵՐԱՆԻԿԱ



МЕХАНИКА



MECHANICS



1974

С. С. ШАГИНЯН

## НЕКОТОРЫЕ КОНТАКТНЫЕ ЗАДАЧИ ДЛЯ ПЛОСКОСТИ С КРУГОВЫМ ОТВЕРСТИЕМ, УСИЛЕННОЙ НА СВОЕЙ ГРАНИЦЕ УПРУГИМИ НАКЛАДКАМИ

Исследование контактных задач для упругих тел усиленных упругими креплениями в виде накладок (стрингеров) малой толщины, которые тесно примыкают к попросам передачи нагрузок от стрингеров упругим телам и представляют большой интерес для инженерной практики, посвящены работы многих авторов. Подробную библиографию по этому вопросу можно найти в работах [1, 2]. Здесь же только отметим, что контактная задача для полуплоскости, усиленной на конечном отрезке своей границы приваренной к ней упругой накладкой малой толщины, с точки зрения выяснения особенностей контактных напряжений на концах упругой накладки была рассмотрена в работе [3]. Позже некоторые контактные задачи для полуплоскости, усиленной различными способами нагруженными и скрепленными с основанием накладками, рассматривались в работах [4, 5]. В работе [6] рассмотрена контактная задача для плоскости с круговым отверстием, граница которой усиlena упругой кольцевой накладкой малой толщины.

В настоящей работе рассматриваются некоторые контактные задачи для плоскости с круговым отверстием, усиленной на конечных отрезках своей границы упругими накладками малой толщины.

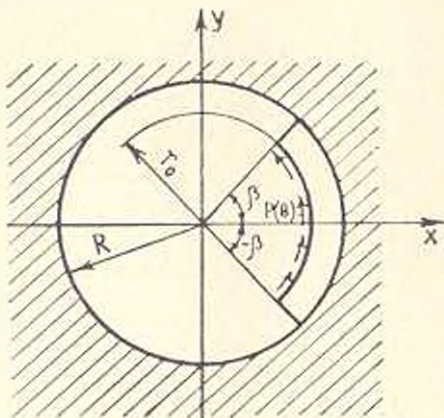
Для характерных в исследуемой задаче механических величин — касательных контактных напряжений — получены формулы, содержащие в явном виде присущие этим напряжениям особенности в окрестностях концов упругих накладок.

Эти контактные задачи рассматриваются для случая упругих пластин с круговым отверстием, находящихся в обобщенном плоском напряженном состоянии, а также для случая упругого пространства с бесконечным цилиндрическим отверстием, находящегося в условиях плоской деформации.

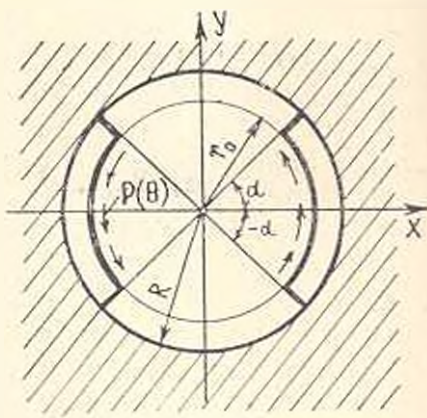
Указанные контактные задачи, как нам представляется, ставятся и решаются в настоящей работе впервые.

1. Постановка задач и вывод определяющих уравнений. Пусть плоскость с круговым отверстием радиуса  $R=1$ , что не нарушает общности, взоль конечного дугового отрезка своей границы усиlena приваренной к ней упругой накладкой, имеющей вид трапеции, которая ограничена дугами двух концентрических окружностей и отрезками радиусов. Предположим, что накладка имеет достаточно малую толщину. Кроме того, пусть на внутренней стороне этой накладки действует касательная нагрузка интенсивности  $\rho(\theta)$  (фиг. 1).

Во второй задаче предполагается, что такая же упругая плоскость вдоль симметрично расположенных конечных отрезков своей границы усиlena одинаковыми упругими накладками такой же формы, как и выше, нагруженными симметричными внешними касательными нагрузками (фиг. 2).

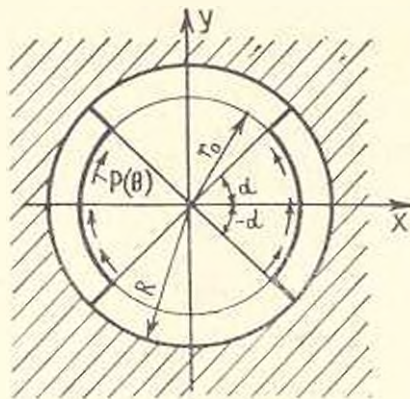


Фиг. 1.



Фиг. 2.

Рассматривается также случай кососимметрично нагруженной накладки (фиг. 3).



Фиг. 3.

Цель нашей работы заключается в определении закона распределения контактных напряжений вдоль отрезков креплений упругих накладок с основанием. В дальнейшем будет рассматриваться только первая контактная задача. Решение остальных задач можно получить вполне аналогичным способом.

Приняв те же физические предположения, что и в работе [6] и поступив точно так же, как в этой работе [6], находим, что решение указанной выше задачи после некоторых операций сводится к решению следующего сингулярного интегро-дифференциального уравнения:

$$\int_{-\beta}^{\beta} \left\{ \frac{1}{2\pi} \operatorname{ctg} \frac{s-t}{2} + K(t-s) \right\} \Psi'(s) ds = \Psi'(t) - i g(t), \quad (-\beta < t < \beta) \quad (1.1)$$

при граничных условиях

$$\Psi'(-\beta) = 0, \quad \Psi'(\beta) = 1 \quad (1.2)$$

где первый интеграл следует понимать в смысле главного значения по Коши. Здесь параметр  $\lambda$ , зависящий от геометрических и упругих характеристик накладки и плоскости, имеет значения

$$\lambda = \frac{R^2}{2r_0 h} \frac{(1+v_1)(1-2v_1)E_2}{(1-v_1^2)(1-v_1)E_1}, \quad \gamma = \frac{R^2}{2r_0 h} \frac{(1+v_1)(1-2v_1)E_2}{(1-v_1)E_1}$$

соответственно случаям плоского деформированного состояния и обобщенного плоского напряженного состояния. Постоянны  $E$  и  $v$  — модуль Юнга и коэффициент Пуассона соответственно, отмеченные индексами 1 и 2, относятся к накладкам и плоскости соответственно. Далее,

$$g(t) = g_1(t) g_1(\beta), \quad g_1(t) = \int_{-\beta}^t p(s) ds, \quad (-\beta \leq t \leq \beta)$$

$$K(t-s) = \frac{\ln 2 + \gamma(1 + \ln 2)}{\pi(1-\gamma)} \sin(t-s) - \frac{1}{\pi} \sin(t-s) \ln \left| \sin \frac{t-s}{2} \right| +$$

$$+ \frac{1-\gamma}{2\pi(1+\gamma)} [\pi - |t-s|] \cos(t-s) \operatorname{sign}(t-s) \quad (-\beta \leq t, s \leq \beta)$$

Входящая сюда постоянная  $\gamma$  имеет различные значения для различных состояний упругого тела [7], а именно  $\gamma=3-4v_2$  в случае плоской деформации и  $\gamma=(3-v_2)/(1+v_2)$  для обобщенного плоского напряженного состояния.

Легко видеть, что функция  $K(t-s)$  в квадрате  $-\beta \leq t, s \leq \beta$  непрерывна как функция двух переменных и имеет интегрируемые частные производные первого порядка.

Контактное напряжение будет даваться формулой

$$\tau(t) = \frac{r_0^2}{R^2} g_1(\beta) \Psi'(t), \quad (-\beta < t < \beta < \pi) \quad (1.3)$$

Таким образом, решение рассмотренной контактной задачи приводится к решению сингулярного интегро-дифференциального уравнения (1.1) при граничных условиях (1.2), ядро которого представлено в виде суммы известного ядра Гильберта  $(2\pi)^{-1} \operatorname{ctg} \frac{s-t}{2}$  и регулярного ядра в виде функций  $K(t-s)$ . Иными словами, в ядре уравнения (1.1) выделены его сингу-

лярная часть в виде ядра Гильберта и регулярная часть в виде непрерывной функции  $K(1-s)$ .

2. Об особенностях контактных напряжений вблизи концов упругих накладок. Для выяснения этого вопроса заметим, что потенциальная энергия деформации плоскости с круговым отверстием вследствие ее деформации контактными напряжениями должна быть величиной конечной. Поэтому возможные особенности контактных напряжений вблизи концов упругих накладок должны быть интегрируемого порядка. Из сказанного и из (1.3) следует, что имеет место представление

$$\Psi''(t) = \frac{\chi_0(t)}{(\beta-t)^{\gamma_1}(\beta+t)^{\gamma_2}}, \quad (-\beta < t < \beta)$$

где  $0 < \gamma_1, \gamma_2 < 1$ ,  $\chi_0(t)$  — функция, удовлетворяющая условию Гельдера на отрезке  $-\beta \leq t \leq \beta$ .

Исходя из этого представления и учитывая известную связь между ядрами Гильберта и Коши

$$\operatorname{ctg} \frac{s-t}{2} = i \left[ 1 + 2 \frac{\tau}{\zeta - \sigma} \right], \quad \zeta = e^{is}, \quad \sigma = e^{it}$$

на основе результатов [8], которые относятся к поведению интеграла типа Коши вблизи концов линии интегрирования, легко показать, что

$$\gamma_1 = \gamma_2 = 1/2$$

Таким образом, имеет место следующее представление:

$$\Psi''(t) = \frac{\chi_1(t)}{|2\cos t - 2\cos \beta|}, \quad (-\beta < t < \beta) \quad (2.1)$$

где  $\chi_1(t) = \chi_0(t)|2\cos t - 2\cos \beta|$ ;  $|2\beta - t|$  — функция класса  $H$  на отрезке  $[-\beta, \beta]$ .

Отметим, что подробное исследование вопроса об особенностях напряжений в некоторых классах смешанных задач теории упругости содержится в работе [9].

3. Приведение сингулярного интегро-дифференциального уравнения (1.1) с граничным условием (1.2) к бесконечной системе уравнений. Сначала приводим следующие интегральные соотношения:

$$\begin{aligned} & \frac{1}{2\pi} \int_{-\beta}^{\beta} \operatorname{ctg} \frac{s-t}{2} T_{2m} \left( \frac{\sin \frac{s}{2}}{\sin \frac{\beta}{2}} \right) \frac{\cos \frac{s}{2}}{\sqrt{2\cos s - 2\cos \beta}} ds \\ &= \begin{cases} 0, & m = 0 \\ \frac{1}{2} \csc \frac{\beta}{2} U_{2m-1} \left( \frac{\sin \frac{t}{2}}{\sin \frac{\beta}{2}} \right) \cos \frac{t}{2}, & m = 1, 2, \dots \end{cases} \quad (3.1) \end{aligned}$$

$$\begin{aligned} & \frac{1}{2\pi} \int_{-\beta}^{\beta} \operatorname{ctg} \frac{s-t}{2} T_{2m-1} \left( \frac{\operatorname{tg} \frac{s}{2}}{\operatorname{tg} \frac{\beta}{2}} \right) \frac{\sec \frac{s}{2} ds}{\sqrt{2\cos s - 2\cos \beta}} = \\ & = \frac{1}{2} \csc \frac{\beta}{2} U_{2m-2} \left( \frac{\operatorname{tg} \frac{t}{2}}{\operatorname{tg} \frac{\beta}{2}} \right) \sec^2 \frac{t}{2}, \quad m = 1, 2, \dots \end{aligned} \quad (3.2)^*$$

нужные нам и дальнейшем. Отметим, что они получаются из известного соотношения

$$\int_{-1}^1 \frac{T_n(y) dy}{(y-x)\sqrt{1-y^2}} = \pi U_{n-1}(x), \quad (n=1, 2, \dots), \quad |x| \leq 1$$

при помощи элементарных выкладок. В последней формуле  $T_n(x) = -\cos(n \arccos x)$  ( $n=0, 1, 2, \dots$ ) и  $U_n(x) = \sin[(n+1) \arccos x] \sin \arccos x$ , ( $n=0, 1, \dots$ ) — известные многочлены Чебышева первого и второго рода соответственно.

Далее, ввиду (2.1), решение уравнения (1.1) представим формулой

$$\begin{aligned} \Psi'(t) = & \frac{\cos \frac{t}{2}}{1 - 2\cos t - 2\cos \beta} \sum_{m=0}^{\infty} x_{2m} T_{2m} \left( \frac{\sin \frac{t}{2}}{\sin \frac{\beta}{2}} \right) + \\ & + \frac{\sec \frac{t}{2}}{1 - 2\cos t - 2\cos \beta} \sum_{m=1}^{\infty} x_{2m-1} T_{2m-1} \left( \frac{\operatorname{tg} \frac{t}{2}}{\operatorname{tg} \frac{\beta}{2}} \right) \end{aligned} \quad (3.3)$$

с неизвестными коэффициентами  $|x_{2m}|$  и  $|x_{2m-1}|$ .

Отметим, что первая сумма в формуле (3.3) с точностью постоянного множителя представляет собой симметричную часть неизвестных контактных напряжений, а вторая сумма — кососимметричную часть тех же напряжений.

Интегрируя обе части (3.3) в пределах  $(-\beta, t)$  и учитывая (1.2), будем иметь

$$\begin{aligned} \Psi(t) = & x_0 \left| -2 - \arcsin \left( \sin \frac{t}{2} \csc \frac{\beta}{2} \right) \right| - \\ & - \frac{1}{2} \csc \frac{\beta}{2} \sum_{m=1}^{\infty} x_{2m} (2m)^{-1} \left| \frac{2\cos t - 2\cos \beta}{1 - 2\cos t - 2\cos \beta} U_{2m-1} \left( \sin \frac{t}{2} \csc \frac{\beta}{2} \right) \right| - \end{aligned}$$

\* Аналогичные соотношения приведены в работе [10] в несколько другом виде.

$$-\frac{1}{2} \sec \frac{\beta}{2} \csc \frac{\beta}{2} \sum_{m=1}^{\infty} x_{2m-1} (2m-1)^{-1} \sqrt{2 \cos t - 2 \cos \beta} \sec \frac{t}{2} \times \\ \times U_{2m-2} \left( \operatorname{tg} \frac{t}{2} \operatorname{ctg} \frac{\beta}{2} \right) \quad (3.4)$$

Отсюда коэффициент  $x_0$  определяется непосредственно, а именно:  
 $x_0 = \kappa^{-1}$ .

Подставив (3.3) и (3.4) в (1.1) и используя соотношения (3.1) и (3.2), известным способом [2] получим бесконечную систему линейных уравнений относительно неизвестных коэффициентов

$$x_{2k} + \left( 2\pi \sin^2 \frac{\beta}{2} \right)^{-1} \sum_{m=1}^{\infty} x_{2m} (2m)^{-1} [A_{2m-1, 2k-1} + B_{2m-1, 2k-1}] = \\ = \left( \pi \sin \frac{\beta}{2} \right)^{-1} b_{2k-1}, \quad k = 1, 2, \dots \quad (3.5)$$

$$x_{2k-1} + \left( 2\pi \sin^2 \frac{\beta}{2} \right)^{-1} \sum_{m=1}^{\infty} x_{2m-1} (2m-1)^{-1} [A_{2m-2, 2k-2} + B_{2m-2, 2k-2}] = \\ = \left( \pi \operatorname{tg} \frac{\beta}{2} \right)^{-1} b_{2k-2}, \quad k = 1, 2, \dots \quad (3.6)$$

Здесь приняты следующие обозначения:

$$A_{2m-1, 2k-1} = \left[ \lambda - \frac{1-x}{1+x} \right] \int_{-\beta}^{\beta} U_{2m-1} \left( \frac{\sin \frac{t}{2}}{\sin \frac{\beta}{2}} \right) \times \\ \times U_{2k-1} \left( \frac{\sin \frac{t}{2}}{\sin \frac{\beta}{2}} \right) (2 \cos t - 2 \cos \beta) dt, \quad m, k = 1, 2, \dots \\ B_{2m-1, 2k-1} = \int_{-\beta}^{\beta} U_{2m-1} \left( \frac{\sin \frac{s}{2}}{\sin \frac{\beta}{2}} \right) \sqrt{2 \cos s - 2 \cos \beta} ds \int_{-\beta}^{\beta} G(t-s) \times \\ \times U_{2k-1} \left( \frac{\sin \frac{t}{2}}{\sin \frac{\beta}{2}} \right) \sqrt{2 \cos t - 2 \cos \beta} dt, \quad m, k = 1, 2, \dots$$

$$b_{2k-1} = \int_{-\beta}^{\beta} \left[ \lambda \pi^{-1} \arcsin \left( \frac{\sin \frac{t}{2}}{\sin \frac{\beta}{2}} \right) - \pi^{-1} R(t) - \lambda g(t) \right] \times$$

$$\times U_{2k-1} \left( \frac{\sin \frac{t}{2}}{\sin \frac{\beta}{2}} \right) \sqrt{2 \cos t - 2 \cos \beta} dt, \quad k = 1, 2, \dots$$

$$A_{2m-2, 2k-2} = \left[ \lambda - \frac{1-z}{1+z} \right] \int_{-\beta}^{\beta} U_{2m-2} \left( \frac{\operatorname{tg} \frac{t}{2}}{\operatorname{tg} \frac{\beta}{2}} \right) \times$$

$$\times U_{2k-2} \left( \frac{\operatorname{tg} \frac{t}{2}}{\operatorname{tg} \frac{\beta}{2}} \right) (2 \cos t - 2 \cos \beta) \sec^2 \frac{t}{2} dt, \quad m, k = 1, 2, \dots$$

$$B_{2m-2, 2k-2} = \int_{-\beta}^{\beta} U_{2m-2} \left( \frac{\operatorname{tg} \frac{s}{2}}{\operatorname{tg} \frac{\beta}{2}} \right) \sqrt{2 \cos s - 2 \cos \beta} \sec \frac{s}{2} ds \times$$

$$\times \int_{-\beta}^{\beta} G(t-s) U_{2k-2} \left( \frac{\operatorname{tg} \frac{t}{2}}{\operatorname{tg} \frac{\beta}{2}} \right) \sqrt{2 \cos t - 2 \cos \beta} \sec \frac{t}{2} dt, \quad m, k = 1, 2, \dots$$

$$b_{2k-2} = \frac{i}{2} \int_{-\beta}^{\beta} [1 - 2g(t)] \sqrt{2 \cos t - 2 \cos \beta} \sec \frac{t}{2} U_{2k-2} \left( \operatorname{tg} \frac{t}{2} \operatorname{ctg} \frac{\beta}{2} \right) dt$$

$$k = 1, 2, \dots$$

так

$$G(t-s) = -\frac{1}{2\pi} - \frac{2x - (z+1)\ln 2}{\pi(1+z)} \cos(t-s) -$$

$$-\frac{1}{\pi} \cos(t-s) \ln \left| \sin \frac{t-s}{2} \right| + \frac{1-z}{2\pi(1+z)} [\pi - |t-s|] \sin(t-s) \operatorname{sign}(t-s)$$

$$(-\beta \leq t, s \leq \beta)$$

$$R(t) = \int_{-\beta}^{\beta} K(t-s) \frac{\cos \frac{s}{2} ds}{\sqrt{2 \cos s - 2 \cos \beta}}. \quad [R(t) = -R(-t), -\beta \leq t \leq \beta]$$

4. Исследование бесконечных систем линейных уравнений. Обратимся сначала к бесконечной системе (3.6). Для ее исследования оценим суммы

$$S_{2k-2} = \left( 2\pi \sin^2 \frac{\beta}{2} \right)^{-1} \sum_{m=1}^{\infty} (2m-1)^{-1} |A_{2m-2, 2k-2} + B_{2m-2, 2k-2}|, \quad k=1, 2, \dots$$

При помощи неравенства Коши-Буняковского будем иметь

$$S_{2k-2} \leq \left( 2\pi \sin^2 \frac{\beta}{2} \right)^{-1} \left[ \sum_{m=1}^{\infty} (2m-1)^{-1} \right]^{1/2} (M_{2k-2})^{1/2} + (M_{2k-1})^{1/2}$$

где

$$M_{2k-2} = \sum_{m=1}^{\infty} A_{2m-2, 2k-2}^2, \quad M_{2k-1} = \sum_{m=1}^{\infty} B_{2m-2, 2k-2}^2$$

или же

$$S_{2k-2} \leq \left( 4\sqrt{2} \sin^2 \frac{\beta}{2} \right)^{-1} [(M_{2k-2})^{1/2} + (M_{2k-1})^{1/2}] \quad (4.1)$$

Рассмотрим теперь функцию

$$\begin{aligned} u(t) = & \left| t - \frac{1-x}{1+x} \right| 2\pi \operatorname{tg} \frac{\beta}{2} \sin \frac{\beta}{2} U_{2k-2} \left( \operatorname{tg} \frac{t}{2} \operatorname{ctg} \frac{\beta}{2} \right) \\ & \times \left| \overline{2 \cos t - 2 \cos \beta} \cos \frac{t}{2} \right| \end{aligned}$$

Коэффициентами Фурье последней функции по полной ортогональной в  $L^2(0, \beta) \left( u(t) \sec^2 \frac{t}{2} \mid \overline{2 \cos t - 2 \cos \beta} \right)$  системе многочленов

$\left| U_{2k-2} \left( \operatorname{tg} \frac{t}{2} \operatorname{ctg} \frac{\beta}{2} \right) \right|_{t=m-1}$  будут как раз коэффициенты  $|A_{2m-2, 2k-2}|_{m, k=1}$ .

Следовательно, на основании известного равенства Парсеваля

$$\begin{aligned} M_{2k-2} = & \left| t - \frac{1-x}{1+x} \right|^2 4\pi^2 \operatorname{tg}^2 \frac{\beta}{2} \sin^2 \frac{\beta}{2} \int \left| \overline{2 \cos t - 2 \cos \beta} \sec^2 \frac{t}{2} \right|^2 \\ & \times \left| U_{2k-2} \left( \operatorname{tg} \frac{t}{2} \operatorname{ctg} \frac{\beta}{2} \right) \mid \overline{2 \cos t - 2 \cos \beta} \cos \frac{t}{2} \right|^2 dt \end{aligned}$$

Оценив входящий сюда интеграл, для  $M_{2k-2}$  окончательно находим

$$(M_{2k-2})^{1/2} \leq \left| t - \frac{1-x}{1+x} \right| 4\pi \left| \overline{2\pi \operatorname{tg} \frac{\beta}{2} \sin^3 \frac{\beta}{2}} \right| \quad k=1, 2, \dots \quad (4.2)$$

Рассмотрим теперь функцию

$$\Omega(s) = 2\pi \operatorname{tg} \frac{\beta}{2} \sin \frac{\alpha}{2} \cos^2 \frac{s}{2} \int_{-\pi}^{\pi} G(t-s) \times U_{2k-2} \left( \operatorname{tg} \frac{t}{2} \operatorname{ctg} \frac{\beta}{2} \right) \sqrt{2 \cos t - 2 \cos \beta} \sec \frac{t}{2} dt$$

Совершенно аналогичным образом будем иметь

$$(M_{2k-2})^{1/2} = 8 \operatorname{tg} \frac{\beta}{2} \sin^2 \frac{\alpha}{2} \sqrt{\frac{\beta \sin \frac{\beta}{2}}{2}} N \quad (4.3)$$

Здесь

$$N^2 = 4Q^{2k-2} + \frac{4Q}{\pi} [\beta^2 - 2\beta^2 \ln(2\beta) - 2\beta^2(1 + \ln 2) - \\ + 4\beta^2 \ln 3 - 4\beta^2 \ln \sin \beta] + 2\pi^{-2} [2\beta^2 \ln^2(2\beta) - 2\beta^2 \ln(2\beta) + \\ + \beta^2 - (2 + \ln 4)[2\beta^2 \ln(2\beta) - \beta^2] - 4\beta^2 - 4\beta^2 \ln 2 + 4\beta^2 \ln^2 2]$$

$$Q = \frac{1}{2\pi} + \frac{2x + (x+1)\ln 2}{\pi(1+x)} + \frac{x-1}{2\pi(x-1)}$$

Для выполнения регулярности системы (3.4) достаточно, чтобы выполнялось условие  $S_{2k-2} < q < 1$  ( $k = 1, 2, \dots$ ). С учетом (4.1), (4.2) и (4.3) это условие примет вид

$$i < \pi^{-1/2} \operatorname{ctg} \frac{\beta}{2} \csc \frac{\beta}{2} - N \sqrt{\frac{2}{\pi} \beta \csc \frac{\beta}{2} - \frac{1-x}{1+x}}$$

Теперь докажем, что для любого значения параметра  $i$  ( $0 \leq i < \pi$ ) бесконечная система квазирегулярна. С этой целью заметим следующее. Исследование системы (3.6) с ядром  $(2m-1)^{-1} A_{2m-2, 2m-2}$ , к которой сноится сингулярное интегро-дифференциальное уравнение (1.1) с граничным условием (1.2) в случае только ядра Гильберта  $(2m-1)^{-1} \operatorname{ctg} \frac{s-t}{2}$ , содержится в работах [4, 10]. Покажем, что добавление к этому ядру нового ядра  $(2m-1)^{-1} B_{2m-2, 2m-2}$ , которое обусловлено наличием в структуре ядра исходного интегро-дифференциального уравнения (1.1) регулярной части в виде функции  $K(t-s)$ , не нарушает регулярности исходной бесконечной системы в смысле ее квазиполицерегулярности. Действительно, если обозначим через  $K_{2m-2, 2m-2} = (2m-1)^{-1} B_{2m-2, 2m-2}$ , то при помощи неравенства Коши-Буняковского получим

$$L_{2k-2} = \sum_{m=1}^{\infty} |K_{2m-1, 2k-2}| \leq \left[ \sum_{m=1}^{\infty} (2m-1)^{-2} \right]^{1/2} \times \\ \times \left[ \sum_{m=1}^{\infty} B_{2m-2, 2k-2}^2 \right]^{1/2} = 8^{-1/2} = (M_{2k-2})^{1/2}$$

С другой стороны, как легко видеть, коэффициенты  $\{B_{2m-1, 2k-2}\}_{m, k=1}^{\infty}$  являются коэффициентами Фурье функции

$$f(t, s) = 4\pi \cdot \operatorname{tg}^2 \frac{\frac{s}{2}}{2} \cos^2 \frac{\frac{t}{2}}{2} G(t-s) \cos^2 \frac{t}{2} \cos^2 \frac{s}{2}$$

из системы многочленов

$$\left| U_{2m-2} \left( \operatorname{tg} \frac{\frac{s}{2}}{2}, \operatorname{ctg} \frac{\frac{s}{2}}{2} \right) U_{2k-2} \left( \operatorname{tg} \frac{\frac{t}{2}}{2}, \operatorname{ctg} \frac{\frac{t}{2}}{2} \right) \right|_{m, k=1}^{\infty}$$

которые составляют полную ортогональную систему в классе функций, квадратично суммируемых с весом  $\rho_1(t, s)$  ( $\rho_1(t, s) = \rho(t)\rho(s)$ ) на квадрате  $0 \leq t, s \leq \pi$ . Тогда вследствие неравенства Бесселя двойной ряд

$$\sum_{m, k=1}^{\infty} B_{2m-2, 2k-2}^2$$

сходится. Следовательно, сходится и ряд [11]

$$\sum_{k=1}^{\infty} M_{2k-2}, \quad M_{2k-2} = \sum_{m=1}^{\infty} B_{2m-2, 2k-2}$$

Отсюда, по крайней мере,

$$M_{2k-2} = O[(2k-2)^{-1-\varepsilon}], \quad k \rightarrow \infty$$

где  $\varepsilon$  — сколь угодно малое положительное число.

Приняв во внимание выражение для  $L_{2k-2}$  будем иметь

$$L_{2k-2} = O[(2k-2)^{-1+\varepsilon/2}], \quad k \rightarrow \infty$$

что и доказывает высказанное выше утверждение.

Далее, можно показать, что свободный член этой системы стремится к нулю при  $k \rightarrow \infty$  со скоростью не менее, чем  $(2k-2)^{-1}$ . В этом легко убедиться, если в выражении свободного члена произвести замену переменного интегрирования следующим образом:

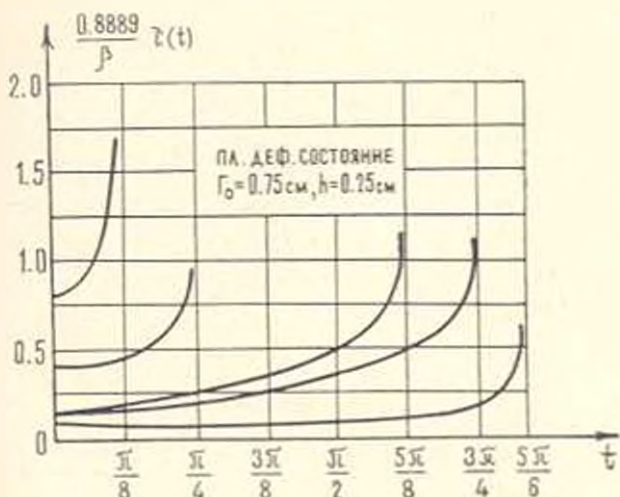
$$\cos \varphi = \operatorname{tg} \frac{t}{2} \operatorname{ctg} \frac{s}{2}, \quad 0 < \varphi < \pi$$

а затем пользоваться формулой интегрирования по частям.

Совершенно аналогичным образом исследуется бесконечная система (3.5).

Перейдем к обсуждению числовых результатов. Численная реализация полученных формул произведена на ЭВМ «Нанри-2». При этом предполагалось, что внешняя нагрузка, действующая на накладку, распределена равномерно с интенсивностью  $\rho(0)=1 \text{ кг}/\text{см}^2$ , а толщина накладки —  $h=0.25 \text{ см}$ . Остальные параметры варирировались различными способами. Эти вариации включали выбор материалов контактирующих пар накладка-плоскость с круговым отверстием, а также длину участка контакта.

При решении соответствующих бесконечных систем линейных уравнений ограничивались лишь решением системы десяти уравнений, поскольку ее решение с точностью по крайней мере шестизначных цифр совпало с решением системы из восьми уравнений. Здесь же отметим, что при вычислении коэффициентов бесконечных систем, которые представлены в виде интегралов, ограничивались такой точностью, чтобы в дробных частях значений этих интегралов совпадали по крайней мере трехзначные цифры. В таблицах указаны решения соответствующих систем линейных уравнений для различных контактирующих пар и для различных значений длины участка контакта. При вычислении контактных напряжений ограничивались одиннадцатью членами. На графиках (фиг. 4) показано влияние изме-



Фиг. 4.

нения длины участка контакта на закон распределения контактных напряжений для одной и той же контактирующей пары. При этом было замечено следующее: если при возрастании параметра  $\beta$  контактное напряжение имеет лишь малозаметную тенденцию уменьшения, то изменение параметра  $\beta$  ярким образом влияет на распределение контактных напряжений под упругой накладкой. Точнее, с возрастанием параметра  $\beta$  контактное напряжение под упругой накладкой существенно уменьшается. Эта закономер-

ность полностью согласуется с принятой нами физической моделью на-  
кладки.

Значения коэффициентов в формуле (3.3) для различных значений физических и геометрических параметров приведены в таблицах.

Таблица 1

	$\zeta_1 = 0.7960$ Fe:Al	$\zeta_2 = 2.1167$ Al:Zn	$\zeta_3 = 3.4863$ Бронза:Fe	$\zeta_4 = 4.2593$ Латунь:Fe	$\zeta_5 = 5.7102$ Al:Fe
$x_2$	-0.0007	-0.0084	-0.0215	-0.0265	-0.0344
$x_4$	0.0010	0.0032	0.0041	0.0045	0.0047
$x_6$	0.0003	0.0011	0.0018	0.0022	0.0028
$x_8$	0.0002	0.0008	0.0009	0.0010	0.0014
$x_{10}$	0	0.0002	0.0004	0.0005	0.0006
$x_{11}$	0	0.0001	0.0001	0.0002	0.0003
$x_{14}$	0	0	0	0	0.0001
$x_{16}$	0	0	0	0	0
$x_{18}$	0	0	0	0	0
$x_{20}$	0	0	0	0	0

Таблица 2

	$\zeta_1 = 0.7960$ Fe:Al	$\zeta_2 = 2.1167$ Al:Zn	$\zeta_3 = 3.4863$ Бронза:Fe	$\zeta_4 = 4.2593$ Латунь:Fe	$\zeta_5 = 5.7102$ Al:Fe
$x_2$	-0.0421	-0.0467	-0.0581	0.0617	-0.0671
$x_4$	-0.0015	-0.0001	-0.0013	-0.0018	-0.0028
$x_6$	-0.0003	0.0005	0.0009	0.0013	0.0013
$x_8$	-0.0004	-0.0002	0.0003	0.0005	0.0008
$x_{10}$	0.0006	0.0008	0.0011	0.0012	0.0013
$x_{12}$	0.0002	0.0003	0.0005	0.0005	0.0007
$x_{14}$	0.0003	0.0003	0.0004	0.0004	0.0005
$x_{16}$	0.0002	0.0003	0.0003	0.0004	0.0004
$x_{18}$	0.0002	0.0002	0.0003	0.0003	0.0004
$x_{20}$	0.0002	0.0002	0.0003	0.0002	0.0003

Таблица 3

 $\beta_3 = 1.9635$ 

	$\varepsilon_1 = 0.7960$ Fe:Al	$\varepsilon_2 = 2.1167$ Al:Zn	$\varepsilon_3 = 3.4863$ Бронза:Fe	$\varepsilon_4 = 4.2593$ Латунь:Fe	$\varepsilon_5 = 5.7102$ Al:Fe
$x_3$	-0.1191	-0.1017	-0.0941	-0.0982	-0.0888
$x_4$	-0.0317	-0.0326	-0.0221	-0.1078	-0.0324
$x_5$	-0.0121	-0.0138	0.0121	-0.0287	-0.0143
$x_6$	-0.0050	-0.0063	-0.0053	-0.0152	-0.0067
$x_{10}$	0.0025	-0.0034	-0.0027	-0.0086	-0.0035
$x_{12}$	-0.0012	-0.0019	-0.0014	-0.0050	-0.0018
$x_{14}$	0.0002	-0.0001	0	-0.0022	-0.0002
$x_{16}$	0.0018	0.0021	0.0016	0	0.0012
$x_{19}$	0.0002	0.0001	0.0002	-0.0009	0
$x_{20}$	0.0008	0.0007	0.0007	-0.0002	0.0004

Таблица 4

 $\beta_4 = 2.3562$ 

	$\varepsilon_1 = 0.7960$ Fe:Al	$\varepsilon_2 = 2.1167$ Al:Zn	$\varepsilon_3 = 3.4863$ Бронза:Fe	$\varepsilon_4 = 4.2593$ Латунь:Fe	$\varepsilon_5 = 5.7102$ Al:Fe
$x_3$	-0.1251	0.1538	-0.1792	-0.1905	-0.2078
$x_4$	-0.0222	-0.0185	-0.0404	-0.0452	-0.0528
$x_5$	-0.0084	-0.0038	0.0122	-0.0137	-0.0155
$x_9$	-0.0034	0	-0.0030	-0.0046	-0.0032
$x_{10}$	-0.0015	0.0008	-0.0003	-0.0831	0.0004
$x_{12}$	-0.0007	0.0007	0.0004	-0.0008	0.0013
$x_{14}$	-0.0002	0.0007	0.0008	0.0001	0.0015
$x_{16}$	0.0005	0.0013	0.0013	0.0010	0.0019
$x_{19}$	0.0014	0.0021	0.0021	0.0019	0.0025
$x_{20}$	0.0007	0.0012	0.0012	0.0010	0.0014

Таблица 5

 $\beta_5 = 2.6180$ 

	$\varepsilon_1 = 0.7960$ Fe:Al	$\varepsilon_2 = 2.1167$ Al:Zn	$\varepsilon_3 = 3.4863$ Бронза:Fe	$\varepsilon_4 = 4.2593$ Латунь:Fe	$\varepsilon_5 = 5.7102$ Al:Fe
$x_3$	-0.0520	-0.0480	-0.0461	-0.0456	0.0433
$x_4$	-0.0144	-0.0179	-0.0199	-0.0207	-0.0115
$x_5$	-0.0091	-0.0114	-0.0125	-0.0130	-0.0038
$x_9$	-0.0056	-0.0053	-0.0077	-0.0080	0.0001
$x_{10}$	-0.0036	-0.0045	-0.0047	-0.0049	0.0018
$x_{12}$	-0.0020	-0.0030	-0.0031	-0.0032	0.0024
$x_{14}$	-0.0017	-0.0022	-0.0022	0.0018	0.0024
$x_{16}$	-0.0011	-0.0015	-0.0023	-0.0008	0.0023
$x_{19}$	-0.0004	-0.0005	-0.0007	-0.0007	0.0023
$x_{20}$	0.0008	0.0009	0.0009	0.0006	0.0029

При помощи этих таблиц построены графики контактных напряжений для значения параметра  $\lambda = \lambda_1$ .

В заключение приношу глубокую благодарность Н. Х. Арутюняну за внимание к работе.

Ереванский государственный  
университет

Поступила 26 VI 1973

### Ա. Ս. ՇԱՀԻՆՅԱՆ

ԽՐ ԵԶՐՈՒՄ ԱՌԱՋԴԱԿԱՆ ՎԵՐՍԴԻՐՆԵՐՈՎ ՈՒԺԵՂԱՑՎԱԾ ԿԼՈՐ ԱՆՑՔՈՎ  
ՀԱՐԹՈՒԹՅԱՆ ՀԱՄԱՐ ՄԻ ՔԱՆԻ ԿՈՆՏԱԿՏԱՅԻՆ ԽԵԴԻՐՆԵՐ

### Ա. Ճ փ ռ Փ ու մ

Աշխատանքում դիտարկվում են մի քանի կոնտակտային խնդիրներ կլոր անցրով առաձգական հարթության համար, որն իր եղբագծի ազեղային հատվածների վրա ուժեղացված է փոքր հաստություն ունեցող առաձգական վերադիրներով: Եշպած խնդիրների լուծումը բնրվում է սինգուլյար ինտեգրո-դիֆերենցիալ հավասարումների լուծմանը որոշակի եզրային պայմանների դեպքում: Ստացված սինգուլյար ինտեգրո-դիֆերենցիալ հավասարումների կորիզը բաղկացած է երկու զումարելիներից, որոնցից առաջինով՝ Հիլբերտի կորիզով, պայմանավորված է նրա եզակի մասը, իսկ երկրորդը իրենից ներկայացնում է քառակուսու մեջ որոշված անընդհատ ֆունկցիա: Այդ որոշիչ հավասարումների համար ստացված են էֆեկտիվ լուծումներ: Վերջիններիս թվային արդյունքները մի քանի դեպքերի համար ներկայացված են աղյուսակներում և գծագրերում:

### CERTAIN CONTACT PROBLEMS FOR A PLANE WITH A CIRCULAR HOLE REINFORCED WITH ELASTIC STIFFENERS ON ITS BOUNDARY

S. S. SHAHINIAN

### Summary

Certain contact problems are considered for an elastic plane with a circular hole, reinforced above the arc segment of its boundary with elastic stiffeners of a small thickness. The solution of the above problems is reduced to that of singular integral-differential equations under specified boundary conditions. Efficient solution for these equations are found.

## ЛИТЕРАТУРА

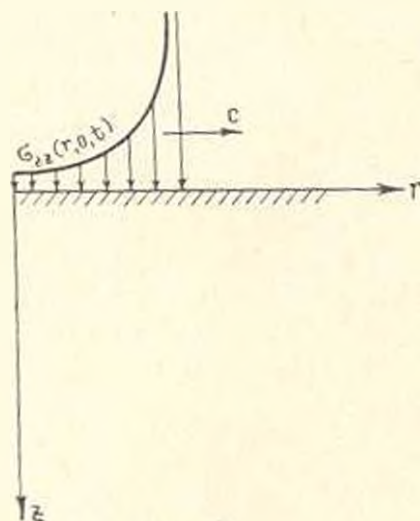
1. Муки Р., Стернберг Э. Передача нагрузки от растягиваемого поперечного стержня к полубесконечной упругой пластинке. Прикл. мех., Тр. аммерик. с-ва инж.-мех., т. 35, № 4, 1968, 124—135.
2. Arutunian N. K. and Mkhitarian S. M. Some contact problems for a semiplane with elastic stiffeners. Trends in elasticity and thermoelasticity. Witold Nowacki Anniversary Volume. Wolters-Nordhoff Publ., 1971. 3—20.
3. Арутюнян Н. Х. Контактная задача для полуплоскости с упругим креплением. ПММ, т. 32, № 2, 1968, 632—646.
4. Арутюнян Н. Х., Мхитарян С. М. Периодическая контактная задача для полуплоскости с упругими накладками. ПММ, т. 33, № 5, 1969, 813—843.
5. Арутюнян Н. Х., Мхитарян С. М. Некоторые контактные задачи для полуплоскости с частично скрепленными упругими накладками. Изв. АН Арм. ССР, Механика, т. 25, № 2, 1972, 15—35.
6. Шатинян С. С. Передача нагрузок от кольцевой накладки к плоскости с круговым отверстием. МТТ, № 5, 1972, 178—183.
7. Мусхелишвили Н. И. Некоторые основные задачи математической теории упругости. Изд-во „Наука“, М., 1966.
8. Мусхелишвили Н. И. Сингулярные интегральные уравнения. Изд-во „Наука“, М., 1968.
9. Ворович И. И. О некоторых смешанных задачах теории упругости для полосы. Сб. Механико сплошной среды и родственные проблемы анализа. Изд-во „Наука“, М., 1972.
10. Морарь Г. А., Попов Г. Я. К периодической задаче для полуплоскости с упругими накладками. ПММ, г. 35, № 1, 1971, 172—178.
11. Уиттекер Э., Ватсон Г. Курс современного анализа, т. 3. Физматгиз, М., 1963.
12. Канторович Л., Крылов В. Приближенные методы высшего анализа. Гостехиздат, М.—Л., 1950.

С. Г. СЛАКЯН

## ВОЛНЫ В УПРУГОМ ПОЛУПРОСТРАНСТВЕ, ВЫЗВАННЫЕ БЕГУЩЕЙ ОСЕСИММЕТРИЧНОЙ НОРМАЛЬНОЙ НАГРУЗКОЙ

### § 1. Постановка задачи и ее решение в образах

Пусть давление за фронтом ударной волны, распространяющейся постоянной скоростью с по поверхности однородного, изотропного упругого полупространства, имеет вид (фиг. 1)



Фиг. 1.

$$p(r, t) = \frac{P_0 H(ct - r)}{1 - (ct)^2 - r^2} \quad (1)$$

где  $H$ —функция Хевисайда,  $P_0$ —постоянная.

При отсутствии объемных сил поведение полупространства описывается уравнениями

$$\begin{aligned} \frac{\partial^2 \varphi}{\partial r^2} + \frac{1}{r} \frac{\partial \varphi}{\partial r} + \frac{\partial^2 \psi}{\partial z^2} &= \frac{1}{c_d^2} \frac{\partial^2 \varphi}{\partial t^2} \\ \frac{\partial^2 \psi}{\partial r^2} + \frac{1}{r} \frac{\partial \psi}{\partial r} - \frac{\psi}{r^2} + \frac{\partial^2 \psi}{\partial z^2} &= \frac{1}{c_s^2} \frac{\partial^2 \psi}{\partial t^2} \end{aligned} \quad (1)$$

где скалярный и векторный потенциалы  $\varphi$  и  $\psi$  связаны с вектором перемещения  $u = u_r \hat{e}_r + u_z \hat{e}_z$

$$u_r = \frac{\partial \varphi}{\partial r} - \frac{\partial \psi}{\partial z}, \quad u_z = \frac{\partial \psi}{\partial z} + \frac{\partial \varphi}{\partial r} + \frac{\dot{\varphi}}{r} \quad (1.3)$$

$c_d^2 = (1 + 2\nu)/\rho_0$ ,  $c_s^2 = \nu/\rho_0$  — скорости распространения продольной и поперечной волн,  $\nu$ ,  $\rho_0$  — постоянные Ламе,  $\rho_0$  — плотность среды.

Границные условия, выражающие отсутствие касательных напряжений и равенство нормальных напряжений заданному давлению, следующие:

$$\sigma_{zz}(r, 0, t) = -p(r, t), \quad \sigma_{rz}(r, 0, t) = 0 \quad (1.4)$$

Начальные условия для  $\varphi$  и  $\psi$  имеют вид

$$\varphi(r, z, 0) = \frac{\partial \varphi(r, z, 0)}{\partial t} = \psi(r, z, 0) = \frac{\partial \psi(r, z, 0)}{\partial t} = 0 \quad (1.5)$$

Решение уравнений (1.1), ограниченное в бесконечности и удовлетворяющее начальным (1.5) и граничным (1.4) условиям, получим, если применим преобразование Лапласа, а затем к полученным уравнениям — преобразование Ганкеля. Обращая преобразование Ганкеля полученного решения и используя соотношение (1.3) между потенциалами и перемещениями, получим перемещение в преобразовании Лапласа

$$u_j = \bar{u}_{jd} + u_{js} \quad (j = r, z) \quad (1.6)$$

где

$$\frac{2c}{P_0} \bar{u}_{js} = \int_0^\infty N_{js}(k, p) e^{-zk} dk \quad (z = d, s) \quad (1.7)$$

и

$$\begin{aligned} N_{rd} &= k^2 n_0 G f_1(kr), \quad N_{rs} = -2k^2 n_d n_s G f_1(kr) \\ N_{zd} &= k n_0 n_d G f_0(kr), \quad N_{zs} = -2k^3 n_d G f_0(kr) \end{aligned} \quad (1.8)$$

$$\begin{aligned} n_0 &= 2k^2 + p^2/c_s^2, \quad n_d^2 = k^2 + p^2/c_d^2, \quad n_s^2 = k^2 + p^2/c_s^2 \\ n_c &= k^2 + p^2/c^2, \quad L = n_c^2 - 4k^2 n_d n_s, \quad G = 1/n_c L. \end{aligned} \quad (1.9)$$

В формулах  $u_j$  представляет изображение Лапласа оригинала  $u_j$ ;  $p$ ,  $k$  — параметры преобразований Лапласа и Ганкеля. Ветви радикалов  $n_d$  и  $n_s$  фиксированы условиями  $\arg n_d = 0$ ,  $\arg n_s = 0$  при  $k > 0$ ,  $p > 0$ .

Преобразования Лапласа и Ганкеля приложенной нагрузки вычислялись по формулам [1].

$$\begin{aligned} \int_0^\infty \frac{P_0 H(ct - r) e^{-pt} dt}{\sqrt{(ct)^2 - r^2}} &= \frac{P_0}{c} K_0\left(\frac{rp}{c}\right) \\ \int_0^\infty \frac{P_0}{c} K_0\left(\frac{rp}{c}\right) f_0(kr) r dr &= \frac{P_0}{cn_c} \end{aligned} \quad (1.10)$$

где  $K_0$  — модифицированная функция Бесселя третьего рода.

## § 2. Переход к оригиналам

Подставим в формулы (1.7) вместо бесселевых функций  $J_0$  и  $J_1$  их интегральное представление Пуассона

$$J_0(kr) = \frac{1}{2\pi} \int_0^{2\pi} e^{-ikr \cos x} dx, \quad J_1(kr) = -\frac{1}{k} \frac{\partial}{\partial r} J_0(kr) \quad (2.1)$$

и введем обозначения  $p = k \cos x$ ,  $pq = k \sin x$ .

Для изображений радиального и вертикального компонентов скорости получаем

$$\bar{v}_j = \bar{v}_{jd} + \bar{v}_{js} \quad (j = r, z) \quad (2.2)$$

где

$$\frac{\pi c u}{P_0} \bar{v}_{jx} = \int_0^{\infty} \int_{-\infty}^{\infty} M_{jx}(\omega, q) \exp[-p(i\omega r + m_z)] d\omega dq \quad (j = d, s) \quad (2.3)$$

и

$$\begin{aligned} M_{rd}(\omega, q) &= i\omega m_d g, \quad M_{rs}(\omega, q) = -2i\omega m_d m_s g \\ M_{sd}(\omega, q) &= m_0 m_d g, \quad M_{ss}(\omega, q) = -2(\omega^2 + q^2) m_d g \end{aligned} \quad (2.4)$$

$$m_d = 2\omega^2 + 2q^2 + 1/c^2, \quad m_s^2 = \omega^2 + q^2 - 1/c_d^2, \quad m_r^2 = \omega^2 + q^2 + 1/c^2$$

$$m_0 = \omega^2 + q^2 - 1/c^2, \quad R = m_0^2 - 4(\omega^2 + q^2)m_d m_s, \quad g = 1/m_0 R \quad (2.5)$$

При обращении  $\bar{v}_r$  и  $\bar{v}_z$  имеются три случая в зависимости от значения отношений скорости распространения фронта нагрузки ударной волны к скоростям упругих объемных волн. Эти случаи таковы: сверхзвуковой ( $c > c_d$ ), трансзвуковой ( $c_s < c < c_d$ ) и дозвуковой ( $c < c_s$ ).

### Продольные волны

а) фронт нагрузки распространяется со сверхзвуковой скоростью.  
Из (2.3) имеем

$$\frac{\pi c u}{P_0} \bar{v}_{rd} = \int_0^{\infty} \int_{-\infty}^{\infty} M_{rd}(\omega, q) \exp[-p(i\omega r + m_d z)] d\omega dq \quad (2.6)$$

На комплексной плоскости  $\omega$  подинтегральная функция  $M_{rd}(\omega, q)$  имеет особенности: точки ветвления при  $\omega = \Omega_d$  и  $\omega = \Omega_s$  и простые полюсы при  $\omega = \Omega_c$  и  $\omega = \Omega_R$ , где

$$\begin{aligned} \Omega_d &= \pm i \sqrt{q^2 + 1/c_d^2}, \quad \Omega_s = \pm i \sqrt{q^2 - 1/c_s^2} \\ \Omega_c &= \pm i \sqrt{q^2 + 1/c^2}, \quad \Omega_R = \pm i \sqrt{q^2 + 1/c_R^2} \end{aligned} \quad (2.7)$$

Полюсы при  $\omega = \Omega_R$  соответствуют нулям функции Рэлея  $R(\omega^2 + q^2)$ , которая имеет простые нули при  $\omega^2 + q^2 = -\frac{1}{c_R^2}$ , где  $c_R < c_s$  — скорость поверхностных волн Рэлея.

Чтобы перенести  $\omega_{\text{пл}}$  в преобразование Лапласа известной функции, рассмотрим в плоскости  $\omega$  контур  $\omega = \omega(q)$ , который получается при разрешении соотношения

$$t = i\omega r + z \sqrt{\omega^2 + q^2 - 1/c_s^2}, \quad (2.8)$$

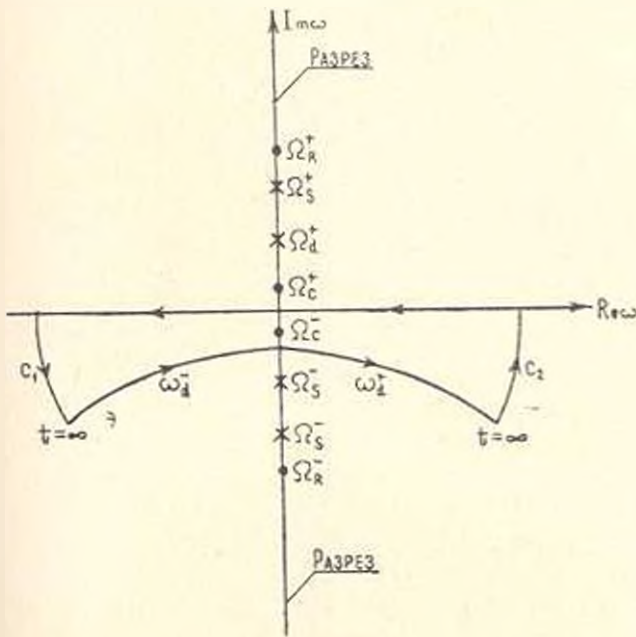
относительно  $\omega$ , то есть

$$\omega = \omega_q^+(q) = (-ir \pm z\sqrt{r^2 - t_{\text{пл}}^2})/z^2, \quad (2.9)$$

где

$$t_{\text{пл}} = \pm \sqrt{q^2 - 1/c_s^2}, \quad z = \sqrt{r^2 + z^2} \quad (2.10)$$

Уравнение (2.9) определяет в параметрической форме одну ветвь гиперболы с вершиной в точке  $\omega = -\frac{ir}{z} \pm \frac{\sqrt{q^2 - 1/c_s^2}}{z}$  и асимптотами  $\arg \omega = \pm \pi/2$ , когда параметр  $t$  изменяется от  $t_{\text{пл}}$  до бесконечности. Эта гипербола не пересекает разрезы в плоскости  $\omega$ , так как  $r > 1$ .



Фиг. 2.

Образуем замкнутый контур  $C = (\text{Im } \omega = 0) - C_1 - \omega_d^- + \omega_d^+ + C_2$ , где  $C_1$  и  $C_2$  — дуги окружности с центром в начале координат и с большим радиусом  $R_1$  (фиг. 2). В зависимости от того, выполняется или нет условие

$$-t_{cd}/c^2 < -1/\sqrt{q^2 + 1/c^2} \quad (2.11)$$

то есть лежит внутри или вне контура  $C$  полюс  $\omega = \Omega_c^-$ , все полу-пространство разделим на две области.

**Область I:**  $r/z > 1/\sqrt{1-l^2}$ ,  $z > 0$ . Полюс  $\omega = \Omega_c^-$  лежит внутри  $C$  для  $q \in [0, Q_{dc})$  и лежит вне  $C$  для  $q \in (Q_{dc}, \infty)$ , где  $Q_{dc} = -\frac{1}{c_d} \sqrt{(1-l^2) \frac{r^2}{z^2} - l^2} \cdot l = \frac{q_d}{c}$ . Уравнение  $r/z = l/\sqrt{1-l^2}$  определяет поверхность конуса, ось которого совпадает с положительной осью  $z$ .

**Область II:**  $r/z < 1/\sqrt{1-l^2}$ ,  $z > 0$ . Полюс  $\omega = \Omega_c^+$  лежит вне контура  $C$  для  $q \in [0, \infty)$ .

**Область I.** Рассмотрим  $v_{rd}$  для контура  $C$  и применим теорему вычетов Коши. В пределе, когда  $R_1 \rightarrow \infty$ , интегралы вдоль  $C_1$  и  $C_2$  по лемме Жордана стремятся к нулю, и мы имеем

$$\begin{aligned} \frac{\pi c p}{P_0} &= \int_0^{q_d} \int_{t_{cd}}^{\infty} F_1(\omega_d, q) e^{-pt} dt dq + \\ &+ \Gamma_1 \int_0^{Q_{dc}} \exp \left[ -p \left( r \sqrt{q^2 + 1/c^2} + z \sqrt{\frac{1}{c_d^2} - \frac{1}{c^2}} \right) \right] dq \quad (2.12) \end{aligned}$$

где

$$F_1(\omega, q) = -2 \operatorname{Re} M_{rd}(\omega, q) \frac{d\omega}{dt}, \quad \omega_d = \omega_d(q)$$

$$\Gamma_1 = \frac{\pi c_d^2 (\gamma^2 - 2l^2)}{(\gamma^2 - 2l^2)^2 + 4l^2 \sqrt{1-l^2} \sqrt{\gamma^2 - l^2}}, \quad \gamma = \frac{c_d}{c}, \quad (2.13)$$

Изменим порядок интегрирования в двухкратном интеграле (2.12) и сделаем замену  $t = r \sqrt{q^2 + 1/c^2} + z \sqrt{\frac{1}{c_d^2} - \frac{1}{c^2}}$  во втором интеграле.

Получим

$$\frac{\pi c p}{P_0} = \int_{t_{cd}}^{q_d} \int_{t_{cd}}^{\infty} F_1(\omega_d, q) e^{-pt} dq dt + \Gamma_1 \int_{t_{cd}}^{t_{dc}} \frac{[c(t-t_{dc}) + r] e^{-pt} dt}{r \sqrt{[c(t-t_{dc}) + r]^2 - r^2}} \quad (2.14)$$

где

$$t_d = p/c_d, \quad t_{dc} = \left( r + z \sqrt{\frac{c^2}{c_d^2} - 1} \right) / c$$

$$t_{dc} = z \sqrt{1-l^2} / c_d z, \quad q_d = 1/t^2 - t_d^2 / p \quad (2.15)$$

После обращения  $v_{rd}$  имеем

$$\frac{\pi c p}{P_0} v_{rd} = H(t - t_d) v. p. \int_0^{\sigma_d} F_1(\omega_d, q) dq + \\ + H(t - t_{dc}) H(t_{dc}^* - t) \frac{\Gamma_1[c(t - t_{dc}) - r]}{r} \frac{1}{[c(t - t_{dc}) - r]^2 - r^2} \quad (2.16)$$

Таким образом, при сверхзвуковом распространении ударной волны  $v_{rd}$  состоит из двух слагаемых, одно из которых представляет скорость в области внутри фронта полусферической волны при  $t = t_d$  с центром в точке начального положения нагрузки. Второе представляет скорость в области позади фронта конической волны при  $t = t_{dc}$ , следующей за фронтом распространяющейся по границе уларной волны. Уравнение  $t = t_d^*$  для фиксированного  $t$  определяет сферическую поверхность с центром  $r = 0$ ,  $z = c_d t / 2\sqrt{1 - l^2}$  и радиусом  $c_d t / 2\sqrt{1 - l^2}$ . Эта поверхность не является фронтом волны потому, что она не является ни характеристической и ни огибающей характеристиками поверхностей волнового уравнения (1.2) для  $z$ . Поэтому на этой поверхности решение не имеет разрыва непрерывности.

Интеграл в  $v_{rd}$  является несобственным для  $t = t_d^*$ , так как множитель  $\omega_d^2 + q^2 + 1/c^2$  в знаменателе подинтегральной функции равен нулю при  $q = q_d$ . Поскольку алгебраический член в  $v_{rd}$  имеет конечный разрыв непрерывности при  $t = t_{dc}^*$ , а  $v_{rd}$  непрерывна при  $t = t_d^*$ , то это означает, что первый член при  $t = t_d^*$  имеет конечный разрыв, равный разрыву алгебраического члена с противоположным знаком.

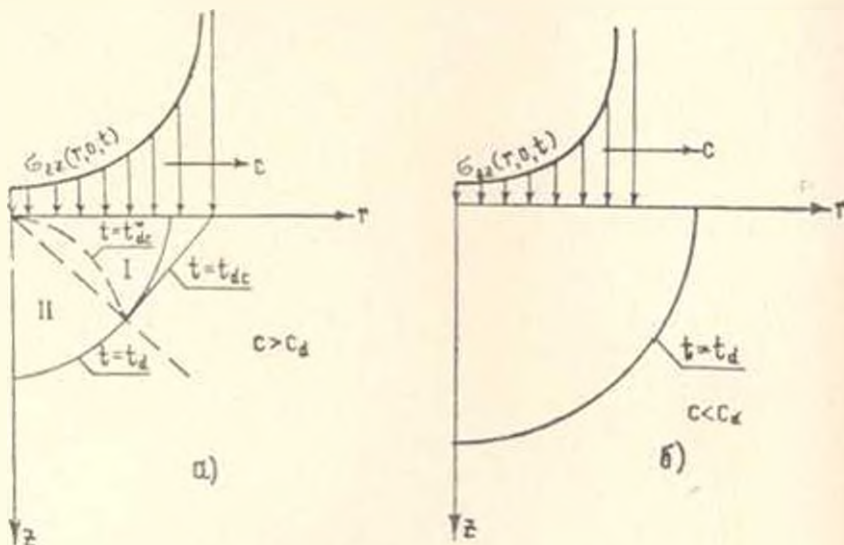
*Область II.* Для этой области полюс  $w = \Omega_r$  на плоскости  $w$  лежит вне контура  $C$ , поэтому вклад от вычета в полюсе  $w = \Omega_r$  в формуле (2.16) отсутствует.

Полученные результаты для областей I и II можно объединить в одну формулу

$$\frac{\pi c p}{P_0} v_{rd} = H(t - t_d) v. p. \int_0^{\sigma_d} F_1(\omega_d, q) dq - \\ - H\left(\frac{r}{z} - \frac{l}{\sqrt{1 - l^2}}\right) H(t - t_{dc}) H(t_{dc}^* - t) \frac{\Gamma_1[c(t - t_{dc}) + r]}{r} \frac{1}{[c(t - t_{dc}) + r]^2 - r^2} \quad (2.17)$$

которая справедлива для  $r > 0$ ,  $z > 0$ . На фиг. За показана волновая картина для  $v_{rd}$ , фронты волн  $t = t_d$  и  $t = t_{dc}$ , полусферическая поверхность  $t = t_d^*$  и области I и II;

б) фронт нагрузки распространяется с трансзвуковой или дозвуковой скоростями.



Фиг. 3

Для  $c < c_d$  (независимо от того, какое из условий  $c_s < c < c_d$  или  $c < c_s$ , имеет место) полюс  $\omega = \Omega$  на плоскости  $w$  всегда лежит вне контура  $C$  (фиг. 4). Следовательно, обращение  $v_{sd}$  для области  $r > 0, z > 0$  производится точно так же, как и для области II, поэтому результат имеет вид

$$\frac{\pi c \nu}{P_0} v_{sd} = H(t - t_d) \int_{-\infty}^{q_d} F_z(\omega_d, q) dq \quad (2.18)$$

Как видно из (2.18), для трансзвуковой и дозвуковой скоростей распространения фронта нагрузки конические волны в  $v_{sd}$  не появляются. Волновая картина для этих случаев показана на фиг. 3б.

Обращение  $\tilde{v}_{sd}$  находится точно так же, как и обращение  $v_{sd}$ . Не останавливаясь на подробностях обращения  $\tilde{v}_{sd}$ , приведем окончательные результаты.

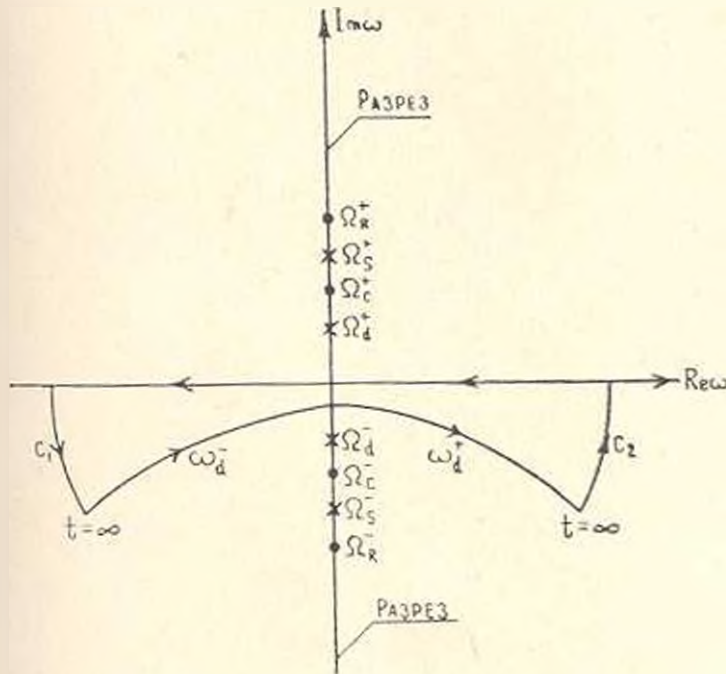
Имеем

$$\begin{aligned} \frac{\pi c \nu v_{sd}}{P_0} = & H(t - t_d) v. p. \int_{-\infty}^{q_d} F_z(\omega_d, q) dq + \\ & + H\left(\frac{r}{z} - \frac{l}{\sqrt{1-l^2}}\right) H(t - t_{de}) H(t'_{de} - t) \frac{\Gamma_2}{\sqrt{[c(t-t_{de})+r]^2 - r^2}} \end{aligned} \quad (2.19)$$

для сверхзвуковой скорости распространения фронта нагрузки, и

$$\frac{-c \omega_{rd}}{P_0} = H(t - t_d) \int_0^{q_d} F_z(\omega_d, q) dq \quad (2.20)$$

для трансзвуковой и дозвуковой скоростей распространения фронта нагрузки.



Фиг. 4.

В формуле (2.19) приняты обозначения:

$$F_z(\omega, q) = 2 \operatorname{Re} M_{zd}(\omega, q) \frac{d\omega}{dt}, \quad \Gamma_1 = \Gamma_1 \sqrt{1 - l^2} / l \quad (2.21)$$

### Поперечные волны

а) Фронт нагрузки распространяется со сверхзвуковой скоростью.  
Обращение выражения

$$\frac{-c \omega_{rd}}{P_0} = \int_0^{\infty} \int_{-\infty}^{\infty} M_{rz}(\omega, q) \exp[-p(i\omega r + m_s z)] d\omega dq \quad (2.22)$$

производится так же, как и для  $v_{rd}$ , однако процедура обращения и результат сложнее, чем в случае  $v_{rd}$ . На плоскости  $\omega$  уравнению

$$t = i\omega r - z \sqrt{\omega^2 + q^2 + 1/c^2} \quad (2.23)$$

соответствует ветвь гиперболы

$$\omega = \omega - (q) = (-i\omega r - z \sqrt{t^2 - t_{qs}^2})/c^2, \quad t > t_{qs} \quad (2.24)$$

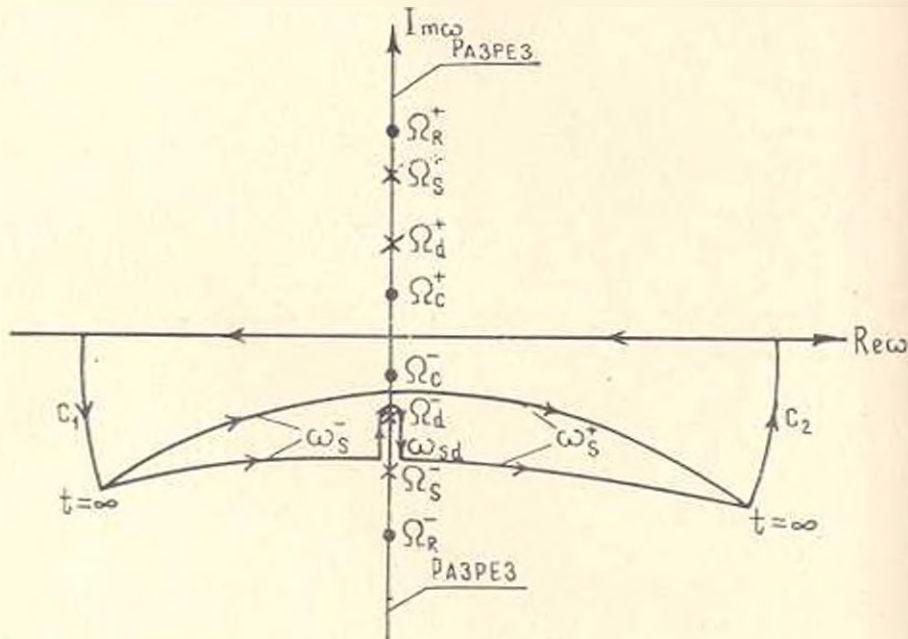
где

$$t_{qs} = p \sqrt{q^2 + 1/c^2} \quad (2.25)$$

Эта гипербола имеет вершину на плоскости  $\omega$  в точке  $\omega = -\frac{ir}{p} \sqrt{q^2 + 1/c^2}$  и асимптоты  $\arg \omega = \pm \pi/2$ . В зависимости от того, выполняется или нет условие

$$-\frac{t_{qs}}{p^2} > -1/q^2 + 1/c^2 \quad (2.26)$$

контура  $C$  имеет на плоскости  $\omega$  две возможные конфигурации, как это показано на фиг. 5. Таким образом, если  $r/z < 1/\sqrt{q^2 + 1}$  и  $q \in [0, \infty)$ ,



Фиг. 5.

имеем контур  $C = (\text{Im } \omega = 0) + C_1 + \omega_s^- + \omega_s^+ + C_2$ . Но если  $r/z > 1/\sqrt{q^2 + 1}$  и  $q \in [0, Q_d]$ , вершина гиперболы  $\omega$  лежит на разрезе между точками ветвления  $\omega = \Omega_d^-$ ,  $\omega = \Omega_s^-$ , и мы имеем контур  $C = (\text{Im } \omega = 0) + C_1 + \omega_s^- + \omega_{sd}^- + \omega_s^+ + C_2$ , где

$$\omega_{sd}^- = i(-rt + z \sqrt{t_{qs}^2 - t^2})/c^2$$

$$t_{qs,d} < t < t_{qs}, \quad t_{qs,d} = r \sqrt{q^2 + \frac{1}{c_d^2}} + z \sqrt{\frac{1}{c_d^2} - \frac{1}{c_s^2}} \quad (2.27)$$

Полюс  $\omega = \Omega_c$  может лежать как внутри, так и вне контура  $C$ . В зависимости от положений полюса  $\omega = \Omega_c$  и вершины гиперболы  $\omega$ , все полупространство разделим на три области, которым соответствуют разные случаи обращения  $v_{ss}$ .

Область I:  $r/z > 1/\sqrt{\gamma^2 - l^2}$ ,  $z > 0$ . Полюс  $\omega = \Omega_c^-$  лежит внутри  $C$  для  $q \in [0, Q_{sc}]$  и лежит вне  $C$  для  $q \in (Q_{sc}, \infty)$ , где  $Q_{sc} = \frac{1}{c_s} \sqrt{(\gamma^2 - l^2) \frac{r^2}{z^2} - l^2}$ . Вершина гиперболы  $\omega_c$  лежит на разрезе для  $q \in [0, Q_{sd}]$  и не лежит на разрезе для  $q \in (Q_{sd}, \infty)$ , где  $Q_{sd} = \frac{1}{c_d} \sqrt{(\gamma^2 - 1) \frac{r^2}{z^2} - 1}$ .

Область II:  $l/\sqrt{\gamma^2 - l^2} < r/z < 1/\sqrt{\gamma^2 - 1}$ ,  $z > 0$ . Полюс  $\omega = \Omega_c^-$  лежит внутри  $C$  для  $q \in [0, Q_{cl}]$  и лежит вне  $C$  для  $q \in (Q_{sc}, \infty)$ . Вершина не лежит на разрезе для  $q \in [0, \infty)$ .

Область III:  $r/z < l/\sqrt{\gamma^2 - l^2}$ ,  $z > 0$ . Полюс  $\omega = \Omega_c^-$  лежит вне  $C$  для  $q \in [0, \infty)$ . Вершина не лежит на разрезе для  $q \in [0, \infty)$ .

Область I. Выражение  $v_{ss}$  в виде интеграла по контуру  $C$  в плоскости  $\omega$  позволяет применить теорию вычетов Коши и привести это выражение к виду

$$\frac{-c_s \bar{v}_{ss}}{P_0} = \int_0^{t_{ca}} \int_{\Gamma_1} F_1(\omega_{ss}, q) e^{-\mu t} dt dq + \int_{t_{ca}}^{Q_{sc}} \int_{\Gamma_1} F_1(\omega_{ss}, q) e^{-\mu t} dt dq + \\ + \Gamma_3 \int_0^{Q_{sc}} \exp \left[ -p \left( r \sqrt{q^2 + 1/c_s^2} + z \sqrt{\frac{1}{c_s^2} - \frac{1}{c_d^2}} \right) \right] dq \quad (2.28)$$

где

$$F_1(\omega, q) = 2 \operatorname{Re} M_{rs}(\omega, q) \frac{de}{dt}, \quad \Gamma_3 = - \frac{2\Gamma_1 l}{1 - \frac{l^2}{\gamma^2 - l^2}} \quad (2.29)$$

В формуле (2.28) первое слагаемое представляет собой вклад контура  $\omega_s$ , где  $\omega_s = \omega_s(q)$ , второе — контура  $\omega_{sd}$  и, наконец, последнее — вклад вычета в полюсе  $\omega = \Omega_c^-$ . В двухкратных интегралах изменим порядок интегрирования, а в одинарном интеграле сделаем

замену  $t = r \sqrt{q^2 + \frac{1}{c_s^2}} - z \sqrt{\frac{1}{c_s^2} - \frac{1}{c_d^2}}$ , после чего обращение преобразования Лапласа дает

$$\frac{-c_s \bar{v}_{ss}}{P_0} = H(t - t_s) v. p. \int_0^{q_s} F_1(\omega_s, q) dq +$$

$$+ H(t - t_{sd}) H(t_{sd}^* - t) \int_{q_{sd}}^{q_{sd}} F_3(\omega_{sd}, q) dq + \\ + H(t - t_{sc}) H(t_{sc}^* - t) \frac{\Gamma_3}{V[c(t - t_{sc}) + r]^2 - r^2} \quad (2.30)$$

где

$$t_s = \rho/c_{sd}, \quad t_{sd} = (r + z \sqrt{\frac{c^2 - 1}{c^2 + 1}})/c_{sd}, \quad t_{sc} = \left( r + z \sqrt{\frac{c^2}{c_s^2} - 1} \right)/c$$

$$t_{sd}^* = \rho^2 \sqrt{\frac{c^2 - 1}{c^2 + 1}}/c_{sd} z, \quad t_{sc}^* = \rho^2 \sqrt{\frac{c^2}{c_s^2} - 1}/cz, \quad q_s = |t^2 - t_s^2|/\rho \quad (2.31)$$

$$q_{sd} = \frac{1}{c_{sd}} \sqrt{\left[ \frac{c_{sd}(t - t_{sd})}{\rho} + 1 \right]^2 - 1}, \quad q_{sd}^* = \begin{cases} 0 & \text{при } t < t_s \\ q_s & \text{при } t > t_s \end{cases}$$

*Область II.* С учетом того, что вершина гиперболы  $\omega_s$  не лежит на разрезе для  $q \in [0, \infty)$ , то есть при контурном интегрировании вклад контура  $\omega_{sd}$  отсутствует, получаем

$$\frac{\pi c \rho v_{ri}}{P_0} = H(t - t_s) v. p. \int_{q_s}^{q_s} F_2(\omega_s, q) dq + \\ + H(t - t_{sc}) H(t_{sc}^* - t) \frac{\Gamma_3}{V[c(t - t_{sc}) + r]^2 - r^2} \quad (2.32)$$

*Область III.* Так как и полюс  $\omega = \Omega_s$  и вершина гиперболы  $\omega_s$  лежат вне  $C$ , то при контурном интегрировании остается лишь вклад контура  $\omega_s$ , то есть первый член в (2.32).

Сравнивая полученные результаты для трех областей полупространства, легко заметить, что их можно представить следующим единым выражением:

$$\frac{\pi c \rho v_{ri}}{P_0} = H(t - t_s) v. p. \int_0^{q_{sd}} F_2(\omega_s, q) dq + \\ + H\left(\frac{r}{z} - \frac{1}{\sqrt{\frac{c^2 - 1}{c^2 + 1}}}\right) H(t - t_{sd}) H(t_{sd}^* - t) \int_{q_{sd}}^{q_{sd}} F_3(\omega_{sd}, q) dq + \\ + H\left(\frac{r}{z} - \frac{1}{\sqrt{\frac{c^2 - 1}{c^2 + 1}}}\right) H(t - t_{sc}) H(t_{sc}^* - t) \frac{\Gamma_3}{V[c(t - t_{sc}) + r]^2 - r^2} \quad (2.33)$$

Первый член в  $v_{ss}$  представляет собой скорость за фронтом поперечной полусферической волны при  $t = t_0$ . Второй член — скорость за фронтом так называемой головной волны или волны Шмидта. Фронтом этой волны является поверхность усеченного конуса  $t = t_0$  при  $r/z > 1/\sqrt{t^2 - l^2}$ , которая распространяется впереди  $t = t_0$ , и, таким образом, оказывает действие как впереди, так и позади фронта поперечной волны при  $t = t_0$  для  $r/z > 1/\sqrt{t^2 - l^2}$ . Для фиксированного момента времени  $t$  уравнение  $t = t_0$  определяет поверхность сферы с центром  $r = 0$ ,  $z = c_0 t \sqrt{t^2 - l^2}$  и радиусом  $c_0 t \sqrt{t^2 - l^2}$ . Поверхность  $t = t_0$  аналогична поверхности  $t = t_0$  и не является фронтом волны, так как она не является ни характеристической, ни огибающей характеристических поверхностей волнового уравнения (1.2) для  $\psi$ . При приближении к поверхности  $t = t_0$  решение является непрерывным, в чем легко убедиться, если заметим, что второй интеграл стремится к нулю при  $t = t_0$ .

Последний член в  $v_{ss}$  представляет собой коническую волну, следующую за фронтом нагрузки. Он является вкладом вычета подинтегральной функции в полюсе  $\omega = \Omega_c$ . Фронтом этой волны является поверхность усеченного конуса  $t = t_0$  при  $r/z > 1/\sqrt{t^2 - l^2}$  и она распространяется впереди  $t = t_0$ . Для фиксированного момента времени уравнение определяет поверхность сферы с центром  $r = 0$ ,

$$r = c_0 \sqrt{2} \left| \frac{\epsilon^2}{c^2} - 1 \right| \text{ и радиусом } c_0 t \sqrt{2} \left| \frac{\epsilon^2}{c^2} - 1 \right|. \text{ Поверхность } t = t_0$$

не является фронтом волны по той же причине, что и для  $t = t_0$ .

На фиг. 6а показана волновая картина (вместе с фронтами продольных волн), соответствующая  $v_{ss}$ .

б) Фронт нагрузки распространяется с трансзвуковой скоростью.

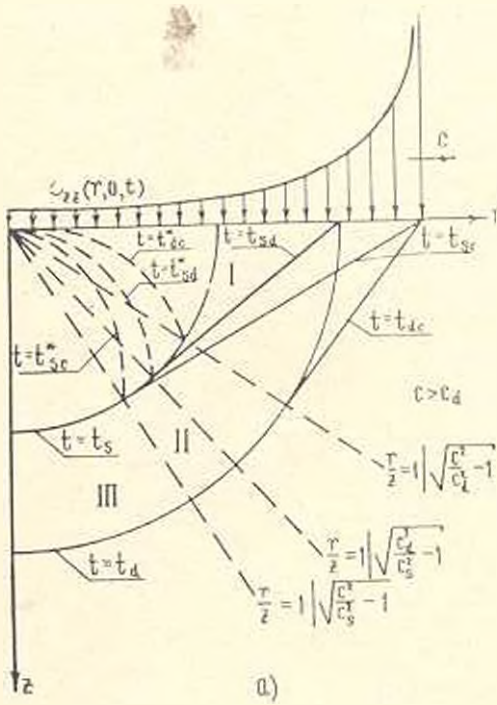
Расположение особенностей подинтегральной функции в плоскости  $\omega$  для  $c_s < c < c_d$  показано на фиг. 7. В зависимости от положения вершины гиперболы  $\omega_c$  и полюса  $\omega = \Omega_c$  имеем три случая обращения  $v_{ss}$ , каждый из которых соответствует некоторой области полупространства.

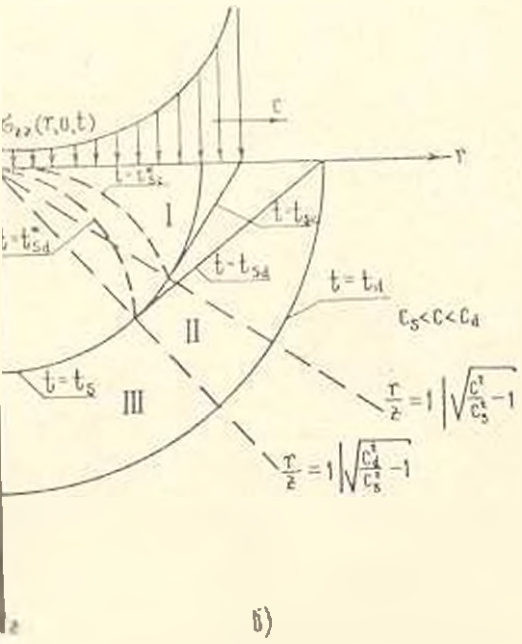
Область I:  $r/z > 1/\sqrt{t^2 - l^2}$ ,  $z > 0$ . Полюс  $\omega = \Omega_c$  лежит на контуре  $\gamma_{1d}$  для  $q \in [0, Q_{cd}]$  и не лежит для  $q \in (Q_{cd}, \infty)$ . Вершина гиперболы  $\omega_c$  лежит на разрезе для  $q \in [0, Q_{cd}]$  и не лежит для  $q \in (Q_{cd}, \infty)$ .

Область II:  $1/\sqrt{t^2 - l^2} < r/z < 1/\sqrt{t^2 - l^2}$ ,  $z > 0$ . Полюс  $\omega = \Omega_c$  не лежит на контуре  $\gamma_{1d}$  для  $q \in [0, \infty)$ . Вершина лежит на разрезе для  $q \in [0, Q_{cd}]$  и не лежит для  $q \in (Q_{cd}, \infty)$ .

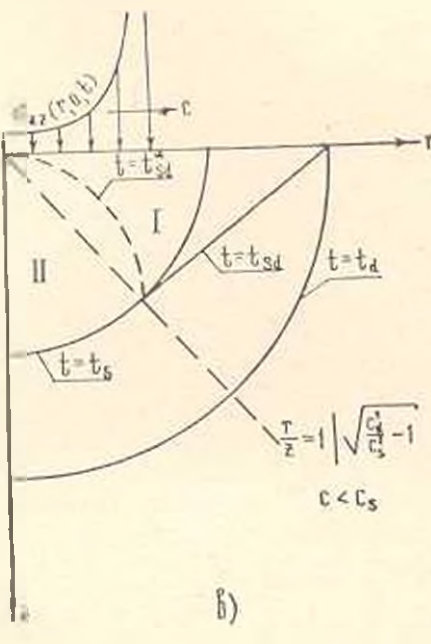
Область III:  $r/z < 1/\sqrt{t^2 - l^2}$ ,  $z > 0$ . Полюс не лежит на  $\gamma_{1d}$  для  $q \in [0, \infty)$ . Вершина не лежит на разрезе для  $q \in [0, \infty)$ .

В каждой из этих областей  $v_{ss}$  обращается для  $c_s < c < c_d$  так же, как и для  $c > c_d$ , за исключением того, что вклад вычета в полюсе  $\omega = \Omega_c$  вычисляется путем предельного перехода, когда радиусы



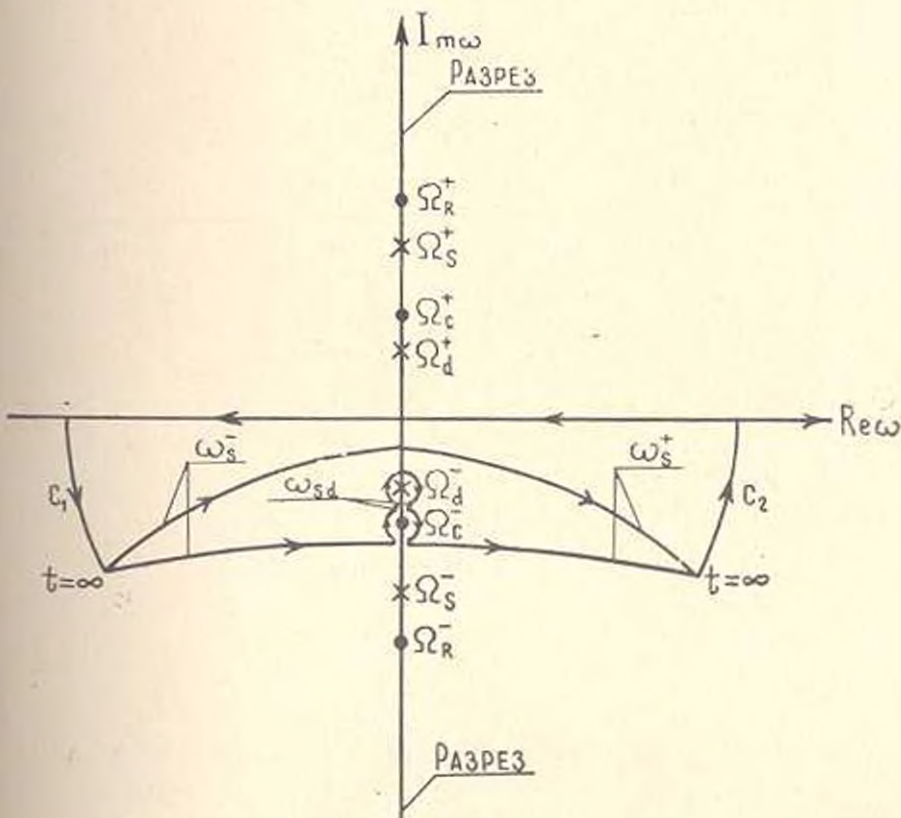


Фиг. 6.



двух достаточно маленьких полуокружностей с центром в точке  $\omega = \Omega_c^-$  стремятся к нулю. Обращая  $v_{ss}$  для каждой области и комбинируя полученные результаты в одну формулу, получаем

$$\begin{aligned} & \frac{\tau c \rho u_{ss}}{P_s} = H(t - t_s) v. p. \int\limits_{q_s}^{q_a} F_3(\omega_s, q) dq + \\ & + H\left(\frac{r}{z} - \frac{1}{V\gamma^2 - 1}\right) H(t - t_{sd}) H(t'_{sd} - t) v. p. \int\limits_{q_{sd}}^{q_{sd}^+} F_3(\omega_{sd}, q) dq + \\ & + H\left(\frac{r}{z} - \frac{l}{V\gamma^2 - l^2}\right) H(t - t_{sc}) H(t'_{sc} - t) \frac{\Gamma_3}{V[c(t - t_{sc}) + r]^2 - r^2} \quad (2.34) \end{aligned}$$



Фиг. 7.

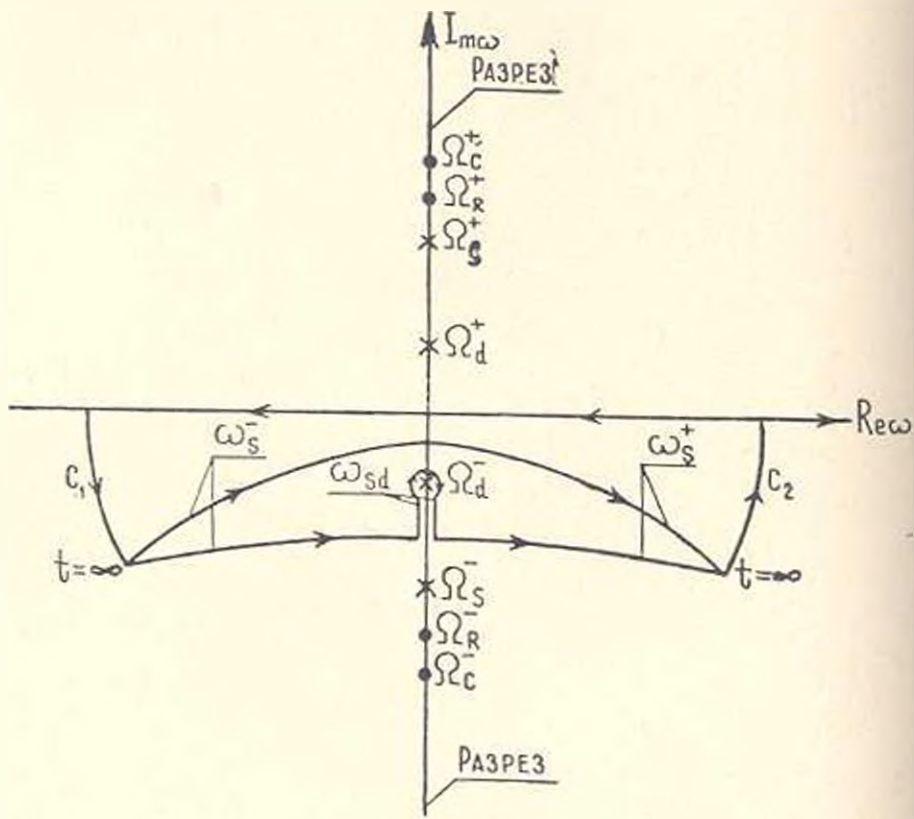
где

$$\Gamma_3 = - \frac{8\pi c_d^2 l^2 (l^2 - 1) (\gamma^2 - l^2)}{(\gamma^2 - 2l^2)^4 + 16l^4 (\gamma^2 - l^2)(l^2 - 1)} \quad (2.35)$$

Второй интеграл в  $\psi_{ss}$  вычисляется в смысле главного значения по Коши, потому что полюс  $\omega = \Omega_c$  находится между пределами интегрирования. Волновая картина, соответствующая этому случаю, показана на фиг. 6б.

в) Фронт нагрузки распространяется с дозвуковой скоростью.

Для  $c < c_s$  полюс  $\omega = \Omega_c$  в плоскости  $\omega$  всегда лежит вне контура  $C$  (фиг. 8). Следовательно, имеем два случая обращения  $\psi_{ss}$ , каждый из которых соответствует некоторой области полупространства.



Фиг. 8.

Область I:  $r/z > 1/\sqrt{1 - 1}, z > 0$ . Вершина гиперболы  $\omega_z$  лежит на разрезе для  $q \in [0, Q_{sd}]$  и лежит вне разреза для  $q \in (Q_{sd}, \infty)$ .

Область II:  $r/z < 1/\sqrt{1 - 1}, z > 0$ . Вершина гиперболы  $\omega_z$  не лежит на разрезе для  $q \in [0, \infty)$ .

Обращая  $\psi_{ss}$  в этих двух областях и комбинируя их в одну формулу, имеем

$$\frac{\psi_{ss}(t)}{P_0} = H(t - t_0) \int F_k(\psi_{ss}, q) dq +$$

$$- H\left(\frac{r}{z} - \frac{1}{V^2 - 1}\right) H(t - t_{sd}) H(t_{sd}^* - t) \int_{q_{sd}}^{q_{sd}} F_3(\omega_{sd}, q) dq \quad (2.36)$$

Как и следовало ожидать, волна, следующая за фронтом распространяющейся нагрузки, в случае  $c < c_s$  отсутствует.

Обращение выражения для  $\bar{\psi}_{ss}$

$$\frac{\pi c p v_{ss}}{P_0} = \int_m^{\infty} \int_{-\infty}^{\infty} M_{ss}(m, q) \exp[-p(i\omega r - m_z)] dq dm \quad (2.37)$$

производится точно так же, как и для  $\bar{\psi}_{sr}$ . Приводим окончательные результаты для сверхзвуковой, трансзвуковой и дозвуковой скоростей распространения фронта нагрузки соответственно

$$\begin{aligned} \frac{\pi c p v_{ss}}{P_0} = & H(t - t_s) v. p. \int_0^{q_s} F_4(\omega_s, q) dq + \\ & + H\left(\frac{r}{z} - \frac{1}{V^2 - 1}\right) H(t - t_{sd}) H(t_{sd}^* - t) \int_{q_{sd}}^{q_{sd}} F_4(\omega_{sd}, q) dq + \\ & - H\left(\frac{r}{z} - \frac{l}{V^2 - l^2}\right) H(t - t_{sr}) H(t_{sr}^* - t) \frac{\Gamma_s}{l [c(t - t_{sr}) + r] - r^2} \end{aligned} \quad (2.38)$$

$$\begin{aligned} \frac{\pi c p v_{ss}}{P_0} = & H(t - t_s) v. p. \int_0^{q_s} F_4(\omega_s, q) dq + \\ & - H\left(\frac{r}{z} - \frac{1}{V^2 - 1}\right) H(t - t_{sd}) H(t_{sd}^* - t) v. p. \int_{q_{sd}}^{q_{sd}} F_4(\omega_{sd}, q) dq + \\ & - H\left(\frac{r}{z} - \frac{l}{V^2 - l^2}\right) H(t - t_{sr}) H(t_{sr}^* - t) \frac{\Gamma_s}{l [c(t - t_{sr}) + r] - r^2} \end{aligned} \quad (2.39)$$

$$\begin{aligned} \frac{\pi c p v_{ss}}{P_0} = & H(t - t_s) \int_0^{q_s} F_4(\omega_s, q) dq + \\ & + H\left(\frac{r}{z} - \frac{1}{V^2 - 1}\right) H(t - t_{sd}) H(t_{sd}^* - t) \int_{q_{sd}}^{q_{sd}} F_4(\omega_{sd}, q) dq \end{aligned} \quad (2.40)$$

В этих формулах введены следующие обозначения:

$$F_4(\omega, q) = 2 \operatorname{Re} M_{zz}(\omega, q) \frac{d\omega}{dt}, \quad \Gamma_4 = -\frac{i\Gamma_3}{V^2 - l^2}, \quad \Gamma_6 = -\frac{i\Gamma_3}{V^2 - l^2} \quad (2.41)$$

Сумма  $v_{jd}$  и  $v_{js}$  ( $j = r, z$ ) определяет радиальную и вертикальную скорости. Имеем

$$\begin{aligned} \frac{vc(v_s)}{P_0} &= H(t - t_d) v. p. \int_0^{q_d} F_1(\omega_d, q) dq + H(t - t_s) v. p. \int_0^{q_s} F_2(\omega_s, q) dq + \\ &+ H\left(\frac{r}{z} - \frac{1}{V^2 - l^2}\right) H(t - t_{sd}) H(t_{sd}^* - t) v. p. \int_{q_{sd}}^{q_{sd}} F_3(\omega_{sd}, q) dq + \\ &+ H\left(\frac{r}{z} - \frac{l}{V^2 - l^2}\right) H(t - t_{se}) H(t_{se}^* - t) \frac{\Gamma_5[c(t - t_{se}) + r]}{r V [c(t - t_{se}) + r]^2 - r^2} + \\ &+ H\left(\frac{r}{z} - \frac{l}{V^2 - l^2}\right) H(t - t_e) H(t_e^* - t) \frac{\Gamma_6}{l [c(t - t_e) + r]^2 - r^2} \end{aligned} \quad (2.42)$$

$$\begin{aligned} \frac{vc(v_s)}{P_0} &= H(t - t_d) v. p. \int_0^{q_d} F_2(\omega_d, q) dq - H(t - t_s) v. p. \int_0^{q_s} F_1(\omega_s, q) dq - \\ &- H\left(\frac{r}{z} - \frac{1}{V^2 - l^2}\right) H(t - t_{sd}) H(t_{sd}^* - t) v. p. \int_{q_{sd}}^{q_{sd}} F_4(\omega_{sd}, q) dq + \\ &+ H\left(\frac{r}{z} - \frac{l}{V^2 - l^2}\right) H(t - t_{se}) H(t_{se}^* - t) \frac{\Gamma_5}{l [c(t - t_{se}) + r]^2 - r^2} + \\ &+ H\left(\frac{r}{z} - \frac{l}{V^2 - l^2}\right) H(t - t_e) H(t_e^* - t) \frac{\Gamma_6}{l [c(t - t_e) + r]^2 - r^2} \end{aligned} \quad (2.43)$$

$$\Gamma_{cd} = \begin{cases} \Gamma_1 & \text{при } c > c_d, \\ 0 & \text{при } c < c_d \end{cases}, \quad \Gamma_{cd-2} = \begin{cases} \Gamma_{i+2} & \text{при } c > c_d \\ \Gamma_{i+4} & \text{при } c_s < c < c_d \\ 0 & \text{при } c < c_s \end{cases} \quad (i=1, 2) \quad (2.44)$$

В этих формулах одинарные интегралы представляют волны, исходящие из начального положения нагрузки, а алгебраические члены—волны, следующие за фронтом распространяющейся нагрузки.

Полученное решение справедливо для внутренних точек полупространства, то есть для области  $r \geq 0, z > 0$ . Когда  $z \rightarrow 0$ , контуры  $\bar{\omega}_j$  и  $\bar{\omega}_k$  обходят полюс  $w = \Omega_R$  в плоскости  $w$ . Следовательно, при обращении  $\bar{v}_{jk}$  и  $\bar{v}_{kj}$  ( $j = r, z$ ) появляется вклад от вычета подинтегральной функции и полюсе  $w = \Omega_R$ , соответствующий поверхностной волне Рэлея.

Обращение формул (2.3) для  $z=0$  мы не приводим.

### § 3. Поведение решения в окрестностях фронтов волн

Когда  $t$  стремится к характерным временам  $t_d, t_s, t_{sd}$  и  $t_{ss}$ , компоненты скорости становятся неопределенными. Выясним характер этих неопределенностей, то есть поведение решения в окрестностях фронтов волн. Поведение решения явлений фронтов волн, исходящих из начального положения нагрузки, получим, если исключим время в пределах рассматриваемых интегралов с помощью замены

$$q = 1 - \sqrt{q_1^2 + (q_2^2 - q_1^2) \sin^2 \frac{\theta}{2}} \quad (3.1)$$

где  $q_1$  и  $q_2$  — нижний и верхний пределы рассматриваемого интеграла, а потом разложим в ряды подинтегральные выражения при  $t \rightarrow t_d$ ,  $t \rightarrow t_s$  и  $t \rightarrow t_{sd}$ .

Для волн, исходящих из начального положения нагрузки, имеют место разложения

$$\int [F_1(\omega_d, q) + F_2(\omega_d, q)] dq = -\frac{\pi c_0^2 \rho z (r+z) a_1}{2a_0(a_1^2 + 4r^2 z a_0)} + O(t-t_d)^{1/2} \quad (3.2)$$

когда  $t \rightarrow t_d$

$$\int [F_3(\omega_s, q) + F_4(\omega_s, q)] dq = \frac{\pi c_0^2 r \rho z (r+z) a_2}{a_3(\gamma a_1^2 + 4r^2 z a_2)} + O(t-t_s)^{1/2} \quad (3.3)$$

для  $\frac{r}{z} < \frac{1}{\sqrt{\gamma^2 - 1}}$ , когда  $t \rightarrow t_s$

$$\int [F_3(\omega_{sd}, q) + F_4(\omega_{sd}, q)] dq = \frac{8c_0^2 r^4 \sqrt{(\gamma^2 - 1)} (\sqrt{\gamma^2 - 1} + 1) (t - t_{sd})}{\sqrt{r} (\gamma^2 - 2)^2 (r^2 - 1) a_3^3} - \\ + O(t - t_{sd})^2 \quad \text{для } r/z > 1/\sqrt{\gamma^2 - 1}, \quad \text{когда } t \rightarrow t_{sd} \quad (3.4)$$

$$\int_{q_{sd}}^{q_{sd}} [F_3(\omega_{sd}, q) - F_4(\omega_{sd}, q)] dq = \frac{4c_d^2 r z^2 \gamma a_0 (\gamma a_4^2 - 4r^2 a_2) \ln \left| \frac{t}{t_s} - 1 \right|}{a_3 (\gamma^2 a_4^4 + 16r^4 z^2 a_2^2)} + \\ + O(1) \quad \text{для } r/z > 1/\sqrt{\gamma^2 - 1}, \text{ когда } t \rightarrow t_s \quad (3.5)$$

где

$$a_0 = l^2 p^2 - r^2, \quad a_1 = \gamma^2 p^2 - 2r^2, \quad a_2 = 1/\sqrt{\gamma^2 - r^2} \\ a_3 = l^2 p^2 - \gamma^2 r^2, \quad a_4 = p^2 - 2r^2, \quad a_5 = \sqrt{r/\sqrt{\gamma^2 - 1} - z} \quad (3.6)$$

Волны, следующие за фронтом распространяющейся нагрузки, в окрестностях фронтов  $t = t_{dc}$  и  $t = t_{sc}$  имеют разложения

$$\frac{\Gamma_{d1}[c(t - t_{dc}) + r] - r\Gamma_{d3}}{r [\gamma c(t - t_{dc}) + r]^2 - r^2} = \frac{\Gamma_{d2} + \Gamma_{d4}}{1 - 2cr} (t - t_{dc})^{-1/2} + O(t - t_{dc})^{1/2} \quad (3.7)$$

для  $r/z > 1/\sqrt{1 - l^2}$ , когда  $t \rightarrow t_{dc}$

$$\frac{\Gamma_{c2} + \Gamma_{c4}}{1 - [\gamma c(t - t_{sc}) + r]^2 - r^2} = \frac{\Gamma_{c2} + \Gamma_{c4}}{1 - 2cr} (t - t_{sc})^{-1/2} + O(t - t_{sc})^{1/2}$$

для  $r/z > 1/\sqrt{\gamma^2 - l^2}$ , когда  $t \rightarrow t_{sc}$

Полученные результаты справедливы для области  $r \geq 0$ ,  $z \geq 0$ , за исключением конических поверхностей  $|z - r|/\sqrt{1 - l^2} = 0$ ,  $|z - r|\sqrt{\gamma^2 - l^2} = 0$ ,  $z - r/\sqrt{\gamma^2 - 1} = 0$  — следов линий смыкания сферических и конических фронтов волн, так как при этом формулы теряют смысла. Поведение решения вблизи этих особых поверхностей может быть получено из общей теории [2].

Прифронтовые разложения показывают следующее.

1. Скорости  $v_j$  ( $j = r, z$ ) терпят конечный разрыв на фронтах полусферических продольных волн при  $t = t_d$  и поперечных волн при  $t = t_s$ , для  $r/z < 1/\sqrt{\gamma^2 - 1}$ . Скорости остаются непрерывными на фронте конической волны при  $t = t_{sd}$ . Вблизи фронта  $t = t_s$  для  $r/z > 1/\sqrt{\gamma^2 - 1}$  скорости имеют логарифмическую двухстороннюю симметричную особенность.

2. На конических фронтах, исходящих от фронта нагрузки, скорости имеют особенности половинного порядка  $(t - t_{dc})^{-1/2}$  и  $(t - t_{sc})^{-1/2}$  при  $t \rightarrow t_{dc}$  и  $t \rightarrow t_{sc}$ , то есть ту же особенность, что и внешняя нагрузка. Физически такие сильные разрывы и особенности в окрестностях фронтов волн нереальны, и, по-видимому, обусловлены тем, что фронт распространяющейся нагрузки сам несет особенность половинного порядка и начинает распространяться из точки. Заметим, что логарифмические особенности в окрестностях фронтов волн были найдены также в работах [3, 4].

3. По мере удаления от точки приложения нагрузки в глубину полу-  
пространства компоненты скорости убывают как  $r^{-\frac{1}{2}}$  на фронтах кониче-  
ских волн при  $t = t_0$  и  $t = t_\infty$ . Поэтому в областях  $|t|/z > l/\sqrt{1-F}$ ,  
 $z > 0$  и  $|t|/z > l/(1-F)$ ,  $z > 0$  существенные эффекты могут оказывать  
эти волны.

Ереванский политехнический институт  
им. К. Маркаса

Поступило 21 VI 1973

## Ա. Գ. ՍԱՀԱԿՅԱՆ

ՎԱԶՈՐ, ԽՈՒԱՑՔԱԼՈՒՐԻՑՏՐԻՎ ԿՈՐՈՎԱ, ԲԵՌԵՑ ԱԽԱՋԱՅՈՒ, ԱՀԻՔՆԵՐԻ  
ԱԴԱՀԳՎԱԿԱՆ ԿԵՎԱՏԱՐԱԾՈՒԹՅԱՆԻՒՄ

## Ա. Ճ Փ Ի Փ Ո Ւ Ճ

Դիտարկվում է համասեռ, իզոտրոպ կիսատարածությունում առաձգական ալիքների տարածման մասին առանցքասիմետրիկ խնդիրը, երբ ալիքներն առաջանում են մակերեսովի վրա գաղող նորմալ բեռից նորմալ բևս իրենից ներկայացնում է ձեշումը հարվածային ալիքի ձակատի հետևում, որը տարածվում է կիսատարածության մակերեսովի վրա՝ որին կետից, հաստատուն արագությամբ:

Խնդիրը լուծելու համար օգտագործվում են կուպրասի և Հանկելի ին-  
տեգրալ ձեռագույնությունները և կումպլեքս փոփոխականի ֆունկցիաների տե-  
սության մեթոդները:

Բացահայտված են ալիքի ձակատների մոտ լուծման եղակիությունները,  
Առացքել են առաձգական միջավայրում ալիքի ձակատների մոտ փոփոխող  
մեծությունների համար ասիմետրիկ զնահատականներ:

## WAVES IN AN ELASTIC SEMISPACE INDUCED BY A RUNNING AXISYMMETRIC NORMAL LOAD

S. G. SAHAKIAN

### Summary

The axisymmetric problem on propagation of elastic waves in a uniform isotropic semispace induced by a normal load running on its surface is considered. The normal load represents a pressure behind the front of the blast wave propagating at a steady velocity on the surface of the semispace from a certain point.

For solving the problem the Laplas and Hankel integral transformations are applied. The solution to the problem is built on images satisfying initial and boundary conditions. After the conversion of the

Hankel transformation the Laplas transformation cenversion is found by the methods of the theory of functions of a complex variable. An analysis of the formulas derived and their expansions on wave fronts are given.

#### Л И Т Е Р А Т У Р А

1. Erdelyi A. ed. Tables of Integral Transforms, vol. 2. McGraw-Hill, N. Y. 1954.
2. Бодров А. Г., Дакали З. Н. Исследование движения среды в окрестности точки касания ударных волн в линейной и нелинейной постановке. Ж. вычисл. матем. и мат. физики, т. 12, № 6, 1972.
3. Gakenheimer D. C., Miklowitz J. Transient Excitation of an Elastic Half Space by a Point Load Traveling on the Surface. Transaction of the ASME, E 36, № 3, 1969.
4. Gakenheimer D. C. Response of an Elastic Half Space to Expanding Surface Loads. Transactions of the ASME, E 37, № 1, 1970.

Д. В. ГРИГЮЦКИЙ, Б. Г. ШЕЛЕСТОВСКИЙ

## К ОСЕСИММЕТРИЧНОЙ ЗАДАЧЕ О ВДАВЛИВАНИИ НАГРЕТОГО ШТАМПА В ТРАНСВЕРСАЛЬНО ИЗОТРОПНОЕ ПОЛУПРОСТРАНСТВО

Контактные задачи теории упругости служат теоретической базой многих инженерных методов расчета на прочность и жесткость в строительной механике и машиностроении. Задача о вдавливании штампа в упругое полупространство или слой конечной толщины рассматривалась многими авторами. Сравнительно мало работ посвящено исследованию влияния температуры нагретого штампа на распределение контактных напряжений. Впервые осесимметричная задача о вдавливании горячего штампа в изотропное полупространство при условии, что граница полупространства вне штампа поддерживается при нулевой температуре, поставлена и решена в работах [1], [2]. В публикациях [3], [4] рассматривается аналогичная задача для упругого изотропного слоя. В работе [5] исследована задача о вдавливании системы нагретых штампов в полупространство. В статье авторов [6] изучено влияние теплоизоляции границы полупространства вне штампа на распределение напряжений под горячим штампом.

В данной работе исследуется осесимметричная контактная задача термоупругости для трансверсально изотропного полупространства при условии теплоотдачи на границе полупространства вне штампа. Изучается влияние температуры штампа и величины коэффициента теплоотдачи на распределение контактных напряжений.

1. Воспользуемся цилиндрической системой координат  $r$ ,  $\varphi$ ,  $z$ , ось  $\varphi$  которой направлена во внутрь полупространства. На поверхности упругой среды расположен штамп с заданной температурой основания, представляющим собой поверхность вращения. На штамп действует сила  $P$ , направленная вдоль оси симметрии штампа, под действием которой нагретый штамп вдавливается в полупространство. Предполагаем, что тепловой контакт штампа с полупространством идеальный, силы трения отсутствуют, поверхность полупространства вне штампа свободна от внешней нагрузки. Вне штампа на границе полупространства происходит теплообмен с окружающей средой по закону Ньютона.

Требуется определить нормальные контактные напряжения под штампом и величину радиуса площадки контакта.

Границные условия задачи при  $z=0$  имеют вид

$$\begin{aligned} w(r, 0) &= w_0(r), \quad 0 < r < a; & z_{zz}(r, 0) &= 0, & r > a \\ T(r, 0) &= T_0(r), & \frac{\partial T(r, 0)}{\partial z} &= k' T(r, 0), \quad k' = \frac{\alpha}{\lambda} \end{aligned} \quad (1.1)$$

$$v_{zz}(r, 0) = 0, \quad 0 < r < a;$$

где  $\alpha$  и  $\beta$  — соответственно коэффициенты теплообмена и теплопроводности упругого тела.

В работе [6] получена формула, связывающая нормальные перемещения границы трансверсально изотропного полупространства с нормальными напряжениями и температурой на границе

$$-\sigma_0 u(r, 0) = \int_0^{\infty} [\tilde{\sigma}(\xi) + k_0 T(\xi)] J_0(\xi r) d\xi \quad (1.2)$$

Здесь

$\tilde{\sigma}(\xi)$  и  $T(\xi)$  — трансформанты Ханкеля нулевого порядка нормального напряжения и температуры,  $J_0(x)$  — функция Бесселя первого рода;  $c_0$ ,  $k_0$  — параметры, зависящие от механических и теплофизических характеристик материала: для изотропного полупространства, например, они принимают значения

$$c_0 = \frac{1}{1 - \nu}, \quad k_0 = \frac{1 + \nu}{1 - \nu} \alpha \mu$$

где  $\nu$  — коэффициент Пуассона,  $\mu$  — постоянная Ляме,  $\alpha$  — коэффициент линейного температурного расширения.

Решение уравнения теплопроводности

$$\frac{\partial^2 T}{\partial r^2} + \frac{1}{r} \frac{\partial T}{\partial r} + L^2 \frac{\partial^2 T}{\partial z^2} = 0 \quad (1.3)$$

для трансверсально изотропного полупространства ищем в виде

$$T(r, z) = \int_0^{\infty} E(p) e^{-\frac{pr}{L}} J_0(pr) dp, \quad E(p) = p T(p) \quad (1.4)$$

где  $L^2$  — отношение коэффициента теплопроводности тела в направлении оси  $z$  к коэффициенту теплопроводности в плоскостях изотропии.

Удовлетворив температурной части граничных условий (1.1) рассматриваемой задачи, получим парные интегральные уравнения

$$\int_0^{\infty} E(z) J_0(z\rho) dz = \alpha T_0(\rho), \quad 0 < \rho < 1 \quad (1.5)$$

$$\int_0^{\infty} \frac{\sigma E(z)}{1 - g(z)} J_0(z\rho) dz = 0, \quad \rho > 1$$

Здесь

$$g(z) = \frac{k}{z - k}, \quad k = k' a L, \quad z = \frac{r}{a}, \quad \tilde{z} = \frac{z}{a}$$

Следуя работе [7], решение уравнений (1.5) ищем в виде

$$E(z) = [1 - g(z)] \int_0^z \varphi(t) \cos zt \, dt \quad (1.6)$$

где функция  $\varphi(t)$  в данном случае удовлетворяет следующему интегральному уравнению типа Фредгольма второго рода

$$\varphi(x) = -\frac{2}{\pi} k \int_0^1 \varphi(t) dt \int \frac{\cos 2x \cos 2t}{x+k} dz = aF(x), \quad 0 < x < 1 \quad (1.7)$$

$$F(x) = \frac{2}{\pi} \left| T_0(0) + x \int_0^{x/2} T_0(x \sin \theta) d\theta \right|$$

Используя соотношения (1.4) — (1.7) и следуя работе [6], формулу (1.2) представим в виде

$$\begin{aligned} \int_0^z \tilde{\varphi}(z) f_0(zp) dz = k_0 a \int_0^z \varphi(y) dy \int \frac{\cos zy f_0(zp)}{a+k} dz = \\ = -ac_0 w(ap) + k_0 a \ln \frac{1+k}{k} \int_0^1 \varphi(y) dy \end{aligned} \quad (1.8)$$

Удовлетворив силовой части граничных условий (1.1), приходим к первым интегральным уравнениям

$$\begin{aligned} \int_0^1 \tilde{\varphi}(p) f_0(pz) dp = -ac_0 w(ap) - k_0 a \int_0^1 \varphi(y) dy \int \frac{\cos zy f_0(zp)}{a+k} dz + \\ + k_0 a \ln \frac{1+k}{k} \int_0^1 \varphi(y) dy, \quad 0 < p < 1 \end{aligned} \quad (1.9)$$

$$\int_0^1 p \tilde{\varphi}(p) f_0(pz) dp = 0, \quad p > 1$$

Рассмотрим случай, когда функцию  $w(r)$  ( $0 < r < a$ ), входящую в правую часть первого соотношения (1.9), можно представить в виде следующего степенного ряда:

$$w(r) = \sum_{i=0}^{\infty} A_i r^i, \quad \text{где } A_i = \text{const}$$

Применяя к соотношению (1.9) формулу обращения парных интегральных уравнений и теорему обращения интегрального преобразования Ханкеля, найдем выражение для определения контактных напряжений под штампом

$$\begin{aligned} \sigma_{zz}(z, 0) = -\frac{c_0}{V\pi} \sum_{i=0}^{\infty} \frac{\Gamma\left(1 + \frac{i}{2}\right)}{\Gamma\left(\frac{3}{2} + \frac{i}{2}\right)} a^{i+1} A_i \int_0^{\infty} \left[ \cos \xi + \right. \\ \left. + \xi \int_0^1 x^{i+1} \sin \xi x dx \right] f_0(\xi z) d\xi + \omega(z) = \omega(z) \quad 0 \leq z < 1 \end{aligned} \quad (1.10)$$

где

$$\begin{aligned} \omega(z) = \frac{k_0 \pi}{a} \sum_{n=1}^{\infty} \frac{N_0(j_n) f_0(j_n z)}{J_1(j_n)} \int_0^1 \varphi(y) dy \left[ j_n \cos j_n B(y, j_n) - \right. \\ \left. - j_n \sin j_n A(y, j_n) + k^2 \sin j_n A(y, k) - k j_n \cos j_n B(y, k) \right] \frac{1}{k^2 - j_n^2} + \\ + \frac{\pi \cos j_n y}{|k - j_n|} \end{aligned} \quad (1.11)$$

$$\begin{aligned} A(y, k) = \sin(1+y) k \sin(1-y) k + \cos(1-y) k \operatorname{ci}(1-y) k + \\ + \sin(1-y) k \sin(1-y) k - \cos(1-y) k \operatorname{ci}(1-y) k \\ B(y, k) = \sin(1-y) k \operatorname{ci}(1-y) k - \cos(1-y) k \sin(1-y) k + \\ - \sin(1-y) k \operatorname{ci}(1-y) k - \cos(1-y) k \sin(1-y) k \end{aligned}$$

$$\omega(z) = \frac{k_0 \pi}{a \sqrt{1-z^2}} \int_0^1 \left[ 2 \ln \frac{1+k}{k} - A(y, k) \right] \varphi(y) dy \quad (1.12)$$

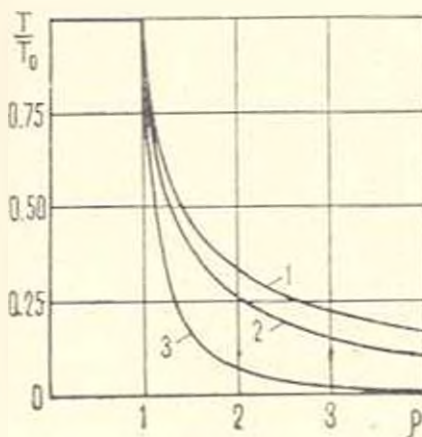
Здесь

$N_0(x)$  — функция Бесселя второго рода;  $\operatorname{si}(x)$  и  $\operatorname{ci}(x)$  — интегральный синус и косинус;  $f_0$  — положительные нули функции  $J_0(x)$ .

В формулы (1.11) и (1.12) входит функция  $\varphi(y)$ , определяемая из уравнения (1.7), решение которого находим методом последовательных приближений, который, как доказано при помощи принципа сжатых отображений, существует, если параметр  $k$  удовлетворяет неравенству  $0 < k < 1.35$ . При этом рассмотрим случай  $T_0(r) = T_0 = \text{const}$ . Для аналитических исследований и расчетов ограничимся вторым приближением, с учетом которого для определения функции  $\varphi(x)$  получаем соотношение

$$\begin{aligned}
 z(x) = a T_0 \left\{ \frac{2}{\pi} + \frac{2}{\pi^2} [\pi - B(x, k)] + \frac{4}{\pi^2} k^2 \right\} \left[ (k \sin z A(x, z) - \right. \right. \\
 \left. \left. - k \cos z B(x, z) - a \cos z B(x, k) - k \sin z A(x, k)) \frac{1}{z^2 - k^2} - \right. \right. \\
 \left. \left. - \frac{z \cos z x}{z + k} \right] \frac{\sin z}{z(z - k)} dz \quad (1.13)
 \right.
 \end{aligned}$$

Для значений  $k$ , не удовлетворяющих указанному неравенству, уравнение (1.17) решалось численным методом, то есть путем сведения к конечной системе алгебраических уравнений. Сначала брали систему «11» уравнений с  $\ll 11$  неизвестными. При этом получаем, в результате решения системы уравнений, значения функции  $q(x)$  в точках от 0 до 1 через 0.1. В следующем шаге брали систему «21» уравнения и получали значения  $q(x)$  от 0 до 1 через 0.05. Значения функции в точках, подсчитанные в первом шаге, совпадали троемя знаками со значениями функции, полученными при повторном разбиении отрезка. Функция  $q(x)$  протабулирована для значений  $k$  от 1 до 10 с интервалом в 1. При подстановке  $q(x)$  в формулу для температуры и ее определении, граничное условие при  $0 \leq x \leq 1$ ,  $z = 0$  выполнялось с точностью до 1%.



Фиг. 1.

На фиг. 1 показано распределение температуры на границе полупространства соответственно для  $k = 0, 1, 10$  (кривые 1, 2 и 3).

2. Рассмотрим примеры, иллюстрирующие влияние температуры и коэффициента теплоотдачи  $k$  на распределение контактных напряжений под штампом.

**Пример 1.** Цилиндрический круглой штамп с плоским основанием

$$w(r) = b_0, \quad 0 < r \leq a; \quad A_a = b_0, \quad A_r = 0, \quad n = 1 \quad (2.1)$$

Используя формулу (1.10), найдем

$$\tau_{zz}(r, 0) = -\frac{2c_0b_0}{\pi a^2} \left[ \frac{1}{1-r^2} + \psi(r) - \varphi(r) \right], \quad 0 \leq r < 1 \quad (2.2)$$

Из условия равновесия штампа определим зависимость между его вертикальным смещением, температурой и силой, вдавливающей штамп в полу-пространство

$$P = -2\pi a^2 \int_0^1 \rho \tau_{zz}(r, 0) dr = \delta + 4ac_0b_0 \quad (2.3)$$

где  $\delta$  зависит от величины параметра  $k$ . Подставляя  $b_0$  из (2.3) в соотношение (2.2), будем иметь

$$\tau_{zz}(r, 0) = \frac{\delta - P}{2\pi a^2 \left[ \frac{1}{1-r^2} + \psi(r) - \varphi(r) \right]}, \quad 0 \leq r < 1 \quad (2.4)$$

Отметим, что для значений  $k$ , равных 0, 1 и 10,  $\delta$  равно соответственно 1.03  $a^2 k_0 T_0$ ; 1.82  $a^2 k_0 T_0$  и 3.01  $a^2 k_0 T_0$ .

Формула (2.4) верна при условии, что под штампом не возникает рас-тягивающих напряжений, откуда следует условие ее применимости

$$P - \delta - k_0 \pi a^2 \int_0^1 \left[ 2 \ln \frac{1-r}{k} + A(y, k) \right] \varphi(y) dy > 0 \quad (2.5)$$

Пример 2. Штамп в виде параболоида вращения

$$w(r) = b_0 + b_1 \left( 1 - \frac{r^2}{a^2} \right), \quad 0 \leq r \leq a; \quad A_0 = b_0 + b_1,$$

$$A_1 = 0, \quad A_2 = -\frac{b_1}{a^2}, \quad A_n = 0, \quad n > 2$$

Нормальные контактные напряжения, согласно (1.10), определяются по формуле

$$\tau_{zz}(r, 0) = -\frac{2c_0}{\pi} \left[ \frac{b_0 - b_1}{a^2 \sqrt{1-r^2}} + \frac{4b_1}{a} \sqrt{1-r^2} \right] \psi(r) - \varphi(r) \quad (2.6)$$

$$0 \leq r < 1$$

Из условия ограниченности нормальных напряжений на краю площа-ди контакта получим

$$b_0 = \frac{b_1 c_0 + 3k_0 T_0 a}{c_0}, \quad P = \delta_0 + \frac{16}{3} ac_0 b_1, \quad (2.7)$$

Как и в предыдущем случае,  $\beta$  и  $\delta_0$  вычисляются для заданных значе-ний  $k$

$$\begin{aligned} b_0 &= 1.72 a^2 k_0 T_0, & \beta &= 0.175, & k &= 0 \\ b_0 &= 2.27 a^2 k_0 T_0, & \beta &= 0.113, & k &= 1 \\ b_0 &= 3.08 a^2 k_0 T_0, & \beta &= 0.062, & k &= 10 \end{aligned}$$

Если  $R = \frac{a^2}{2b_0}$ , где  $R$  — радиус кривизны параболоида в его вершине.

то радиус площадки контакта определяется из уравнения

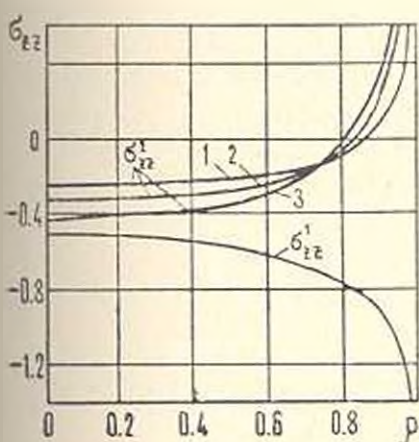
$$a^3 + \frac{3}{8} \frac{R}{c_0} b_0 = \frac{3PR}{8c_0}$$

Подставляя  $b_1$  из (2.7) в (2.6), будем иметь

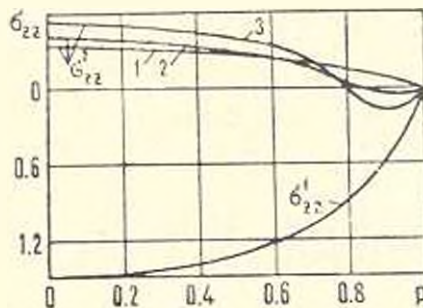
$$z_{zz}(r, 0) = \frac{3(b_0 - P)}{2\pi a^2} \sqrt{1 - r^2} - \psi(r), \quad 0 \leq r < 1 \quad (2.8)$$

Функция  $\psi(r)$  определяется соотношением (1.11), условием применимости формулы (2.8) служит неравенство

$$P > b_0$$



Фиг. 2.



Фиг. 3.

На фиг. 2 и 3 показано распределение контактных напряжений соответственно для штампа с плоским основанием и параболоидального штампа. При этом

$$\sigma_{zz}^1 = -\frac{\pi a^2 z_{zz}^1}{P} \text{ — силовая часть напряжений.}$$

$$\sigma_{zz}^2 = \frac{z_{zz}^T}{k_0 T_0} \text{ — температурная часть напряжений.}$$

Кривые 1, 2, 3 соответствуют значениям параметра  $k$ , равным 0, 1 и 10. Суммарное напряжение получим, наложив напряжения

$$\frac{P}{\pi \sigma^2} \geq \eta \quad \text{and} \quad k_0 T_0 \geq \eta$$

Как видно из приведенных графиков, наибольшая величина температурной части напряжений будет в том случае, если поверхность полупространства вне штампа поддерживается при нулевой температуре, наименьшая — при теплоизолированной границе.

Львовский государственный  
финансо-технический институт  
АН УССР

Поступило 7.11.1973

Դ. Ա. ՄԻԼԵՏԻԿԻ, Բ. Վ. ՇԱԿԻՆԻ ՊՐՈՊՐԵՐ

ՏՐԱՆՍՊԵՐՄԱԸ ԽԶՈՏՔԻՑ ԿԻՄԱՏԱՐԱԾՈՒԹՅԱՆ ՄԵջ ՏԱՐԱՑՎԱԾ ԴՐՈՇՄԻ  
ՆԵՐՄՃԱՆ ՄԱՍԻՆ ԱՐԱՆՁՔԱՎՈՐՄԵՏՐԻԿ ԽԴՐԻ ՎԵՐԱԲԵՐՅԱԼ

У. М. Ф. О. Ф. П. А. М.

Աւտոմատիկվել է տրանսվերսալ իզոտրոպ կիսատարածության մեջ տաքացված դրոշմի ներմղման մասին չերմառաձգականության առանցքասիմետրիկ կոնտակտային խնդիրը այն պայմանով, որ դրոշմից դուրս գտնվող կիսատարածության մակերևույթի վրայից ջնրմափոխանակությունը շրջապատող միջավայրի հետ իրադրությունը և նյուտոնի օրենքով։ Զերմանությունը և նորմայ կոնտակտային լարումը արտահայտվել են ներկայումի երկրորդ սեռի ինտեգրալ հավասարմանը բավարարող ֆունկցիայի միջնորդությամբ։ Այդ հավասարման թվային լուծումը կառուցվել է՝ հաջորդական մոտավորությունների նղանակով։ Դիտարկվել են օրինակներ։

# ON AXISYMMETRIC PROBLEM ON A HEATED PUNCH PRESSED INTO TRANSVERSALLY ISOTROPIC SEMISPACE

D. V. GRILITSKY, B. G. SHELESTOVSKY

## S u m m a r y

The axisymmetric contact thermoelastic problem on a heated punch pressed into transversally isotropic semispace is considered under condition that beyond the punch the heat exchange with environment takes place according to Newton's law. The temperature and normal contact stresses are expressed through the function satisfying the integral equation of the Fredholm type of the second kind whose solution is constructed by the method of consecutive approximations as well as numerically. Some examples are presented.

## ЛИТЕРАТУРА

1. Бородачев Н. М. О решении контактной задачи термоупругости в случае осевой симметрии. Изв. АН СССР, ОТН, Механика и машиностроение, № 5, 1962.
2. George D. L., Sneddon I. N. The axisymmetric Boussinesq problem for a heated punch. J. Math. and Mech., vol. 11, № 5, 1962.
3. Петришин В. И., Шевляков Ю. А. Вдавливание нагретого штампа в упругий слой конечной толщины в случае осевой симметрии. Прикл. механ., т. 4, в. 3, 1968.
4. Koer L. M., Fu W. S. Some stress distributions in an elastic plate due to rigid heated punches. Internat. J. Engng. Sci., vol. 5, No. 7, 1967.
5. Андрейкин А. Е. О решении некоторых задач термоупругости путем использования гармонических функций. Прикл. механика, т. 7, в. 9, 1971.
6. Грилицкий Д. В., Шелестовский Б. Г. Осьсимметричная контактная задача термоупругости для трансверсально изотропного полупространства. Прикл. механ., т. 6, в. 8, 1970.
7. Уфлянд Я. С. Интегральные преобразования в задачах теории упругости. Изд-во „Наука“, Л., 1967.

Г. Б. ВЕРМИШЯН

## КРУЧЕНИЕ ВЯЗКО-УПРУГОГО СОСТАВНОГО ПРИЗМАТИЧЕСКОГО СТЕРЖНЯ ПОД ДЕЙСТВИЕМ ВИБРАЦИОННОЙ НАГРУЗКИ

Исследовано кручение составного призматического вязко-упругого стержня некругового сечения при действии вибрационной нагрузки.

Прилагаемая нагрузка меняется по гармоническому закону, причем ее амплитуда постоянна. Для установления связи между деформациями сдвига и касательными напряжениями, возникающими в стержне, необходимо знать составляющие комплексного модуля для отдельных материалов.

Как показано в работе [1], составляющие комплексного модуля существенно зависят от частоты колебаний и температуры. При этом за счет диссипативных сил происходит выделение тепла. Поэтому для определения температуры в каждом участке стержня получаются нелинейные дифференциальные уравнения параболического типа, содержащие некоторые функции, которые находятся экспериментальным путем.

В предельном стационарном случае температура не будет зависеть от времени, и вопрос сводится к решению дифференциальных уравнений эллиптического типа.

Задача решена для стержня, составленного из двух различных вязкоупругих материалов.

Принято, что на боковой поверхности стержня температура неизменна и равна температуре окружающей среды, а на линии раздела различных материалов одной и другой областей температура и тепловой поток равны. Кроме того, предполагается, что температура вдоль оси стержня не изменяется.

1. Рассмотрим кручение призматического стержня, составленного из двух различных вязко-упругих материалов, на одном основании которого действуют усилия, меняющиеся по гармоническому закону, статически эквивалентные некоторому крутящему моменту.

Пусть компоненты деформации в поперечном сечении стержня в каждой области изменяются следующим образом:

$$\begin{aligned}\gamma_{xy}^{(j)} &= x^0 (\partial \varphi / \partial x - y) \cos \omega t \\ \gamma_{yz}^{(j)} &= x^0 (\partial \varphi / \partial y + x) \cos \omega t \quad \text{на } S_j \quad (j = 1, 2)\end{aligned}\tag{1.1}$$

В этом случае соответствующие компоненты напряжения будут

$$\begin{aligned}\tau_{xz}^{(j)} &= \tau_{xz}^{(j)} \cos (\omega t - \tau_j^{(0)}) \\ \tau_{yz}^{(j)} &= \tau_{yz}^{(j)} \cos (\omega t - \tau_j^{(0)}) \quad \text{на } S_j \quad (j = 1, 2)\end{aligned}\tag{1.2}$$

Здесь  $x^0$ —постоянная, равная углу закручивания,  $\varphi_j(x, y)$ —некоторые функции, подлежащие определению,  $\gamma_{xy}^{(j)}$ —сдвиг фаз между деформацией и напряжением,  $S_j$ —области поперечного нормального сечения стержня, соответствующие различным материалам. Остальные компоненты деформации и напряжения отсутствуют.

Связь между компонентами напряжения и деформации возьмем в виде

$$\begin{aligned}\gamma_{xz}^{(j)} &= \int_0^T K_j(T, t-z) \gamma_{xz}^{(j)}(z) dz, \quad \gamma_{yz}^{(j)} = \int_0^T K_j(T, t-z) \gamma_{yz}^{(j)}(z) dz \quad (1.3) \\ &\quad (j = 1, 2)\end{aligned}$$

Подставляя значения  $\gamma_{xz}^{(j)}, \gamma_{yz}^{(j)}$  из (1.1) в (1.3) и вводя переменную  $\zeta = t - z$ , получим

$$\begin{aligned}\gamma_{xz}^{(j)} &= x^0 \left( \frac{\partial \varphi_j}{\partial x} - y \right) \left\{ \left[ \operatorname{Re} \int_0^T K_j(T, \zeta) e^{i\omega \zeta} d\zeta \right] \cos \omega t + \right. \\ &\quad \left. + \left[ \operatorname{Im} \int_0^T K_j(T, \zeta) e^{i\omega \zeta} d\zeta \right] \sin \omega t \right\} \\ \gamma_{yz}^{(j)} &= x^0 \left( \frac{\partial \varphi_j}{\partial y} + x \right) \left\{ \left[ \operatorname{Re} \int_0^T K_j(T, \zeta) e^{i\omega \zeta} d\zeta \right] \cos \omega t + \right. \\ &\quad \left. + \left[ \operatorname{Im} \int_0^T K_j(T, \zeta) e^{i\omega \zeta} d\zeta \right] \sin \omega t \right\} \quad (1.4)\end{aligned}$$

Введем комплексный модуль [1]

$$\begin{aligned}E_j(T, \omega) &= \int_0^T K_j(T, \zeta) e^{i\omega \zeta} d\zeta = E_j(T, \omega) + iE_i(T, \omega) = \\ &= E_j(T, \omega) \cos \varphi_j^{(j)} + iE_i(T, \omega) \sin \varphi_j^{(j)} \quad (j = 1, 2) \quad (1.5)\end{aligned}$$

Из (1.4) и (1.5) получаем

$$\begin{aligned}\gamma_{xz}^{(j)} &= x^0 (\partial \varphi_j / \partial x - y) [E_j(T, \omega) \cos \omega t + E_i(T, \omega) \sin \omega t] \\ \gamma_{yz}^{(j)} &= x^0 (\partial \varphi_j / \partial y + x) [E_j(T, \omega) \cos \omega t + E_i(T, \omega) \sin \omega t] \quad (1.6)\end{aligned}$$

Можно установить связь между амплитудами напряжения и деформации

$$\begin{aligned}\gamma_{xz}^{(j)} &= x^0 (\partial \varphi_j / \partial x - y) E_j(T, \omega) \\ \gamma_{yz}^{(j)} &= x^0 (\partial \varphi_j / \partial y + x) E_j(T, \omega) \quad (1.7)\end{aligned}$$

В случае относительно небольшого температурного интервала для  $E_1(T, \omega)$  и  $E_2(T, \omega)$  можно воспользоваться линейной аппроксимацией. При этом  $E_j(T, \omega)$  можно считать постоянным

$$E_j(T, \omega) = A_j, \quad E_j(T, \omega) = B_j + C_j T \quad (j=1, 2) \quad (1.8)$$

Кроме того, так как обычно  $E_1(T, \omega) \ll E_2(T, \omega)$ , то величиной  $E_1(T, \omega)$  по сравнению с  $E_2(T, \omega)$  можно пренебречь. Из уравнений равновесия и совместности получаем, что искомые функции  $\varphi_j(x, y)$  удовлетворяют уравнению Лапласа в каждой области  $S_j$

$$\Delta\varphi_j(x, y) = 0 \quad \text{на } S_j \quad (j=1, 2) \quad (1.9)$$

при граничных условиях

$$\tilde{\varphi}_1 = \varphi_1 \quad \text{на } l_1$$

$$d\varphi_2/dn = y \cos(n, x) - x \cos(n, y) \quad \text{на } l_2 \quad (1.10)$$

$$E_2 d\varphi_2/dn - E_1 d\varphi_1/dn = (E_2 - E_1) [y \cos(n, x) - x \cos(n, y)] \quad \text{на } l_1$$

где  $l_1$  — граница области  $S_1$ ,  $l_2$  — граница области  $S_2$ . Введем сопряженные гармонические функции  $\Psi_j(x, y)$ . Находим, что на границах области  $S_j$  функции  $\Psi_j(x, y)$  удовлетворяют следующему граничному условию:

$$d\Psi_j/dn = d\Psi_{j+1}/dn \quad \text{на } l_j$$

$$\Psi_j(x, y) = 1/2(x^2 + y^2) \quad \text{на } l_j \quad (1.11)$$

$$E_j \Psi_j(x, y) - E_{j+1} \Psi_{j+1}(x, y) = 1/2(E_j - E_{j+1})(x^2 - y^2) \quad \text{на } l_j$$

Введем аналитические функции комплексного переменного в области  $S_j$ ,

$$F_j(z) = \varphi_j(x, y) + i\Psi_j(x, y) \quad (j=1, 2) \quad (1.12)$$

Пусть

$$z = x + iy = \omega_j(\zeta) \quad (1.13)$$

соотношение, отображающее плоскость  $z = x + iy$  на плоскость  $\zeta = \xi + iy$ , так, чтобы контуры  $l_1$  и  $l_2$  соответствовали концентрические окружности  $\zeta = \xi$  на плоскости  $\zeta = \xi + iy$ , радиусов  $r = R$  и  $r = 1$  ( $R < 1$ ). Области  $S_j$  будет соответствовать круг  $|\zeta| < R$ , а области  $S_2$  — круговое кольцо  $R < |\zeta| < 1$ .

Из (1.12) и (1.13) получаем

$$\varphi_j + i\Psi_j = F_j(z) = F_j[\omega_j(\zeta)] = f_j(\zeta) \quad (j=1, 2) \quad (1.14)$$

соответственно в круге  $|\zeta| < R$  и в кольце  $R < |\zeta| < 1$ . Граничные условия (1.11) преобразуются следующим образом:

$$\partial \Psi_1 / \partial p = \partial \Psi_2 / \partial p \text{ на } \gamma_1$$

$$\Psi_2 = 1/2\omega_1(z_2) \overline{\omega_1(z_2)} + \text{const} \text{ на } \gamma_2 \quad (1.15)$$

$$E_2 \Psi_2 - E_1 \Psi_1 = 1/2(E_2 - E_1) \omega_1(z_2) \overline{\omega_1(z_2)} + \text{const} \text{ на } \gamma_2$$

где через  $z_1$  и  $z_2$  обозначены точки на окружностях  $\gamma_1$  и  $\gamma_2$ .

Возьмем

$$f_1(\zeta) = \sum_{k=-\infty}^{\infty} (a_k + i b_k) \zeta^k \text{ в круге } |\zeta| < R \quad (1.16)$$

$$f_2(\zeta) = \sum_{k=-\infty}^{\infty} (a_k - i b_k) \zeta^k \text{ в кольце } R < |\zeta| < 1$$

Функции  $\omega_1(\zeta)$  представляем в виде степенного ряда

$$\omega_1(\zeta) = \sum_{k=1}^{\infty} a_k^{(0)} \zeta^k \quad (1.17)$$

где  $a_k^{(0)}$  — действительные постоянные.

Используя граничные условия (1.15), после элементарных вычислений получаем

$$f_1(\zeta) = i \sum_{k=1}^{\infty} b_k \zeta^k, \quad f_2(\zeta) = i \sum_{k=1}^{\infty} (b_k \zeta^k + b_{-k} \zeta^{-k}) \quad (1.18)$$

где

$$b_k = \frac{(1 - i_0) R^k q_k(1) - i_0 q_k(R)(1 - R^{2k})}{2R^k(1 - i_0 R^{2k})}, \quad b_{-k} = \frac{q_k(1) - i_0 R^k q_k(R)}{2(1 - i_0 R^{2k})} \quad (1.19)$$

$$b_{-k} = -\frac{i_0 R^k [R^k q_k(1) - q_k(R)]}{2(1 - i_0 R^{2k})}, \quad i_0 = \frac{E_2 - E_1}{E_2 + E_1}$$

где  $q_k(p)$  — коэффициенты разложения

$$\omega_1(z) \overline{\omega_1(z)} = \sum_{k=0}^{\infty} q_k(z) \cos k\theta, \quad z = p e^{i\theta} \quad (1.20)$$

Вычислим момент, действующий на основание стержня

$$M = \sum_{l=1}^2 \int_{S_l} \int (x \tilde{\varphi}_l - y \tilde{\psi}_l) dx dy = \sum_{l=1}^2 \int_{S_l} \int (x \tilde{\varphi}_l - y \tilde{\psi}_l) \cos(\omega_l - \tilde{\varphi}_l^{(0)}) dx dy =$$

$$= p^2 \left| \sum_{l=1}^2 \int_{S_l} \left| x \left( \frac{\partial \tilde{\varphi}_l}{\partial y} + x \right) - y \left( \frac{\partial \tilde{\psi}_l}{\partial x} - y \right) \right| E_l(T_l) \cos \tilde{\varphi}_l^{(0)} dx dy \right| \cos \omega_l =$$

$$+ x^0 \left\{ \sum_{j=1}^2 \int \int \left| x \left( \frac{\partial \varphi_j}{\partial y} + x \right) - y \left( \frac{\partial \varphi_j}{\partial x} - y \right) \right| E_j(T, \omega) \sin \varphi_j^{(0)} dx dy \right\} \sin \omega t = \\ = M_0 \cos(\omega t - \varphi_0^{(0)}) \quad (1.21)$$

Здесь  $M_0$  — амплитуда момента  $M$ , а  $\varphi_0^{(0)}$  — соответствующий сдвиг фаз. На основании этого получаем

$$M_0 = x^0 \left\{ \left| \sum_{j=1}^2 \int \int \left( x^2 + y^2 + x \frac{\partial \varphi_j}{\partial y} - y \frac{\partial \varphi_j}{\partial x} \right) E_j(T, \omega) \cos \varphi_j^{(0)} dx dy \right|^2 + \right. \\ \left. + \left| \sum_{j=1}^2 \int \int \left( x^2 + y^2 + x \frac{\partial \varphi_j}{\partial y} - y \frac{\partial \varphi_j}{\partial x} \right) E_j(T, \omega) \sin \varphi_j^{(0)} dx dy \right|^2 \right\}^{1/2} \quad (1.22)$$

Принимая во внимание (1.5) и (1.22), получим

$$x^0 = M_0 / Q \quad (1.23)$$

где

$$Q = \left[ \sum_{j=1}^2 \int \int \left( x^2 + y^2 + x \frac{\partial \varphi_j}{\partial y} - y \frac{\partial \varphi_j}{\partial x} \right) E_j(T, \omega) dx dy \right]^2 + \\ + \left[ \sum_{j=1}^2 \int \int \left( x^2 + y^2 + x \frac{\partial \varphi_j}{\partial y} - y \frac{\partial \varphi_j}{\partial x} \right) E_j(T, \omega) dx dy \right]^2 \quad (1.24)$$

откуда, переходя на плоскость  $\zeta = \hat{z} + i\eta$ , получаем [2]

$$Q = \left\{ \sum_{j=1}^2 \int \int \left[ |\omega_1(\zeta)|^2 - \operatorname{Im} \left( \omega_1(\zeta) \frac{f_j(\zeta)}{\omega_1'(\zeta)} \right) \right] E_j(T, \omega) |\omega_1'(\zeta)|^2 d\hat{z} d\eta \right\}^2 + \\ + \left\{ \sum_{j=1}^2 \int \int \left[ |\omega_1(\zeta)|^2 - \operatorname{Im} \left( \omega_1(\zeta) \frac{f_j(\zeta)}{\omega_1'(\zeta)} \right) \right] E_j(T, \omega) |\omega_1'(\zeta)|^2 d\zeta d\eta \right\}^2 \quad (1.25)$$

где через  $\omega_1$  обозначена область, представляющая круг  $|\zeta| < R$ , а через  $\omega_2$  — кольцо  $R < |\zeta| < 1$ .

$\omega_1(\zeta)$  — отображающая функция, а  $f_j(\zeta)$  дается по формуле (1.18). Работа, совершаемая при вязко-упругой деформации, будет равна

$$W_{jl} = \int_{-\sigma_j^0}^{\sigma_j^*} \gamma_j^* d\sigma_j^* \text{ на } S_j \quad (j = 1, 2) \quad (1.26)$$

$$\gamma_j^* = \sqrt{\gamma_{xz}^{(j)} + \gamma_{yz}^{(j)}}^2, \quad z_j^* = \sqrt{|\gamma_{xz}^{(j)}|^2 + |\gamma_{yz}^{(j)}|^2} \quad (1.27)$$

Вводя безразмерные координаты  $z^* = \frac{z}{r_j^*}$ ,  $\theta^* = \frac{\theta}{r_j^*}$ , получим [1]

$$W_j = \int_{-1}^1 \gamma_j^0 z^* d\theta^* = \pi \gamma_j^0 r_j^0 \sin \varphi_j^0 = \pi r_j^0 \left| \left( \frac{\partial \varphi_j}{\partial x} - y \right)^2 + \left( \frac{\partial \varphi_j}{\partial y} + x \right)^2 \right| E_j(T, \varphi) \quad (1.28)$$

откуда на основании (1.23) после перехода на плоскость  $\zeta = \xi + i\eta$  будем иметь

$$W_j = \frac{|f_j(\zeta) - i\omega_1(\zeta)\overline{\omega_1(\zeta)}|^2}{|\omega_1(\zeta)|^2} \frac{-M_j^2 E_j(T, \varphi)}{Q} \quad (1.29)$$

Работа, совершаяя за один цикл при деформации вязко-упругого тела, позволяет определить интенсивность выделения тепла в каждой области

$$\dot{q}_j^* = \frac{|f_j(\zeta) - i\omega_1(\zeta)\overline{\omega_1(\zeta)}|^2}{|\omega_1(\zeta)|^2} \frac{-k_j^* M_j^2 E_j(T, \varphi)}{2Q} \text{ на } z_j \quad (j=1, 2) \quad (1.30)$$

Здесь  $k_j^*$  — величины, обратные механическому эквиваленту тепла,  $k$  — коэффициент, равный доле механической работы, переходящей в тепло. Для установления максимального нагрева будем полагать этот коэффициент постоянным и равным единице.

Для стационарного случая уравнение теплопроводности в каждой области  $z_j$  ( $j = 1, 2$ ) принимает вид

$$L_j(T_j) = \frac{\partial^2 T_j}{\partial \zeta^2} - \frac{\partial^2 T_j}{\partial \bar{\zeta}^2} + \frac{a_j^*}{Q} E_j(T_j, \varphi) |f_j(\zeta) - i\omega_1(\zeta)\overline{\omega_1(\zeta)}|^2 = 0 \quad (1.31)$$

на  $z_j$  ( $j = 1, 2$ )

где

$$a_j^* = \frac{k_j^* M_j^2}{2a_j c_j} \quad (1.32)$$

Здесь  $a$  — коэффициент температуропроводности различных материалов,  $c$  — объемная теплоемкость.

Границные условия для температуры таковы

$$T_1^* = T_2^* \text{ на окружности } |\zeta| = R$$

$$k_2 d T_2 / d n = k_1 d T_1 / d n \text{ на окружности } |\zeta| = R \quad (1.33)$$

$$T_2^* = T_0 \text{ на окружности } |\zeta| = 1$$

то есть на линии раздела различных материалов температура и тепловой поток равны, а температура на боковой поверхности стержня равна температуре окружающей среды;  $k_1$  и  $k_2$  — коэффициенты теплопроводности одного и другого материала.

Используя (1.8) и вводя полярные координаты, уравнение (1.31) приводим к виду

$$L_j(T_j) = \Delta T_j + f_j'(r, \theta) T_j = -F_j'(r, \theta) \quad \text{на } \sigma_j \quad (j=1, 2) \quad (1.34)$$

где

$$f_j'(r, \theta) = \frac{\tau_j C_j}{Q} |f_j(z) - i\omega_1(z)\overline{\omega_1(z)}|^2 \quad (1.35)$$

$$F_j'(r, \theta) = \frac{\mu_j B_j}{Q} |f_j(z) - i\omega_1(z)\overline{\omega_1(z)}|^2, \quad z = r e^{i\theta} \quad (j=1, 2)$$

$$\Delta = \frac{\partial^2}{\partial r^2} + \frac{1}{r} \frac{\partial}{\partial r} + \frac{1}{r^2} \frac{\partial^2}{\partial \theta^2} \quad (1.36)$$

Границное условие преобразуется следующим образом:

$$\begin{aligned} T_1 &= T_2 && \text{при } r = R \\ k_1 \partial_r T_2 \partial_r &= k_2 \partial_r T_1 \partial_r && \text{при } r = R \\ T_2 &= T_0 && \text{при } r = 1 \end{aligned} \quad (1.37)$$

Примем

$$T_1 = T_2 = T_*(\theta) \quad \text{при } r = R \quad (1.38)$$

где  $T_*(\theta)$  — пока неизвестная функция, подлежащая определению.

Нашем решение уравнений (1.34) при граничном условии (1.37), соответственно, в виде

$$T_1(r_0, \theta_0) = \frac{\tau_0}{R^2} T_*(\theta_0) + \int_{0}^{2\pi} \int_{R}^{R_0} G(r_0, \theta_0; r, \theta) \mu_1(r, \theta) r dr d\theta \quad (1.39)$$

$$T_2(r_0, \theta_0) = \frac{(r_0^2 - R^2) T_0 + (1 - r_0^2) T_*(\theta_0)}{1 - R^2} + \int_{0}^{2\pi} \int_{R}^{r_0} G^*(r_0, \theta_0; r, \theta) \mu_2(r, \theta) r dr d\theta \quad (1.40)$$

где  $G(r_0, \theta_0; r, \theta)$  — функция Грина уравнения Лапласа для круга;  $G^*(r_0, \theta_0; r, \theta)$  — функция Грина уравнения Лапласа для кольца  $R < r < 1$  [3];  $\mu_1(r, \theta)$  и  $\mu_2(r, \theta)$  — произвольные неизвестные функции, непрерывные и имеющие непрерывные производные соответственно в круге и в кольце.

После подстановки (1.39) и (1.40) в (1.34) для нахождения  $\mu_1(r, \theta)$  и  $\mu_2(r, \theta)$  получаем интегральные уравнения Фредгольма второго рода [2]

$$\varphi_j(r_0, \theta_0) = \Phi_j(r_0, \theta_0) + \int_{r_0}^{R_0} \int_{0}^{2\pi} K_j(r_0, \theta_0; r, \theta) \varphi_j(r, \theta) r dr d\theta \quad (j=1, 2) \quad (1.41)$$

так

$$\begin{aligned}\Phi_1(\rho_0, \theta_0) &= F_1(\rho_0, \theta_0) + L_1 \left| \frac{z_0^2}{R^2} T_*(\theta_0) \right| \\ \Phi_2(\rho_0, \theta_0) &= F_2(\rho_0, \theta_0) + L_2 \left( \frac{(k_1^2 - R^2) T_0 + (1 - k_1^2) T_*(\theta_0)}{1 - R^2} \right)\end{aligned}\quad (1.42)$$

$$K_1^*(\rho_0, \theta_0; \rho, \theta) = f_1^*(\rho_0, \theta_0) G(\rho_0, \theta_0; \rho, \theta) \quad (1.43)$$

$$K_2^*(\rho_0, \theta_0; \rho, \theta) = f_2^*(\rho_0, \theta_0) G^*(\rho_0, \theta_0; \rho, \theta)$$

$f_1^*(\rho_0, \theta_0)$  и  $f_2^*(\rho_0, \theta_0)$  — даются формулой (1.35).

Из граничных условий (1.37) первое и третье удовлетворяются автоматически; из второго условия получаем уравнение для определения неизвестной функции  $T_*(\theta_0)$

$$\begin{aligned}T_*(\theta_0) &= \frac{k_2 R^2 T_0}{k_1(1 - R^2) + k_2 R^2} = \frac{R(1 - R^2)}{2[k_1(1 - R^2) - k_2 R^2]} \\ &\times \frac{\partial}{\partial \rho_0} \left[ \frac{1}{k_2} \int_{\rho_0}^{R^2+1} G^*(\rho_0, \theta_0; \rho, \theta) \rho_2(\rho, \theta) \rho d\rho \right] - \\ &- k_1 \int_{\rho_0}^{R^2+1} \left[ \int_{\rho_0}^{\rho} G(\rho_0, \theta_0; \rho, \theta) \rho_1(\rho, \theta) \rho d\rho \right] d\theta \quad (1.44)\end{aligned}$$

2. Для решения интегральных уравнений (1.41) их ядра заменим выраженным. Разлагаем ядра в двойной ряд Фурье по ортонормированным системам функций соответственно в круге  $R < |z| < 1$  и в кольце  $R < |z| < 1$

$$[\varphi_1^{(j)}(\rho_0, \theta_0), z_m^{(j)}(\rho, \theta)] \text{ на } z_j \quad (j = 1, 2; k, m = 1, 2, \dots) \quad (2.1)$$

в виде

$$K_j^*(\rho_0, \theta_0; \rho, \theta) = \sum_{k, m=1}^{\infty} A_{km}^{(j)} \varphi_1^{(j)}(\rho_0, \theta_0) z_m^{(j)}(\rho, \theta) \text{ на } z_j \quad (j = 1, 2) \quad (2.2)$$

Для коэффициентов  $A_{km}^{(j)}$  получаем следующее выражение:

$$A_{km}^{(j)} = \iint_{z_j} \left[ \int_{z_j} K_j^*(\rho_0, \theta_0; \rho, \theta) z_m^{(j)}(\rho_0, \theta_0) \rho_0 d\rho d\theta \right] \varphi_1^{(j)}(\rho, \theta) \rho d\rho d\theta \quad (j = 1, 2) \quad (2.3)$$

После преобразования интегральные уравнения (1.41) принимают вид

$$\varphi_j(\rho_0, \theta_0) = \sum_{k=1}^N A_{km}^{(j)} \varphi_1^{(j)}(\rho_0, \theta_0) \iint_{z_j} \varphi_1^{(j)}(\rho, \theta) z_k(\rho, \theta) \rho d\rho d\theta = \Phi_j(\rho_0, \theta_0) \quad (j = 1, 2) \quad (2.4)$$

Как известно [4], решение интегральных уравнений с вырожденным ядром можно свести к решению линейной системы алгебраических уравнений.

После некоторых вычислений получаем [2]

$$\mu_j(\rho_0, \theta_0) = \Phi_j(\rho_0, \theta_0) + \sum_{k=1}^N Y_k^{(j)} \varphi_k^{(j)}(\rho_0, \theta_0) \text{ на } z_j \quad (j = 1, 2) \quad (2.5)$$

$$Y_k^{(j)} = \sum_{l=1}^N A_{ml}^{(j)} X_l^{(m)} \quad (2.6)$$

где постоянное  $X_l^{(m)}$  определяется из линейных систем алгебраических уравнений

$$X_m^{(j)} - \sum_{l=1}^N A_{ml}^{(j)} X_l^{(m)} = \Psi_m^{(j)} \quad (j = 1, 2; m = 1, 2, \dots, N) \quad (2.7)$$

где

$$\Psi_m^{(j)} = \int_{\rho_0}^R \int_{\theta_0}^{\pi} \Phi_j(\rho_0, \theta_0) \varphi_m^{(j)}(\rho_0, \theta_0) \rho d\rho d\theta \quad (m = 1, 2, \dots, N) \quad (2.8)$$

Подставляя значения  $\mu_1(\rho_0, \theta_0)$  и  $\mu_2(\rho_0, \theta_0)$  из (2.5) в (1.39) и (1.40), соответственно получаем

$$T_1(\rho_0, \theta_0) = \frac{\rho_0^2}{K^2} T_*(\theta_0) + \int_{\rho_0}^{2\pi - R} \int_0^R G(\rho_0, \theta_0; \rho_1, \theta_1) \Phi_1(\rho_1, \theta_1) \rho d\rho d\theta + \\ + \sum_{k=1}^N Y_k^{(1)} \int_0^R \int_0^{2\pi} G(\rho_0, \theta_0; \rho_1, \theta_1) \varphi_k^{(1)}(\rho_1, \theta_1) \rho d\rho d\theta, \quad 0 < \rho_0 < R \quad (2.9)$$

$$T_2(\rho_0, \theta_0) = \frac{(\rho_0^2 - R^2)}{1 - R^2} T_* + \frac{(1 - \rho_0^2)}{1 - R^2} \frac{T_*(\theta_0)}{1 - R^2} - \int_{\rho_0}^{2\pi} \int_R^1 G^*(\rho_0, \theta_0; \rho_1, \theta_1) \Phi_2(\rho_1, \theta_1) \times \\ \times \rho d\rho d\theta + \sum_{k=1}^N Y_k^{(2)} \int_0^{2\pi} \int_R^1 G^*(\rho_0, \theta_0; \rho_1, \theta_1) \varphi_k^{(2)}(\rho_1, \theta_1) \rho d\rho d\theta, \quad R < \rho_0 < 1 \quad (2.10)$$

где  $\Phi_1(\rho, \theta)$  и  $\Phi_2(\rho, \theta)$  даются формулами (1.42).

В решение задачи входит неизвестная функция  $T_*(\theta)$ , для определения которой из (2.5) подставляем значения  $\mu_1(\rho_0, \theta_0)$  и  $\mu_2(\rho_0, \theta_0)$  в уравнение (1.44), после преобразования получаем следующие сингулярные интегро-дифференциальные уравнения относительно функции  $T_*(\theta_0)$

$$T_*(\theta_0) = \Psi(\theta_0) + \int_{\rho_0}^{2\pi} \left[ \frac{i}{2\pi} \operatorname{ctg} \frac{\theta - \theta_0}{2} + H_1(\theta - \theta_0) \right] T_*(\theta) d\theta +$$

$$+ \int_0^{2\pi} H_2(\theta, \theta_0) T_*(\theta) d\theta \quad (2.11)$$

при граничных условиях

$$T_*(0) = T_*(2\pi), \quad T_*(0) = T_*(2\pi) \quad (2.12)$$

Функция  $\Psi(\theta_0)$  и ядра  $H_1(\theta - \theta_0)$ ,  $H_2(\theta, \theta_0)$ —некоторые регулярные функции (явные выражения для них не приводим).

$$i_1 = \frac{k_2(1-R^2) + k_1}{2[k_1(1-R^2) + k_2R^2]} \quad (2.13)$$

3. Для решения сингулярного интегро-дифференциального уравнения (2.11) при граничных условиях (2.12) сведем его к эквивалентному интегральному уравнению Фредгольма второго рода. Для этого преобразуем его и воспользуемся известной формулой обращения Гильберта [5, 6]

$$T_*(\theta_0) = -\frac{1}{2\pi i_1} \int_0^{2\pi} \operatorname{ctg} \frac{\theta - \theta_0}{2} \left[ T_*(\theta) - \Psi(\theta) + \right. \\ \left. + \int_0^{2\pi} [H_{1t}(t - \theta) - H_2(t, \theta_0)] T_*(t) dt \right] d\theta + z_0 \quad (3.1)$$

при этом должно выполняться равенство

$$\int_0^{2\pi} \left[ T_*(\theta_0) - \Psi(\theta_0) + \int_0^{2\pi} [H_{1t}(t - \theta_0) - H_2(t, \theta_0)] T_*(t) dt \right] d\theta_0 = 0 \quad (3.2)$$

В (3.1)  $z_0$ — постоянная, подлежащая определению.

Интегрируя обе части (3.1), для определения  $T_*(\theta_0)$  получим интегральное уравнение Фредгольма второго рода

$$T_*(\theta_0) = \int_0^{2\pi} K(t, \theta_0) T_*(t) dt + f(\theta_0) + z_0 \theta_0 + s_1 \quad (3.3)$$

где

$$K(t, \theta_0) = \frac{1}{\pi i_1} \left[ \ln 2 \left| \sin \frac{t - \theta_0}{2} \right| + \right. \\ \left. + \int_0^{2\pi} [H_{1t}(y - t) - H_2(y, t)] \ln 2 \left| \sin \frac{y - \theta_0}{2} \right| dy \right] \quad (3.4)$$

$$f(\theta_0) = -\frac{1}{\pi i_1} \int_0^{2\pi} \ln 2 \left| \sin \frac{t - \theta_0}{2} \right| \Psi(t) dt \quad (3.5)$$

$s_1$ — постоянная интегрирования.

Из граничных условий (2.12) находим, что  $a_0=0$ , а из (3.2) и (3.3) получим

$$z_1 = \frac{1}{2\pi} \int_0^{2\pi} \Psi^*(t) dt + \frac{1}{2\pi} \int_0^{2\pi} \int_0^{2\pi} H_*(y, t) T_*(y) dy dt \quad (3.6)$$

4. Для решения интегрального уравнения (3.3) его ядро заменим вырожденным. Разлагаем ядро в двойной ряд Фурье по ортонормированным системам функций

$$\left\{ \frac{1}{V\pi} \cos k\vartheta, \quad \frac{1}{V\pi} \cos m\vartheta_0 \right\} \quad (k, m = 1, 2, \dots) \quad (4.1)$$

в виде

$$K(t, \vartheta) = \frac{1}{\pi} \sum_{k, m=1}^{\infty} A_{km}^{(0)} \cos kt \cos m\vartheta_0 \quad (4.2)$$

где

$$A_{km}^{(0)} = \frac{1}{\pi} \int_0^{2\pi} \int_0^{2\pi} K(t, \vartheta_0) \cos kt dt \cos m\vartheta_0 d\vartheta_0 \quad (4.3)$$

После преобразования интегральное уравнение (3.3) принимает следующий вид:

$$T_*(\vartheta_0) - \frac{1}{\pi} \sum_{k, m=1}^N A_{km}^{(0)} \cos m\vartheta_0 \int_0^{2\pi} T_*(t) \cos kt dt = f(\vartheta_0) + z_1 \quad (4.4)$$

Решение интегрального уравнения (4.4) имеет вид

$$T_*(\vartheta_0) = z_1 + f(\vartheta_0) + \sum_{k=1}^N Y_k^{(0)} \cos k\vartheta_0 \quad (4.5)$$

где

$$Y_k^{(0)} = \sum_{m=1}^N A_{km}^{(0)} X_m^{(0)} \quad (4.6)$$

а постоянная  $X_m^{(0)}$  определяется из линейных систем алгебраических уравнений

$$X_m^{(0)} = \sum_{k=1}^N A_{mk}^{(0)} X_k^{(0)} = F_m^{(0)} \quad (m = 1, 2, \dots, N) \quad (4.7)$$

где

$$F_m^{(0)} = \frac{1}{\pi} \int_0^{2\pi} f(\vartheta) \cos m\vartheta d\vartheta \quad (m = 1, 2, \dots, N) \quad (4.8)$$

5. В качестве примера отображающую функцию  $\omega_1(\zeta)$  возьмем в виде

$$z = \omega_1(\zeta) = a(\zeta - \zeta^2), \quad a > 0, \quad 0 \leq z < \frac{1}{2} \quad (5.1)$$

Окружности  $|z|=R$  соответствует кривая  $l_1$  на плоскости  $z=x+iy$ , а окружности  $r=1$  — кривая  $l_2$ , которые представляют собой кардиоиды.

Тогда  $f_1(\zeta)$  и  $f_2(\zeta)$  согласно формуле (1.18) соответственно в круге  $|z| < R$  и в кольце  $R < |z| < 1$  даются в виде:

$$f_1(\zeta) = i\alpha^2 b_1 \zeta, \quad f_2(\zeta) = i\alpha^2 (b_2 \zeta + b_3 \zeta^{-1}) \quad (5.2)$$

где  $b_1, b_2, b_3$  и  $\lambda_0$  определяются из (1.19).

На основании формулы (1.35) после элементарных преобразований получаем

$$\begin{aligned} f_j(\zeta, \theta) &= \frac{\alpha^2 \lambda_0 C_j}{Q} [g_j^{(0)}(\zeta) + g_j^{(1)}(\zeta) \cos \theta + g_j^{(2)}(\zeta) \cos 2\theta] \quad (j=1, 2) \\ f_j(\zeta, \theta) &= \frac{\alpha^2 \lambda_0 B_j}{Q} [g_0^{(j)}(\zeta) + g_1^{(j)}(\zeta) \cos \theta + g_2^{(j)}(\zeta) \cos 2\theta] \quad (j=1, 2) \end{aligned} \quad (5.3)$$

где  $g_i^{(j)}(\zeta)$  ( $j = 1, 2$ ;  $i = 0, 1, 2$ ) — определенные функции.

В формуле (2.1) ортонормированные системы функций возьмем в виде

$$\begin{aligned} \left| \sqrt{\frac{2(k-1)}{\pi}} \frac{r^k}{R^{k+1}} \cos kr \right|, \quad &\left| \sqrt{\frac{2(m+1)}{\pi}} \frac{r^m}{R^{m+1}} \cos mr \right| \\ \text{в круге } |z| < R \quad (k, m = 1, 2, \dots) & \\ \left| \sqrt{\frac{2(k+1)}{\pi(1-R^{2k-2})}} r^k \cos kr \right|, \quad &\left| \sqrt{\frac{2(m+1)}{\pi(1-R^{2m-2})}} r^m \cos mr \right| \\ \text{в кольце } R < |z| < 1 \quad (k, m = 1, 2, \dots) & \end{aligned} \quad (5.4)$$

На основании формул (1.43), (2.3), (3.4), (4.3), (5.3) и (5.4) получены выражения для коэффициентов Фурье  $A_{km}^{(0)}$  и  $A_{km}^{(1)}$ . Из-за громоздкости не приводим явное выражение для  $A_{km}^{(0)}$  и  $A_{km}^{(1)}$ .

После некоторых вычислений находим из (3.5) и (4.5) неизвестную функцию  $T_s(\theta_0)$ , то есть температуру на линии раздела различных материалов, в виде

$$T_s(\theta_0) = x_1 + \sum_{k=1}^N X_k^{(0)} \cos k\theta_0 \quad (5.5)$$

Постоянные  $X_k^{(0)}$  определяются из уравнений (4.7), где  $F_k^{(0)}$  дается на основании (4.8). После вычисления получим

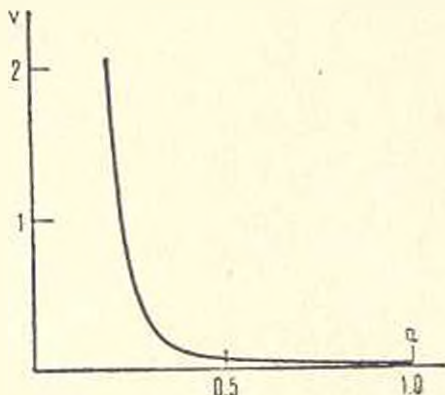
$$\begin{aligned} F_1^{(0)} &= c_1 + a_1 a^4 \lambda_1 Q, & F_2^{(0)} &= c_2 + a_2 a^4 / 2 \lambda_1 Q \\ F_m^{(0)} &= c_m + m \quad (m = 3, 4, \dots, N) \end{aligned} \quad (5.6)$$

Явные выражения для  $c_m$ ,  $a_1$  и  $a_2$  не приводятся из-за громоздкости.

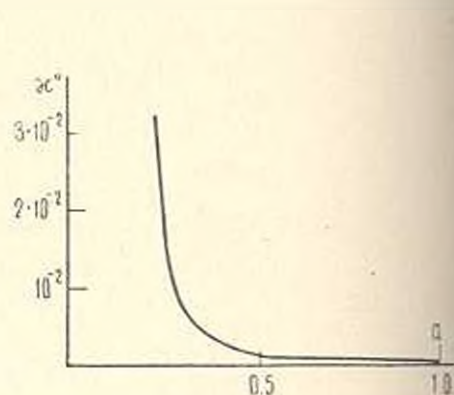
Подставляя выражение (5.5) в (2.9) и (2.10), получаем решение задачи. Затем полученный результат подставим в (1.25), после чего найдем уравнения для определения параметра  $Q$ .

Заметим, что в формулы (2.11), (3.4), (3.5) входят интегралы, которые следует понимать в смысле главного значения.

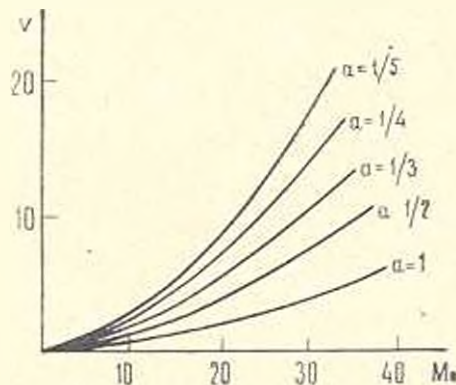
На основании формул (1.23), (1.25) и (5.5) построен график. На фиг. 1 показано соотношение между перепадом температур  $v = T - T_0$  и величиной  $a$ , входящей в уравнение кардиониды, на фиг. 2—связь между углом закручивания и величиной  $a$ , на фиг. 3—соотношение между амплитудой момента и перепадом температур.



Фиг. 1.



Фиг. 2.



Фиг. 3.

Ниже в таблице даны значения  $T_0$  и  $\chi'$  зависимости от  $a$ . При этом использованы данные, соответствующие двум видам полиэтилена

Таблица 1

$a$	1	1/2	1/3	1/4	1/5
$x^0$	$10^{-4}$	$1.59 \cdot 10^{-3}$	$8.055 \cdot 10^{-3}$	$2.552 \cdot 10^{-2}$	$6.233 \cdot 10^{-2}$
$T_*(0)$	20.0029	20.0519	20.2624	20.8311	22.0287
$T_*(1/2)$	20.0029	20.0513	20.2593	20.8210	22.0042
$T_*(1)$	20.0029	20.0508	20.2566	20.8127	21.9839

$$A_1 = 3.4 \cdot 10^3 \text{ кг/см}^2; \quad A_2 = 5.1 \cdot 10^1 \text{ кг/см}^2; \quad B_1 = B_2 = 3.87 \cdot 10^2 \text{ кг/см}^2$$

$$k_1 = k_2 = 0.00234 \text{ ккал/кгм}; \quad a_1 c_1 = a_2 c_2 = 0.28 \text{ ккал/м час град}$$

$$k_1 = k_2; \quad \omega = 100 \text{ рад}; \quad T_0 = 20; \quad M_0 = 10 \left| \frac{\text{кг}}{\text{см}^2} \right| \text{ см}$$

$$\alpha = 0.25; \quad R = 0.5; \quad C_1 = C_2 = 3.87 \text{ кг/см}^2 \text{ град}$$

Автор искренне признателен А. А. Галину за постановку задачи и постоянное внимание к работе.

Институт проблем механики  
АН СССР

Поступила 26 IV 1973.

Ч. Р. Абрамян

Физико-математический институт им. М. В. Ломоносова  
Академии наук СССР  
Ученый секретарь  
Директор  
Секретарь Ученого совета

### В. М. ФИЛОСОФ

Решательно поддержал выполнение работы и рекомендует ее опубликовать в журнале.

Академик РАН  
Физико-математический институт им. М. В. Ломоносова  
Директор  
Секретарь Ученого совета

Несмотря на то что в работе не приведены экспериментальные данные, авторы делают правильные выводы о характере кручения стержня из композитных материалов. Работа может быть полезной для инженеров, занимающихся разработкой конструкций из композитных материалов.

Мы считаем, что работа может быть полезной для инженеров, занимающихся разработкой конструкций из композитных материалов.

Мы считаем, что работа может быть полезной для инженеров, занимающихся разработкой конструкций из композитных материалов.

Мы считаем, что работа может быть полезной для инженеров, занимающихся разработкой конструкций из композитных материалов.

# THE TWISTING OF A VISCOUS-ELASTIC PRISMATIC COMPOSITE ROD UNDER VIBRATIONAL LOAD

G. B. VERMISHIAN

## S u m m a r y

The twisting of a prismatic viscous-elastic composite rod with a non-circular cross-section under vibrational load has been studied.

The applied load changes according to the harmonic law, with a constant amplitude.

As is known, the components of the complex modulus essentially depend on the frequency of vibration and temperature, with heat being evolved due to dissipative forces. Therefore to determine the temperature at each part of the rod for a stationary case a differential equation of an elliptic type is derived.

The problem is solved for a rod consisting of two different viscous-elastic materials.

The temperature on the boundary surface of the rod is equal to the ambient temperature but on the interface of different materials the temperature and heat flow are equal. The temperature along the rod axis is assumed to be invariable. Calculations for a special case are presented.

## Л И Т Е Р А Т У Р А

1. Галин А. А. О действии вибрационной нагрузки на полимерные материалы. Изв. АН СССР. Механика, № 6, 1965.
2. Вермишян Г. Б., Галин А. А. Кручение вязко-упругого призматического стержня при действии вибрационной нагрузки. Изв. АН СССР. МТТ, № 5, 1972.
3. Аркенин В. Я. Математическая физика. Основные уравнения и специальные функции. Изд. „Наука“, М., 1966.
4. Михлин С. Г. Лекции по линейным интегральным уравнениям. Физматгиз, М., 1959.
5. Гахов Ф. Д. Краевые задачи. Физматгиз, М., 1963.
6. Мусхелишвили Н. И. Сингулярные интегральные уравнения. Изд. „Наука“, М., 1968.

А Г БАГДОЕВ

## УРАВНЕНИЯ НЕЛИНЕЙНОЙ ВЯЗКОТЕРМОМАГНИТОУПРУГОЙ СРЕДЫ ВБЛНЗИ ФРОНТОВ ВОЛН

1. Рассматривается задача определения параметров движения вязко-термомагнитоупругой среды в окрестности фронтов волн малой интенсивности. Предположено, что волна распространяется в неоднородной среде, невозмущенные параметры которой зависят от координат  $x, y, z$ .

Уравнения движения произвольной среды в окрестности фронта волны имеют вид [1, 2]

$$\begin{aligned} \frac{\partial u}{\partial t} - \frac{d \ln \Phi}{dt} u = & \frac{1}{2} H_1 \left( \frac{\partial^2 \sigma_{xx}}{\partial y^2} \frac{\partial u_{xy}}{\partial x_1} - \frac{\partial^2 \sigma_{yy}}{\partial x^2} \frac{\partial u_{xy}}{\partial x_1} - 2 \frac{\partial^2 \sigma_{xy}}{\partial x \partial y} \frac{\partial u_{xy}}{\partial x_1} \right) = \\ & = \nu \frac{u}{H_1} \frac{\partial u}{\partial z} \quad (1.1) \\ \frac{\partial u}{\partial x_1} = & \frac{\sigma_{xy}}{H_1 \sigma^2}, \quad \frac{\partial u}{\partial x_2} = \frac{\sigma_{yy}}{H_1 \sigma^2}, \end{aligned}$$

где  $u$  есть проекция скорости возмущенного движения частицы на нормаль  $\vec{n}$  к невозмущенной волне,  $t$  — время пробега по нормали от волны до данной точки,  $H_1 = c_n + u_n$  — нормальная скорость невозмущенной волны,  $u_n$  — невозмущенная скорость частицы, координаты  $x_1, x_2, x_3$  выбраны в касательной плоскости волны,  $\Phi$  есть амплитуда одномерного по  $t$  линейного или лучевого решения,  $u = u(\beta, \gamma)$  есть лисперсонное уравнение или уравнение характеристики, которое имеет вид

$$x V_x + y V_y + z V_z - 1 = - c_n \sqrt{\frac{x^2}{c_n^2} + \frac{y^2}{c_n^2} + 1} \quad (1.2)$$

где  $(V_x, V_y, V_z)$  есть вектор невозмущенной скорости частиц. При получении (1.1) предположено, что ось  $\tau = x_1$  выбрана по нормали к волне. Поэтому при вычислении производных  $a$  по  $\beta$  и  $\gamma$  в (1.1), согласно (1.2), нужно учитывать, что  $\beta = 0, \gamma = 0$ . Значение  $a$  дает нелинейный добавок в нормальной скорости волны  $\lambda$ , причем  $\lambda = H_1 + a$ . Смысл  $v_{xy}, v_y$  выясняется из проекций уравнений движения среды на направление медленного, по сравнению с  $t$ , изменения параметров движения, которые обычно предельно упрощаются. Таким образом, для определения уравнения движения вблизи волны (1.1) нужно знать лучевое решение  $\Phi$ , формулу для нормальной скорости волны  $\lambda$  в нелинейной задаче, формулу для нормальной скорости  $c_n$  волны относительно частиц в линейной задаче, а также выяснить смысл  $u_{xy}, u_y$ .

Следует отметить, что при определении из условий совместности на характеристике нелинейной задачи можно малые слагаемые, содержащие диссипативные члены, формально включить в формулу для  $\lambda$ , и тогда (1.1) будет описывать движение среды в окрестности волны для произвольной диссипативной среды.

Уравнения движения вязкотермомагнитоупругой среды в переменных Лагранжа  $x_k$  имеют вид

$$\frac{\partial u_i}{\partial t} = \frac{\partial z_{ik}}{\partial x_k} + \frac{\rho}{\rho} \frac{\partial \Pi_{ik}}{\partial X_k} + \frac{\partial \tau_{ik}^{(s)}}{\partial x_k} \quad (1.3)$$

где эйлерова координата  $X_k = x_k + u_k$ ,  $u_k$  — вектор перемещений,  $v_k = \frac{\partial u_k}{\partial t}$ ,  $\rho$  — плотность среды, тензор максвелловских напряжений

$$\Pi_{ik} = \frac{1}{4\pi} \left( H_i H_k - \frac{1}{2} H^2 \delta_{ik} \right) \quad (1.4)$$

$H_i$  — вектор напряженности магнитного поля и за волной  $H_i = H_i^0 + h_i$ ,  $|h_i| \ll |H_i^0|$ ,  $\tau_{ik}^{(s)}$  есть тензор вязких напряжений, имеющий вид

$$\tau_{ik}^{(s)} = \gamma^{(1)} \operatorname{div} \vec{v} z_{ik} + \gamma^{(2)} \left( \frac{\partial v_i}{\partial x_k} + \frac{\partial v_k}{\partial x_i} \right) \quad (1.5)$$

$z_{ik}$  в (1.3) есть тензор термомагнитоупругих напряжений.

Полагая для энергии термомагнитоупругой среды

$$U = U_0 - \gamma_0 b Y_1 + \frac{1}{2} \gamma_1 b Y_1^2 + \gamma_2 b Y_2 + \gamma_3 b^2 Y_3$$

где  $U_0$  есть энергия нелинейно-упругого тела в отсутствие температурных напряжений,  $b = T - T_0$ ,  $T$  — температура,  $Y_1 = u_{kk}$ ,  $Y_2 = \frac{1}{2} (u_{xx}^2 - u_{yy}^2)$  суть инварианты тензора деформаций

$$u_{kk} = \frac{1}{2} \left( \frac{\partial u_i}{\partial x_k} + \frac{\partial u_k}{\partial x_i} + \frac{\partial u_i}{\partial x_j} \frac{\partial u_j}{\partial x_k} \right)$$

$\gamma_0, \gamma_1, \gamma_2, \gamma_3$  — постоянные, можно получить

$$\begin{aligned} z_{ik} &= \frac{\partial U_0}{\partial \left( \frac{\partial u_i}{\partial x_k} \right)} - \gamma_0 b \left( z_{ik} + \frac{\partial u_i}{\partial x_k} \right) + \\ &+ \left( \gamma_1 b \frac{\partial u_i}{\partial x_k} + \gamma_2 b^2 - \gamma_3 b \frac{\partial u_i}{\partial x_k} \right) z_{ik} - \gamma_3 b \frac{\partial u_i}{\partial x_k} \end{aligned} \quad (1.6)$$

где первый член в правой части дает тензор напряжений в нелинейной теории упругости и имеет вид формулы (8.16), стр. 297, в работе [3].

Кроме того, имеет место уравнение энергии и обобщенный закон теплопроводности [4, 5]

$$T \frac{\partial S}{\partial t} = \operatorname{div} \bar{q}, \quad \bar{q} + \gamma_0 \frac{\partial \bar{q}}{\partial t} = \lambda_1 \operatorname{grad} \theta \quad (1.7)$$

где постоянные  $\gamma_0, \lambda_1$  малы,  $S$  — энтропия. Вязкостью и джоулевой диссипацией в (1.7) вблизи волны можно пренебречь.

Учитывая соотношения [4]

$$\left( \frac{\partial S}{\partial u_{ik}} \right)_T = - \left( \frac{\partial \gamma_0}{\partial T} \right)_{u_{ik}}, \quad \left( \frac{\partial S}{\partial T} \right)_{u_{ik}} = \frac{1}{T} \left( \frac{\partial u}{\partial T} \right)_{u_{ik}}$$

можно получить во втором порядке по  $u_{ik}$  б,  $T \frac{dS}{dt} = \varphi_1$ ,

$$\begin{aligned} T \frac{\partial S}{\partial t} &= c \frac{\partial \theta}{\partial t} + \gamma_0 T \frac{\partial^2 u_e}{\partial t \partial x_e} + 2\gamma_0 T \frac{\partial u_k}{\partial x_e} \frac{\partial^2 u_k}{\partial t \partial x_e} - \\ &- T \left( \gamma_1 \frac{\partial u_e}{\partial x_e} + \gamma_2 \frac{\partial u_e}{\partial x_e} + 2\gamma_3 \theta \right) \frac{\partial^2 u_e}{\partial t \partial x_e} + \\ &+ \gamma_0 T \frac{\partial u_k}{\partial x_e} \frac{\partial^2 u_e}{\partial x_k \partial t} - \gamma_0 \frac{\partial u_e}{\partial x_e} \frac{\partial \theta}{\partial t}, \quad \gamma_1 + \gamma_0 \frac{\partial \gamma_1}{\partial t} = \lambda_1 \gamma_0 \theta \end{aligned} \quad (1.8)$$

где  $c = \left( \frac{\partial U_0}{\partial T} \right)_{u_{ik}}$  есть коэффициент теплоемкости. Можно предполагать  $\gamma_0 \ll \lambda_1$ , тогда для основных волн теплопроводность будет, как и вязкость, влиять на размазывание профиля волны, не влияя на ее скорость. Далее, предполагается  $\gamma_0 \ll \lambda_1$ . В силу того, что  $\gamma_0$  мало, хоть и  $\frac{\lambda_1}{\gamma_0}$  конечно, и поскольку определяются лишь условия на нелинейной волне, на которые влияют коэффициенты при старших производных, а также лучевое решение  $\Phi$ , которое дается линейной теорией, в (1.8) существенны лишь линейные слагаемые и можно написать по (1.7), вводя обозначения

$$\kappa = \frac{\lambda_1}{c}, \quad \eta = \gamma_0 \frac{T}{\lambda_1} \quad (1.9)$$

$$\Gamma^{20} = \frac{1}{\kappa} \frac{\partial \theta}{\partial t} + \eta \frac{\partial \operatorname{div} \bar{u}}{\partial t} + \gamma_0 \left( \frac{1}{\kappa} \frac{\partial^2 \theta}{\partial t^2} + \eta \frac{\partial^2 \operatorname{div} \bar{u}}{\partial t^2} \right) \quad (1.10)$$

Учитывая, что имеет место для начальных магнитных напряжений  $\frac{\partial H_{ik}}{\partial X_k} = 0$ , а также то, что вблизи волны можно в (1.3) заменять  $X_k$  на  $x_k$ , с учетом (1.3) — (1.6), а также уравнения магнитной индукции [6] можно получить окончательные уравнения

$$\begin{aligned}
 \mu_0 \frac{\partial v_i}{\partial t} - \mu \Delta u_i - (\nu_0 + \nu) \frac{\partial^2 u_i}{\partial x_e \partial x_i} - \frac{1}{4\pi} \frac{\partial (H_i h_k + H_k h_i - H_e^0 h_{ek})}{\partial x_k} + \\
 + \gamma_0 \frac{\partial \theta}{\partial x_i} = F_i + \frac{1}{4\pi} \frac{\sigma \left( h_k h_i - \frac{1}{2} h_e^2 \delta_{ik} \right)}{\partial x_k} - (\nu_0 + \nu_2) \frac{\partial \left( \eta \frac{\partial u_i}{\partial x_k} \right)}{\partial x_k} - \\
 - \frac{\partial}{\partial x_i} \left| (\nu_1 + \nu_2) \eta \frac{\partial u_e}{\partial x_e} + \nu_2 f^2 \right| + \nu^{(1)} + \nu^{(2)} \frac{\sigma \operatorname{div} \bar{v}}{\partial x_i} + \nu^{(3)} \Delta u_i
 \end{aligned}$$

$$\frac{\partial h_i}{\partial t} = H_i \frac{\partial v_i}{\partial x_k} - H_k \frac{\partial v_i}{\partial x_e} - H_e \frac{\partial u_e}{\partial x_k} \frac{\partial v_i}{\partial x_e} + H_i \frac{\partial u_e}{\partial x_k} \frac{\partial v_k}{\partial x_e} + \nu \Delta h_i \quad (1.11)$$

В последнем уравнении совершен переход от  $X_i$  к переменным  $x_i$ . Здесь  $\eta_0$ ,  $\mu$  — постоянные Ламе [3],  $\nu^0 = \frac{c^2}{4\pi \mu}$  есть малый коэффициент электрического сопротивления.  $F_i$  — нелинейная часть в тензоре упругих напряжений, причем во втором порядке [3]

$$\begin{aligned}
 F_i = & \left( \mu + \frac{A}{4} \right) \left( \frac{\partial^2 u_e}{\partial x_k \partial x_i} \frac{\partial u_e}{\partial x_i} + \frac{\partial^2 u_e}{\partial x_k^2} \frac{\partial u_e}{\partial x_e} + 2 \frac{\partial^2 u_i}{\partial x_e \partial x_k} \frac{\partial u_e}{\partial x_k} \right) + \\
 & + \left( K - \frac{\mu}{3} - \frac{A}{4} + B \right) \left( \frac{\partial^2 u_e}{\partial x_i \partial x_k} \frac{\partial u_e}{\partial x_k} + \frac{\partial^2 u_k}{\partial x_e \partial x_k} \frac{\partial u_i}{\partial x_e} \right) + \\
 & + \left( K - \frac{2}{3} \nu + B \right) \frac{\partial^2 u_e}{\partial x_k \partial x_e} \frac{\partial u_e}{\partial x_i} - \left( \frac{A}{4} - B \right) \left( \frac{\partial^2 u_k}{\partial x_e \partial x_k} \frac{\partial u_e}{\partial x_i} + \right. \\
 & \left. + \frac{\partial^2 u_e}{\partial x_i \partial x_k} \frac{\partial u_k}{\partial x_e} \right) - (B + 2C) \frac{\partial^2 u_i}{\partial x_i \partial x_k} \frac{\partial u_e}{\partial x_e} \quad (1.12)
 \end{aligned}$$

где  $K$ ,  $A$ ,  $B$ ,  $C$  — постоянные, причем  $K = \nu_0 + \frac{2}{3} \mu$ .

2. Таким образом, для определения  $v_i$ ,  $u_i$ ,  $\theta$ ,  $h_i$  имеем  $v_i = \frac{\partial u_i}{\partial t}$  и уравнения (1.10), (1.11). В линейном приближении, отбрасывая также члены с вязкостью и конечной электропроницаемостью  $\epsilon_0$ , получим уравнения

$$\begin{aligned}
 \mu_0 \frac{\partial v_i}{\partial t} = & (\nu_0 + \mu) \frac{\partial}{\partial x_i} (\operatorname{div} \bar{v}) + \mu \Delta u_i + \\
 & + \frac{1}{4\pi} \frac{\partial (H_i^0 h_k + H_k h_i - H_e^0 h_{ek})}{\partial x_k} - \frac{\partial \theta}{\partial x_i}, \quad v_i = \frac{\partial u_i}{\partial t} \\
 \frac{\partial h_i}{\partial t} = & H_i^0 \frac{\partial v_i}{\partial x_k} - H_k^0 \frac{\partial v_i}{\partial x_e} \\
 \nabla^2 \theta = & \left( \frac{1}{\nu} \frac{\partial \theta}{\partial t} + \eta \frac{\sigma \operatorname{div} \bar{v}}{\partial t} \right) + \nu_0 \left( \frac{1}{\nu} \frac{\partial^2 \theta}{\partial t^2} + \eta \frac{\sigma^2 \operatorname{div} \bar{v}}{\partial t^2} \right) \quad (2.1)
 \end{aligned}$$

В дальнейшем, при определении условий на линейной, а также и нелинейной характеристике, выберем ось  $x$  по нормали к волне линейной задачи (невозмущенной волне), уравнение поверхности нормалей к которой дает-  
ся (1.2). Кроме того, удобно выбрать плоскость ( $x, y$ ), проходящую через  
невозмущенное магнитное поле ( $H_x, H_y, 0$ ). Далее предположено  
 $V_x = V_y = V_z = 0$ , поскольку при  $\vec{V} \neq 0$  невозмущенный вектор пе-  
ремещения  $\vec{u}$  будет зависеть от времени  $t$ , а выше предположено, что  
невозмущенные волной параметры среды зависят лишь от  $x, y, z$ .  
Поэтому скорость невозмущенной волны  $H_0 = c_0$ .

Обозначая через  $\dot{\sigma} = \frac{\partial}{\partial x_k}$  скачок производной параметров по  
нормали к волне, можно получить из (2.1) условия на линейных ха-  
рактеристиках  $c_n = c_n^{(1,2)}$

$$\begin{aligned}\dot{h}_y &= \frac{H_x}{c_n} \frac{c_n^2 - b^2}{c_n^2 - b^2 - \frac{H_x^2}{4\pi\rho_0}} \dot{w}_{xx}, & \dot{w}_y &= -\frac{H_x}{H_y} \frac{c_n^2 - a^2 - \frac{\gamma_0}{\rho_0} P_0 c_n^2}{c_n^2 - b^2} \dot{w}_{xy}, \\ \dot{h}_x &= \dot{h}_y = \dot{w}_z = 0, & \dot{w} &= P_0 c_n \dot{w}_{xy}, \\ \left(c_n^2 - a^2 - \frac{\gamma_0}{\rho_0} P_0 c_n^2\right) \left(c_n^2 - b^2 - \frac{H_x^2}{4\pi\rho_0}\right) &= \frac{H_y^2}{4\pi\rho_0} (c_n^2 - b^2)\end{aligned}\quad (2.2)$$

где  $P_0 = -\gamma_0 \tau_i \left(1 - \frac{3}{2} c_n^2\right)^{-1}$ ,  $c_n = c_n^{(3)}$

$$\dot{h}_x = -\frac{H_x}{c_n} \dot{w}_{xy}, \quad \dot{w}_x = \dot{w}_y = \dot{h}_y = \dot{h}_z = \dot{w} = 0$$

$$c_n^2 = b^2 + \frac{H_x^2}{4\pi\rho_0} \quad (2.3)$$

Здесь индекс 0 в выражениях  $H_x^0, H_y^0$  опущен,  $a^2 = \frac{\gamma_0 + 2\gamma_1}{\rho_0}$ ,  $b^2 = \frac{\mu}{\rho_0}$ .

Уравнения (2.2) относятся к быстрым и медленным термомагнитоупру-  
гим волнам, уравнение (2.3) соответствует поперечной волне, которая при  
 $H=0$  совпадает с упругой поперечной волной, а при  $b=0$  совпадает с вол-  
ной Альфвена. Последние соотношения в (2.2), (2.3) дают уравнения ско-  
ростей волн. Те же уравнения (2.2), (2.3) имеют место и для величин воз-  
мущений параметров  $h_{xx}, h_{yy}, h_{zz}, w_{xy}, w_{xz}, w_{yz}$  за волной.

Для получения условий на нелинейной волне для полных уравнений (1.8), (2.1) следует заменить [6]  $\frac{\partial}{\partial t} = -i\delta, \frac{\partial}{\partial x_k} = i\lambda^2$ , где  $\lambda^2$  есть нек-  
тор единичной нормали к возмущенной волне. Тогда можно показать,  
что вблизи волн  $\omega_1, \omega_2$ , соответствующих в линейной задаче (2.2), про-  
изводные по  $z$  не дадут вклада в решение, а вблизи волны  $\omega_3$ , соот-

ветствующей в линейной задаче (2.3), в уравнениях выпадут члены, содержащие  $\delta v_s$ , а также нелинейные слагаемые.

Для волн  $k = k_{1,2}$  получим соотношения на характеристике

$$\left\{ \begin{aligned} & \lambda^2 - a^2 - k^2 \frac{\gamma_0 P_0}{\rho_0} + 2 \frac{A_1}{c_n} v_x - \frac{1}{c_n} \frac{\left( c_n^2 - a^2 - \frac{\gamma_0}{\rho_0} c_n^2 P_0 \right)^2}{H_y^2} 4\pi\rho_0 v_x + \\ & + \frac{\lambda_0 + \nu}{\rho_0} n_y \frac{H_y \left( c_n^2 - a^2 - \frac{\gamma_0}{\rho_0} c_n^2 P_0 \right)}{H_y (c_n^2 - b^2)} + \zeta v_x \Big| \delta v_x = \\ & = \frac{c_n}{4\pi\rho_0} H_y \delta h_x - \frac{c_n}{\rho_0} (\nu_0 - 2\lambda^2) \delta \frac{\partial v_x}{\partial x} \end{aligned} \right. \quad (2.4')$$

$$\begin{aligned} & (v_x^2 - b^2) \delta v_y + \left( -\frac{1}{c_n} 2A_1 v_x - \frac{\lambda_0 + \nu}{\rho_0} n_y - k^2 \frac{\gamma_0 P_0}{\rho_0} n_y + \gamma \nu_x \right) \delta v_x = \\ & = -\frac{c_n}{4\pi\rho_0} H_y \delta h_y - \frac{c_n}{\rho_0} (\nu_0) \delta \frac{\partial v_x}{\partial x} \\ & - \nu_x \left( H_y + \frac{v_x}{c_n} \frac{H_y^2}{H_y^2} \frac{c_n^2 - a^2 - \frac{\gamma_0}{\rho_0} c_n^2 P_0}{c_n^2 - b^2} + H_y \frac{v_x}{c_n} \right) + \\ & + H_y \delta v_y = -c_n \delta h_y - 2k \frac{\partial \delta v_x}{\partial x} \end{aligned} \quad (2.4'')$$

где

$$\begin{aligned} \nu &= 2P_0 (\gamma_0 - \gamma_1 - \gamma_2 P_2) \frac{c_n}{\rho_0} - \\ & - \frac{c_n \gamma_0}{\rho_0} \frac{T(\nu_1 - \nu_2) - 2\gamma_3 T P_0 c_n^2 - 2(\nu_0 + \nu_2) T \left( 1 - \frac{v_x^2}{c_n^2} \right) - c_n^2 \gamma_0 P_0}{c_n c - \frac{\nu_1}{\gamma_0}} \\ & = -2(\gamma_0 + \gamma_2) P_0 \frac{H_y}{H_y} \frac{c_n^2 - a^2 - \frac{\gamma_0}{\rho_0} c_n^2 P_0}{c_n^2 - b^2} \frac{c_n}{\rho_0} \end{aligned}$$

Значения  $A_0$ ,  $A_1$  соответствуют нелинейным слагаемым в формуле для сил  $F_s$ , причем согласно (1.12) получим, заменив  $v_y$  и  $h_y$  через  $v$ , по (2.2),

$$\frac{c_n}{\rho_0} F_s \approx \frac{1}{c_n} A_1 \delta v_x^2, \quad A_1 = \frac{1}{\rho_0} \left( \gamma - \frac{A}{4} \right) \frac{H_y^2 \left( c_n^2 - a^2 - \frac{\gamma_0}{\rho_0} c_n^2 P_0 \right)^2}{(c_n^2 - b^2)^2 H_y}.$$

$$+\frac{2\mu + A - 3B + \frac{3}{2}K + C}{\rho_0} \quad (2.5)$$

$$\frac{c_n}{\rho_0} F_y \approx -\frac{1}{c_n} A_s \lambda v_x^2$$

$$A_s = \frac{1}{\rho_0} \left( \frac{4\mu}{3} + \frac{A}{2} + K + B \right) \frac{H_x}{H_y} \frac{c_n^2 - a^2 - \frac{10}{\rho_0} c_n^2 P_0}{\frac{H_x^2}{4\pi\rho_0}}$$

Полагая  $\lambda = c_n + \lambda_0$ , где  $c_n$  удовлетворяет (2.2),  $\lambda_0$  — мало, учитываем, что  $\lambda$  есть нормаль к возмущенной волне, а  $H_x$ ,  $H_y$  — проекции  $H$  на нормаль и касательную к невозмущенной волне и вводим проекции  $H$  на нормаль и касательную к возмущенной волне, причем

$$H_x \approx H_n - H_1 n_y, \quad H_y \approx H_1 + H_n n_y \quad (2.6)$$

Введем, кроме того, нормальную скорость невозмущенной волны ( $c^3$ ), даваемую (2.2), где заменены  $H_1$ ,  $H_n$  на  $H_n$ ,  $H_1$ . Полагая еще  $c_n = c^3 + \lambda_0 v_x$ , получим  $v_x \lambda_0 = c_n - c^3 + \lambda$  и из уравнений (2.4), (2.5) дающих соотношение для  $\lambda$ , после упрощений получится уравнение

$$\begin{aligned} Dv^3 &= (c_n^2 - b^2) \frac{H_x^2}{4\pi\rho_0} + \left( c_n^2 - a^2 - \frac{10}{\rho_0} P_0 c_n^2 \right) \frac{H_x^2}{4\pi\rho_0} - \\ &- \frac{\frac{4}{3}\mu + \frac{A}{2} + K + B}{\rho_0} \frac{c_n^2 - a^2 - \frac{10}{\rho_0} P_0 c_n^2}{c_n^2 - b^2} \frac{H_x^2}{4\pi\rho_0} - \\ &- \frac{\mu + \frac{A}{4}}{\rho_0} \frac{c_n^2 - a^2 - \frac{10}{\rho_0} P_0 c_n^2}{c_n^2 - b^2} \frac{H_x^2}{4\pi\rho_0} - \\ &- \left( c_n^2 - b^2 - \frac{H_x^2}{4\pi\rho_0} \right) \frac{A - 3B + \frac{3}{2}\lambda_0 + C}{\rho_0} - \frac{c_n}{2} \left( c_n^2 - b^2 - \frac{H_x^2}{4\pi\rho_0} \right) + \\ &+ \frac{c_n}{2} \frac{H_x H_z}{4\pi\rho_0} + \frac{1}{c_n} D \frac{\frac{\partial^2 v_x}{\partial x^2}}{v_x \frac{\partial v_x}{\partial x}} \end{aligned} \quad (2.7)$$

ТАК

$$D = 2c_n^2 \left| 2c_n^2 - a^2 - b^2 - \frac{H_x^2}{4\pi\rho_0} - c_n^2 \frac{10P_0}{\rho_0} + \frac{c_n^2 - b^2 - \frac{H_x^2}{4\pi\rho_0}}{\left(1 - \frac{v_x}{c_n} c_n^2\right)^2} \frac{10P_0}{\rho_0} \right|$$

$$\begin{aligned}
 -2 \frac{1}{c_n} \Gamma D = c_n \left( c_n^2 - b^2 - \frac{H_s^2}{4\pi\rho_0} \right) \frac{\lambda^{(1)} + 2\lambda^{(2)}}{p_0} + \\
 + \frac{H_s^2}{4\pi\rho_0} c_n \frac{\lambda^{(2)}}{p_0} \frac{c_n^2 - a^2 - \frac{\gamma_0 P_0}{a} c_n^2}{c_n^2 - b^2} + \frac{1}{c_n} (c_n^2 - b^2) \left( c_n^2 - a^2 - \frac{1}{p_0} P_0 c_n^2 \right) \quad (2.8)
 \end{aligned}$$

Полагая в (2.7)  $\lambda^1 = \Lambda + \frac{\Gamma}{c_n} \frac{\frac{\partial^2 v_x}{\partial x^2}}{v_x \frac{\partial v_x}{\partial x}}$ , причем  $\Lambda$  дает значение коэффициента при  $v_x$  в нелинейной скорости волны и недиссипативной задаче, то есть при  $\Gamma = 0$ , подставляя (2.7) в (1.1), где  $v_x = u$ , можно получить для первого уравнения в (1.1) в задаче термомагнитоупругости вблизи волны  $\lambda_{1,2}$  следующий вид:

$$\begin{aligned}
 \frac{\partial u}{\partial t} - \frac{d \ln \Phi}{dt} u - \frac{1}{2} c_n \left( \frac{\partial^2 z}{\partial x^1} \frac{\partial v_x}{\partial x_2} + \frac{\partial^2 z}{\partial x_1^2} \frac{\partial v_x}{\partial x_2} + 2 \frac{\partial^2 z}{\partial x_1 \partial x_2} \frac{\partial v_x}{\partial x_2} \right) - \\
 = \frac{\Lambda \alpha}{c_n} \frac{\partial \alpha}{\partial z} + \Gamma \frac{\partial^2 u}{\partial x^2}, \quad dx = H_1 d\tau, \quad H_1 = c_n \quad (2.9)
 \end{aligned}$$

Сравним значение для  $\Lambda$  из (2.7) со значением, полученным в магнитной газодинамике [1]. Для членов порядка  $\frac{v_x^2}{\lambda^2}$  включительно имеет место  $\frac{\Lambda}{\mu} \approx 1 - \operatorname{div} \bar{u}$  вблизи волн (2.2) и эйлерон тензор напряжений в жидкости  $\tau_{ik} = -(P - P_0) \delta_{ik}$ , согласно уравнению аднабаты. В указанном порядке примет вид

$$P = P_0 \left( \frac{v}{v_0} \right)^n = P_0 \left( \frac{1}{1 - \operatorname{div} \bar{u}} \right)^n \approx P_0 - n P_0 \operatorname{div} \bar{u} - \frac{n(n-1)}{2} P_0 (\operatorname{div} \bar{u})^2$$

Лагранжев тензор напряжений выражается в виде [7]

$$\tau_{ik} = \frac{\rho_0}{\rho} \frac{\partial x_k}{\partial X_i} \tau_{ie}, \quad X_i = x_i + u_i, \quad \frac{\partial x_1}{\partial X_i} \approx \delta_{ei} - \frac{\partial u_k}{\partial x_i}$$

или поскольку вблизи волны  $\operatorname{div} \bar{u} \approx -\frac{v_x^2}{\lambda^2}$ ,

$$\tau_{ik} \approx -\frac{n P_0}{\lambda^2} \delta_{ik} - n P_0 \frac{n-1}{2} \frac{v_x^2}{\lambda^2} \delta_{ik} + \frac{v_x^2}{\lambda^2} n P_0 \delta_{ik} - n P_0 \frac{v_x u_k}{\lambda^2} v_x$$

Сравнивая со значением  $\tau_{ik}$  работы [3], стр. 297, (8.16), которое вблизи волн (2.2) имеет вид

$$\tau_{xx} = -\lambda_0 \frac{v_x}{\lambda} + \frac{A}{4} \frac{v_x^2}{\lambda^2} + \frac{v_x^2}{\lambda^2} \left( A + 3B - \frac{3}{2} \lambda_0 + C \right)$$

$$\tau_{yy} = -\tau_0 \frac{v_n}{k} + \frac{A}{4} \frac{v_n^2}{k^2} + \frac{v_n^2}{k^2} \left( \frac{i_0}{2} + B + C \right)$$

$$\tau_{xy} = \frac{A}{4} v_n v_u \frac{1}{k^2} + \left( \frac{A}{4} + B \right) \frac{\partial_y v_n}{k^2}$$

$$\tau_{yx} = \frac{A}{4} v_n v_u \frac{1}{k^2} + \frac{v_n v_u}{k^2} \left( \frac{A}{4} + i_0 - B \right)$$

получим значения постоянных

$$\begin{aligned} i_0 = n P_0, \quad \frac{A}{2} + B + i_0 &= 0, \quad A + 3B + \frac{3}{2} i_0 + C = -i_0 \frac{n+1}{2} - \\ &- \frac{A}{4} \frac{H_e^2 (k^2 - a^2)^2}{H_p^2 k^2} \end{aligned} \quad (2.10)$$

Подставляя в (2.7), получим при  $b = \mu = \tau^0 = \eta = \Gamma = 0$ ,

$$\lambda^1 = \lambda_1, \quad \lambda^2 = \frac{c_n^2 - \frac{H_e^2}{4\pi\mu_0}}{2c_n^2 - a^2 - \frac{H_e^2}{4\pi\mu_0}} \frac{n+1}{2} + \frac{c_n^2 - a^2}{2c_n^2 - a^2 - \frac{H_e^2}{4\pi\mu_0}} \quad (2.11)$$

что совпадает со значением, полученным в [1].

Для волны  $\lambda^1 = i_3$  имеет место по (2.3)  $\delta v_n = 0$ , и уравнения (1.11) дают условия на характеристике

$$-(b^2 - b^1) \delta v_z = \frac{1}{4\pi\mu_0} H_n \delta h_z = \frac{i_3}{\mu_0} \tau^{(1)} \frac{\partial^2 v_z}{\partial x^2}, \quad -i_3 h_z = H_n \delta v_z + \tau^0 \frac{\partial^2 h_z}{\partial x^2}$$

При  $\tau^{(1)} = 0$ ,  $\tau^0 = 0$  получится  $i_3^2 = b^1 + \frac{H_e^2}{4\pi\mu_0}$ , то есть скорость волны не зависит ни от температурных, ни от нелинейных эффектов. В общей задаче

$$v_z i^2 = -\frac{1}{2c_n^2} \frac{H_e^2}{4\pi\mu_0} \tau^{(1)} \frac{\partial^2 v_z}{\partial x^2} \frac{1}{\delta v_z} - \frac{1}{2v_0} i^{(1)} \frac{\partial^2 v_z}{\partial x^2} \frac{1}{\delta v_z}$$

где

$$v_z i^2 = i_3 - \sqrt{b^1 + \frac{H_e^2}{4\pi\mu_0}}$$

Учитывая, что для волны  $i_3$  величиной основного порядка является  $v_z$ , в первом уравнении (1.1) следует взять  $n = v_z$  и, подставляя  $\lambda^1$  в (1.1), можно получить

$$\begin{aligned} \frac{\partial v_z}{\partial t} - \frac{d \ln \Phi}{dt} v_z - \frac{1}{2} \left( \frac{\partial^2 a}{\partial x_1^2} \frac{\partial^2 v_z}{\partial x_1^2} + \frac{\partial^2 a}{\partial x_2^2} \frac{\partial^2 v_z}{\partial x_2^2} + 2 \frac{\partial^2 a}{\partial x_1 \partial x_2} \frac{\partial^2 v_z}{\partial x_1 \partial x_2} \right) = \\ = \frac{1}{2} \tau^0 \frac{H_e^2}{4\pi\mu_0} \frac{\partial^2 v_z}{\partial x^2} + \frac{1}{2} i^{(1)} \frac{1}{2v_0} \frac{\partial^2 v_z}{\partial x^2}, \quad dx = i_3 dz \end{aligned} \quad (2.12)$$

Как видно из (2.12), нелинейные члены выпали из уравнения (1.1) вблизи поперечной волны  $\lambda = \lambda_3$ .

3. Для определения лучевого решения  $\Phi$  в (1.1) применим к линейным уравнениям термомагнитоупругости (2.1) метод [8]. В целях общности можно рассмотреть анизотропную упругую среду, для которой при отсутствии температурных напряжений

$$\sigma_{ik} = a_{ikj\epsilon}, \quad a_{ikje} = a_{kife} = a_{ikfj} = \sigma_{jik} \quad (3.1)$$

В [8] рассмотрен лучевой метод для такой среды.

В задаче магнитотермоупругости имеем уравнения § 1

$$\frac{\partial^2 u_i}{\partial t^2} = -\frac{\partial b_{ikje}}{\partial x_k} + \frac{\partial H_j H_m}{\partial x_m} \frac{\partial u_i}{\partial x_j} - \frac{\partial H_i H_m}{\partial x_j} \frac{\partial u_i}{\partial x_m} - \tau^0 \frac{\partial \theta}{\partial x_i}$$

$$\nabla^2 \theta = \left( \frac{1}{c} \frac{\partial \theta}{\partial t} + \eta_i \frac{\partial^2 u_i}{\partial x_i \partial t} \right) + \frac{\partial}{\partial t} \left( \frac{1}{c} \frac{\partial \theta}{\partial t} + \eta_i \frac{\partial u_i}{\partial x_i \partial t} \right) \quad (3.2)$$

где

$$b_{ikje} = a_{ikje} - A_{ikje}$$

$$A_{ikje} = H_i H_e \delta_{kj} + H_k H_e \delta_{ij} - 2 H_i H_k \delta_{ej} - H_i H_e \delta_{ik} + H_k H_j \delta_{ij} \quad (3.3)$$

Следует отметить, что  $A_{ikje} = A_{kife}$ , но  $A_{ikje} \neq A_{ikef}$ ,  $A_{jeik} \neq A_{ikje}$ , то есть не все свойства симметрии коэффициентов  $a_{ikje}$  сохраняются для  $A_{ikje}$ , что несколько затрудняет применение лучевого подхода [8] к данной задаче.

Трудности представляет также и термоупругий член, что приводит к тому, что характеристическая форма  $A = \frac{1}{c} (b_{ikje} + \tau^0 P_i \delta_{ik} \delta_{ej})$

$\times S_i S_j \tau_k$ , где  $\tau_k = \frac{\partial \theta}{\partial x_k}$  — компоненты вектора нормали к волне,  $S_i$  —

координаты собственного вектора характеристической матрицы для уравнений (3.2), не является однородной функцией по  $\theta$ . Тем не менее, лучевой метод применим к (3.2), и в результате получается решение вдоль луча для вектора перемещения

$$u_i = S_i \Phi f_0(t - z), \quad \Phi = \frac{1}{V \sqrt{j}} e^{-\int \frac{K}{j} dz_L} \text{ const} \quad (3.4)$$

где  $S_i$  есть собственный вектор характеристической матрицы,  $j$  — функциональный определитель для перехода от декартовых к лучевым координатам, причем  $j = c_n \Sigma [6]$ ,  $\Sigma$  — площадь волны внутри заданной лучевой трубы,  $z_L$  — параметр вдоль луча, даваемый уравнением луча

$$\frac{dt}{dz_L} = \frac{\partial A}{\partial z_L}, \quad K = \frac{\frac{1}{c} \tau_{ik} (\tau_i S_k)^2}{\left( \frac{1}{c} - \frac{\tau_{ik}}{S_k} \right)^2}, \quad f_0(t - z)$$

дает профиль волны. Лишь для квадратичной однородной по  $\gamma$  зависимости, то есть в магнитоупругости,  $\gamma \frac{\partial A}{\partial z} = 1$ ,  $\gamma_0 = t$ . В частности, в одномерной задаче по  $x$  получится

$$\gamma_0 = \frac{1}{2} x \frac{1 - \frac{c^2}{x} c_n^2}{a^2 - c_n^2 \frac{b^2}{x}}$$

Для задачи магнитоупругости получится из (3.4)

$$\gamma \Phi^2 \sum c_n = \text{const} \quad (3.5)$$

что выражает закон сохранения энергии волнового фронта [9, 10]. Для определения  $\frac{\partial^2 a}{\partial \theta^2}$ ,  $\frac{\partial^2 a}{\partial \gamma^2}$ ,  $\frac{\partial^2 a}{\partial \theta \partial \gamma}$  в уравнениях (2.9), (2.12) следует использовать (1.2) и уравнения (2.2), (2.3) для скоростей волн  $c_n^{1,2}$  и  $c_n^{(D)}$ . Для волны  $c_n = c_n^{(D)}$  получится

$$\begin{aligned} \frac{\partial^2 a}{\partial \theta^2} &= c_n - 2 \frac{b^2}{c_n} - \frac{a_1^2 b^2}{c_n^3} - \frac{1}{c_n^3} (c_n^2 - b^2)^2 + \frac{1}{c_n^3} \frac{H_z^2}{4\pi\mu_0} b^2 \\ \frac{\partial^2 a}{\partial \gamma^2} &= c_n - 2 \frac{b^2}{c_n} - \frac{a_1^2 b^2}{c_n^3} - \frac{1}{c_n^3} (c_n^2 - b^2)^2 + \frac{1}{c_n^3} \frac{H_z^2}{4\pi\mu_0} b^2 \\ \frac{\partial^2 a}{\partial \theta \partial \gamma} &= -b^2 \frac{H_y H_z}{c_n^3 4\pi\mu_0}, \quad a_1^2 = \frac{H^2}{4\pi\mu_0} \end{aligned} \quad (3.6)$$

Для  $H_z = 0$ ,  $\frac{\partial^2 a}{\partial \theta \partial \gamma} = 0$ , то есть выбором осей  $y, z$  всегда можно (и в общей задаче) добиться выпадения из (1.1) смешанной производной. При  $b = 0$ , то есть в магнитной газодинамике, в уравнении (2.12) [10],

$$\frac{\partial^2 a}{\partial \theta^2} = \frac{\partial^2 a}{\partial \gamma^2} = \frac{\partial^2 a}{\partial \theta \partial \gamma} = 0.$$

Для волн  $c_n^{1,2}$ , даваемых (2.2), указанные коэффициенты несколько громоздки, однако в задаче магнитоупругости они упрощаются и принимают вид

$$\begin{aligned} \frac{\partial^2 a}{\partial \theta^2} &= \frac{c_n^2 a^2 - w_1}{c_n^3 a^3} \left[ (a^2 - b^2) a_1^2 - c^2 (a^2 + b^2 - a_1^2) - \frac{H_z^2}{4\pi\mu_0} (a^2 - b^2) \right] + \\ &\quad \frac{2c^2 (a^2 + a_1^2) b^2 a^2 - w_1 (c_n^4 - a^2 b^2 - a_1^2 b^2)}{c_n^3 a^3} \\ \frac{\partial^2 a}{\partial \theta \partial \gamma} &= (a^2 - b^2) \frac{H_y H_z}{4\pi\mu_0} \frac{c_n^3 a^2 - w_1}{c_n^3 a^3} \end{aligned} \quad (3.7)$$

причем формула для  $\frac{\partial^2 \mathbf{z}}{\partial t^2}$  имеет то же выражение, что и  $\frac{\partial^2 \mathbf{z}}{\partial t^2}$ , где заменено  $H_z$  на  $H_x$ .

$$\mathbf{m} = c_n^2 - c_n^2 (a^2 + b^2 + a_1^2) - b^2 (a^2 - a_1^2)$$

$$\nu = 6c_n^2 - a^2 - a_1^2 - b^2$$

Остается выяснить смысл величин  $v_{x_1}$ ,  $v_{x_2}$ , фигурирующих в (1.1), для задачи магнитоупругости вблизи волн  $\lambda_{1,2}$ . Из уравнения индукции в проекции на ось  $x$ ,  $z$  и уравнения движения в проекции на ось  $z$  в (2.1) можно найти после упрощения

$$\begin{aligned} & -c_n \frac{\partial h_z}{\partial x} = H_x \frac{\partial v_x}{\partial y} - H_z \frac{\partial v_y}{\partial y} \\ & -c_n \frac{\partial h_z}{\partial x} = H_z \frac{\partial v_x}{\partial x}, \quad b = P_0 c_n v_x \\ & -\frac{\partial K}{\partial x} = \left( \frac{n}{\gamma_0} - c_n^2 + \frac{3k}{\gamma_0} P_0 c_n^2 \right) \frac{\partial v_z}{\partial z} - \frac{\gamma_0}{\gamma_0} \frac{\partial b}{\partial z} c_n \end{aligned} \quad (3.8)$$

где  $K = \left( c_n^2 - b^2 - \frac{H_z^2}{4\pi\rho_0} \right) v_x$ .

Используя (2.2) и обозначая  $v_x = \frac{\partial \mathbf{v}}{\partial x}$ , окончательно можно получить, что в (1.1)  $v_{x_1} = \frac{\partial \mathbf{v}}{\partial y} = \frac{\partial \mathbf{z}}{\partial x_2}$ ,  $v_{x_2} = \frac{\partial \mathbf{z}}{\partial z} = \frac{\partial \mathbf{z}}{\partial x_3}$

$$\begin{aligned} h_x &= -\frac{1}{c_n} H_x - \frac{c_n^2 - b^2}{c_n^2 - b^2 - \frac{H_z^2}{4\pi\rho_0}} \frac{\partial \mathbf{v}}{\partial y}, \quad h_z = -\frac{H_z}{c_n} v_x \\ v_x &= -\frac{c_n^2 - b^2}{c_n^2 - b^2 - \frac{H_z^2}{4\pi\rho_0}} \frac{\partial \mathbf{z}}{\partial z} \end{aligned} \quad (3.9)$$

откуда ясен смысл  $v_{x_1}$ ,  $v_{x_2}$ , причем термические эффекты не влияют на (3.9). Таким образом, получены упрощенные нелинейные уравнения (1.1), (1.9) вблизи волн  $\lambda_{1,2}$  и (2.12) вблизи волны  $\lambda_3$ .

4. Определим теперь нелинейные уравнения вблизи волн  $\lambda_1$ ,  $\lambda_2$ , близких по свойствам магнитоупругим волнам и соответствующих колебаниям низкой частоты, что дает низшие производные в (1.10). Из (1.10) получим в основном порядке

$$\frac{1}{\chi} \frac{\partial b}{\partial t} + \gamma \frac{\partial \operatorname{div} \mathbf{v}}{\partial t} = 0, \quad \delta b = \frac{16T}{c_n^2} \delta v, \quad (4.1)$$

Тогда в линейном решении вблизи волн получится  $\dot{\gamma}_{0,5} = c_n$ ,

$$\begin{aligned}\dot{\gamma}_{0,y} &= \frac{1}{c_n} \frac{c_n^2 - a^2 - \frac{\gamma_0^2 T}{\rho_0 c}}{\frac{H_x}{4\pi\rho_0}} \dot{\gamma}_{0,y} \\ \dot{\gamma}_{0,y} &= -\frac{H_x}{H_z} \frac{c_n^2 - a^2 - \frac{\gamma_0^2 T}{\rho_0 c}}{c_n^2 - b^2} \dot{\gamma}_{0,z}, \quad \dot{\gamma}_{0,z} = \dot{\gamma}_{0,x} = \dot{\gamma}_{0,y} = 0 \quad (4.2)\end{aligned}$$

где для скорости волны  $c_n$  имеет место

$$c_n^2 - a^2 - \frac{\gamma_0^2 T}{\rho_0 c} = \frac{\frac{H_x^2}{4\pi\rho_0} (c_n^2 - b^2)}{c_n^2 - b^2 - \frac{H_x^2}{4\pi\rho_0}} \quad (4.3)$$

В основном порядке из (1.10) и (4.1)  $\operatorname{div} \vec{q} = \dot{\gamma}_1 \vec{v} \cdot \vec{q}_1$ ,

$$\ddot{\theta} = \frac{T_{10}}{c} \dot{\gamma}_{0,y} + \dot{\gamma}_{0,x} \dot{\gamma}_{0,z} - \frac{1}{c^2 c_n^2} T \dot{\gamma}_0 \dot{\gamma}_1 \nabla^2 \vec{v}_x + \frac{T_{10}}{cc_n} \dot{\gamma}_0 \dot{\gamma}_{0,y} \quad (4.4)$$

где  $\chi = -\frac{T}{cc_n^2} \left( 2\dot{\gamma}_0 - v_1 + \frac{2\dot{\gamma}_0 T_{10}}{c} + \frac{\gamma_0^2}{c} \right) - \frac{2T_{10} + T_{20}}{cc_n^2} \frac{v_1 \dot{\gamma}_{0,y}}{v_1 \dot{\gamma}_{0,z}}$ , причем

$\frac{v_1}{v_0}$  дается (4.2).

Повторяя выкладки § 2, получим  $c_n = c^2 - \lambda^2 v_x$

$$\begin{aligned}D_1 \lambda^2 &= (c_n^2 - b^2) \frac{H_x^2}{4\pi\rho_0} + \left( c_n^2 - a^2 - \frac{\gamma_0^2 T}{\rho_0 c} \right) \frac{H_x^2}{4\pi\rho_0} - \\ &- \frac{\frac{7}{3} A + \frac{3A}{4} + K + B}{\dot{\gamma}_0} \frac{c_n^2 - a^2 - \frac{\gamma_0^2 T}{\rho_0 c}}{c_n^2 - b^2} \frac{H_x^2}{4\pi\rho_0} - \\ &- \left( c_n^2 - b^2 - \frac{H_x^2}{4\pi\rho_0} \right) \frac{A + 3B + \frac{3}{2} \dot{\gamma}_0 + C}{\dot{\gamma}_0} + \\ &+ \frac{\gamma_0}{2} \frac{\dot{\gamma}_0}{c_n} c_n^2 \left( c_n^2 - b^2 - \frac{H_x^2}{4\pi\rho_0} \right) - \frac{\dot{\gamma}_0 c_n}{2} \left( c_n^2 - b^2 - \frac{H_x^2}{4\pi\rho_0} \right) + \\ &+ \frac{\dot{\gamma}_0 c_n}{2} \frac{H_x H_y}{4\pi\rho_0} + \Gamma_1 D_1 \frac{\frac{\partial^2 v_x}{\partial x^2}}{v_1 \frac{\partial v_x}{\partial x}} \quad (4.5)\end{aligned}$$

где

$$\begin{aligned} \gamma_3 &= \left( -\frac{\gamma_0 - \gamma_1}{c_n} \frac{\gamma_0 T}{c} + \gamma_3 \frac{\gamma_0^2 T^2}{c^2 c_n^2} \right) \frac{c_n}{\gamma_0} \\ \gamma_4 &= -2(\gamma_0 + \gamma_1) \frac{\gamma_0 T}{\gamma_0 c c_n} \frac{H_s}{H_s} \frac{c_n^2 - a^2 - \frac{\gamma_0^2 T^2}{\gamma_0 c}}{c_n^2 - b^2} \\ D_1 &= c_n^2 \left( 2c_n^2 - a^2 - b^2 - \frac{H_s^2}{4\pi\gamma_0} - \frac{\gamma_0^2 T^2}{\gamma_0 c} \right) \\ -2D_1\Gamma_1 &= c_n^2 \left( c_n^2 - b^2 - \frac{H_s^2}{4\pi\gamma_0} \right) \frac{\lambda^{(1)} + 2\lambda^{(2)}}{\gamma_0} + \\ &+ \frac{H_s^2}{4\pi\gamma_0} c_n^2 \frac{\lambda^{(4)}}{\gamma_0} \frac{c_n^2 - a^2 - \frac{\gamma_0^2 T^2}{\gamma_0 c}}{c_n^2 - b^2} + (c_n^2 - b^2) \left( c_n^2 - a^2 - \frac{\gamma_0^2 T^2}{\gamma_0 c} \right) \gamma_0 \quad (4.6) \end{aligned}$$

Полагая в (4.5)  $\lambda^1 = \Lambda_1 + \frac{\Gamma_1}{c_n} \frac{\partial v_x}{\partial x}$ , причем  $\Lambda_1$  дает значение  $\lambda^1$  при

$\Gamma_1 = 0$ , подставляя (4.5) в (1.1), где  $v_x = u$ , можно для первого уравнения в (1.1) в задаче вязкотермомагнитоупругости вблизи волн  $\omega_{4,5}$  получить

$$\begin{aligned} \frac{\partial u}{\partial t} - \frac{d \ln \Phi}{dt} u - \frac{1}{2} c_n \left( \frac{\partial^2 u}{\partial x^2} \frac{\partial v_x}{\partial x} - \frac{\partial^2 u}{\partial x^2} \frac{\partial v_x}{\partial x_3} - 2 \frac{\partial^2 u}{\partial \rho \partial \gamma} \frac{\partial v_x}{\partial x_3} \right) = \\ = \frac{\Lambda_1 u}{c_n} \frac{\partial \Phi}{\partial \gamma} + \Gamma_1 \frac{\partial \tilde{\Phi} u}{\partial x^2}, \quad dx = c_n d\tau \quad (4.7) \end{aligned}$$

где  $\Lambda_1, \Gamma_1$  даются (4.5), (4.6). Мы видим, что для волн  $\omega_{4,5}$  параметр  $\gamma_0$  не влияет на вид уравнения (4.7), что также отмечено в [11, 12], в то время как  $\lambda_1$  входит как эффект диффузии волны наряду с вязкими коэффициентами  $\lambda^{(1)}, \lambda^{(2)}$  и  $\lambda^{(4)}$ . Смысл величин  $v_{x_1}, v_x$ , как видно из (3.9), не зависит от температурных эффектов, поэтому  $v_{x_1}, v_x$  даются и здесь (3.9).

Значение лучевого решения совпадает с магнитоупругим и дается (3.5), только вместо  $a^2$  нужно писать  $a^2 + \frac{\gamma_0^2 T^2}{\gamma_0 c}$ . Наконец, коэффициенты  $\frac{\partial^2 u}{\partial \rho^2}, \frac{\partial^2 u}{\partial \gamma^2}, \frac{\partial^2 u}{\partial \rho \partial \gamma}$  в (4.7) совпадают с магнитоупругими (3.7), где  $a^2$  заменяется вышеуказанным способом. Таким образом, получены упрощенные нелинейные уравнения движения термомагнитоупругой среды (1.1), которые конкретизированы в виде (2.9), (2.7), (2.8), (3.4), (3.7) для волн  $\omega_{1,2}$ , в виде (2.12), (3.6), (3.5) для волны  $\omega_3$  и в виде (4.5), (4.6), (4.7), (3.7) для волн  $\omega_{4,5}$ .

## Б. Г. БАГДОЕВ

**ՄԱՆՈՒՑԻԿ ԶԵՐՄԱԾՄԱԴՆԱՎՈՐՄԱՆ ՇՐՋԱՎԱՅՐԻ ՈՉ ԳԽԱՅԻ  
ՀԱՎԱՍԱՐՈՒՄՆԵՐԸ ԱՎ-ԲՆԵՐԻ ՃՈԿԱՏՆԵՐԻ ՄԱՏ**

Ամփոփում

Արոշված են մածուցիկ շիրմամաղնիսուառագական միջավայրի շարժման պարամետրները թույյ հարվածային ալիքների շրջակայրում։ Մոտացված են պարզացրած հավասարումները, որոնք նկարագրում են պարամետրների փոփոխությունները դանդաղ և արագ շերմառուածական, ձևափոխված ալիքներն զանդաղ և արագ ձևափոխված մագնիսուառագական ալիքների մոտ։

**THE EQUATIONS OF VISCOS THERMOMAGNETOELASTIC  
NONLINEAR MEDIUM NEAR THE WAVE FRONTS**

A. G. BAGDOEV

Summary

The problem of determination of the parameters of medium motion near a wave for a viscous thermomagnetoelastic medium is considered. The simplified equations, describing the neighbourhood of fast and slow thermoelastic, modified Alfen waves as well as of fast and slow modified magnetoelastic waves, are derived.

Л И Т Е Р А Т У Р А

1. Багдоев А. Г., Диноян З. Н. Исследование движения среды в окрестности точки кипения ударных волн. Ж. вычисл. матем. и физики, т. 12, № 6, 1972.
2. Багдоев А. Г., Диноян З. Н. Выход нелинейных уравнений движения среды вблизи волн. Изв. АН Арм. ССР. Механика, т. XXV, № 1, 1972.
3. Зарембо А. К., Красильников В. А. Введение в нелинейную акустику. Изд. „Наука“, М., 1966.
4. Ноопукки В. Динамические задачи термоупругости. „Мир“, М., 1970.
5. Рахматуллин Х. А., Стюмонян А. Я., Бунимович А. И., Зверев И. Н. Газовая динамика. Изд. „Высшая школа“, М., 1965.
6. Jeffrey A., Tarulli T. Nonlinear wave propagation, New-York, 1964.
7. Бленд А. Нелинейная динамическая теория упругости. „Мир“ М., 1972.
8. Бабич В. М. Лучевой метод для анизотропной упругой среды. Вопросы динамической теории. А., т. V, 1961.
9. Рыжов О. С., Шефтер Г. П. Об энергии звуковых волн. ПММ, т. XXVI, в. 5, 1962.
10. Минасян М. М. О распространении слабых возмущений в магнитной газодинамике. Докл. АН Арм. ССР, т. LV, № 5, 1972.
11. Ницук У. К., Энгельбрехт Ю. К. Нелинейные и линейные переходные волновые процессы. Изд. АН Эстонской ССР, Таллин, 1972.
12. Попов Е. Б. Динамическая связная задача термоупругости. ПММ, № 2, 1967.

Р. М. КИРАКОСЯН

## О СВЯЗИ МЕЖДУ РЕШЕНИЯМИ КРАЕВОЙ ЗАДАЧИ ДЕФОРМИРУЕМОГО ТЕЛА, ПОЛУЧЕННЫМИ В УПРУГОЙ И УПРУГО-ПЛАСТИЧЕСКОЙ ПОСТАНОВКАХ

В рамках соотношений теории малых упруго-пластических деформаций в геометрически линейной постановке рассматривается равновесие тел при смешанных краевых условиях. С помощью минимальных принципов краевой задачи при подходящем выборе статически и кинематически возможных распределений напряжений и деформаций получены некоторые неравенства, связывающие решения краевой задачи в упругой и упруго-пластической постановках.

1. В прямоугольной декартовой системе координат  $x_i$  рассмотрим тело объема  $V$ , находящееся под действием массовых сил  $X_i$ , поверхностных нагрузок  $p_i$ , приложенных на части поверхности тела  $S_p$ , и перемещений  $u_i$ , заданных на остальной части поверхности  $S_u$ .

В качестве физических соотношений принимаются уравнения теории малых упруго-пластических деформаций упрочняющегося материала при только активных процессах деформирования [1] во всей среде

$$\begin{aligned} \sigma_i &= K \varepsilon_i \\ \sigma_i &= 3G \varepsilon_i [1 - \omega(\varepsilon_i)] \end{aligned} \quad (1.1)$$

Здесь  $\sigma$  — среднее гидростатическое давление,  $\varepsilon$  — объемная деформация,  $\varepsilon_i$  и  $\varepsilon_{ij}$  — интенсивности касательных напряжений и деформаций сдвига,  $K$  и  $G$  — постоянные, определяющие материал с точностью обобщенного закона Гука.

Отклонение связи между напряжениями и деформациями от линейного закона характеризуется функцией  $\omega(\varepsilon_i)$ , которая удовлетворяет условиям упрочнения

$$1 - \omega(\varepsilon_i) \frac{d\omega}{d\varepsilon_i} > 0, \quad \frac{d\omega}{d\varepsilon_i} > 0 \quad (1.2)$$

С помощью (1.1) связь между компонентами напряжений  $\sigma_{ij}$  и деформаций  $\varepsilon_{ij}$  можно представить в виде

$$\begin{aligned} \sigma_{ij} &= \sigma_{ii} + \sigma_{jj}, \quad \sigma_{ij} = \sigma_{ji} = \sigma_{ij} \\ \varepsilon_{ij} &= A_{ijkl} \varepsilon_{kl}, \quad \varepsilon_{ij} = \bar{A}_{ijkl} \varepsilon_{kl}, \quad \varepsilon_{ij} = A_{ijkl}^{-1} \varepsilon_{kl}, \quad \varepsilon_{ij} = A_{ijkl}^{-1} \varepsilon_{kl} \end{aligned} \quad (1.3)$$

где  $\varepsilon_{ij}$  и  $\varepsilon_{kl}$  — упругая и пластическая составляющие тензора деформаций,  $A_{ijkl}$  и  $\bar{A}_{ijkl}$  — тензоры упругих коэффициентов и модулей уп-

ругости материала. Тензор  $\bar{A}_{ijk}$  получается из тензора  $A_{ijk}$  путем замены коэффициента Пуассона  $\nu$  и модуля Юнга  $E$  через

$$\bar{\nu} = 1/2, \quad \bar{E} = \frac{3G(1-\bar{\nu})}{10} \quad (1.4)$$

Очевидно, что в рассмотренной постановке упруго-пластическая краевая задача ничем не отличается от соответствующей краевой задачи нелинейной теории упругости.

В силу однозначной разрешимости краевой задачи минимальные принципы для напряжений и деформаций приобретают абсолютный характер.

Это означает, что сопряженная полная потенциальная энергия<sup>\*)</sup>

$$\bar{\Pi}^* = \int_v \left[ \int_0^{\sigma_{ij}^*} \varepsilon_{ij} d\sigma_{ij} \right] dv - \int_{s_p} \sigma_{ij}^* n_j u_i ds \quad (1.5)$$

и полная потенциальная энергия

$$\bar{\Pi}^0 = \int_v \left[ \int_0^{\sigma_{ij}^0} \varepsilon_{ij} d\sigma_{ij} \right] dv - \int_v X_i u_i^0 dv - \int_{s_p} P_i u_i^0 ds \quad (1.6)$$

определенные соответственно для всех статически возможных напряжений  $\sigma_{ij}^*$  и для всех кинематически возможных деформаций  $\varepsilon_{ij}^0$  своим абсолютно минимальные значения получают только при истинных напряжениях  $\sigma_{ij}^*$  и истинных деформациях  $\varepsilon_{ij}^0$ .

С помощью (1.3) дополнительную работу деформаций

$$\bar{A}^* = \int_v \left[ \int_0^{\sigma_{ij}^*} \varepsilon_{ij} d\sigma_{ij} \right] dv \quad (1.7)$$

соответствующую статически возможным напряжениям  $\sigma_{ij}^*$ , и работу кинематически возможных деформаций  $\varepsilon_{ij}^0$

$$A^0 = \int_v \left[ \int_0^{\sigma_{ij}^0} \varepsilon_{ij} d\sigma_{ij} \right] dv \quad (1.8)$$

Можно представить в виде

$$\bar{A}^* = A^{*'} - \Delta \bar{A}^{*''}, \quad A^0 = A^{0'} - A^{0''} \quad (1.9)$$

где принятые обозначения

<sup>\*)</sup> Для простоты сохранена терминология теории упругости.

$$\bar{A}^{**} = \frac{1}{2} \int A_{ijkl} z_{hk}^* z_{ij}^* dv \quad (1.10)$$

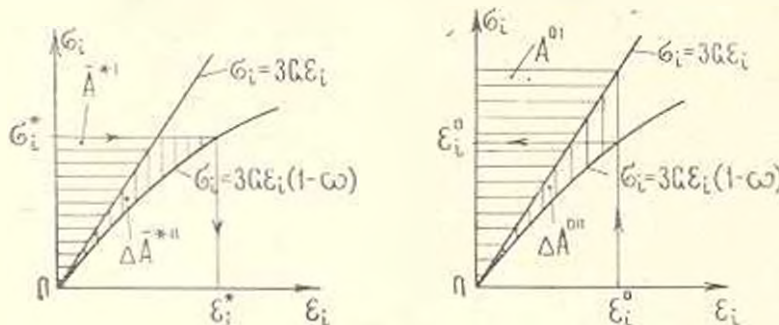
$$A^{**} = \frac{1}{2} \int A_{ijkl} z_{hk}^* z_{ij} dv \quad (1.11)$$

$$\Delta \bar{A}^{**} = \int_v \left[ \int_0^{z_{ij}} z_{ij} d\sigma_{ij} \right] dv \quad (1.12)$$

$$\Delta A^{**} = \int_v \left[ \int_0^{z_{ij}^0} A_{ijkl} z_{hk}^* dz_{ij} \right] dv \quad (1.13)$$

Здесь  $\bar{A}^{**}$  и  $A^{**}$  — дополнительная работа и работа деформаций, которые соответствуют статически возможным напряжениям  $\sigma^*$  и кинематически возможным деформациям  $z_{ij}^0$  по обобщенному закону Гука, а  $\Delta \bar{A}^{**}$  и  $\Delta A^{**}$  — их поправки из-за нелинейности физических соотношений.

На плоскости  $\sigma_i$ ,  $\varepsilon_i$  (фиг. 1) даны механические изображения представлений (1.9) для единичного объема.



Фиг. 1.

Из минимального принципа для напряжений, когда в качестве статически возможного распределения выбрано распределение напряжений классической теории упругости  $\sigma^{(e)}$ , получим

$$\begin{aligned} \frac{1}{2} \int A_{ijkl} z_{hk}^{(e)} z_{ij}^{(e)} dv - \Delta \bar{A}^{(e)*} - \int_s m_j u_{j0} ds = \\ - \frac{1}{2} \int A_{ijkl} z_{hk} z_{ij} dv - \Delta \bar{A}^* - \int_s z_{ij} n_j u_{i0} ds \geq 0 \end{aligned} \quad (1.14)$$

С другой стороны, из минимального принципа краевой задачи классической теории упругости в случае, когда в качестве статически возможного принято действительное распределение напряжений упруго-пластической краевой задачи  $\varepsilon_{ij}$ , следует

$$\frac{1}{2} \int_A A_{ijkl} \sigma_{hk} \varepsilon_{ij} dv - \int_{S_a} v_{ij} n_j u_i ds - \frac{1}{2} \int_A A_{ijkl} \varepsilon_{ij}^* \varepsilon_{ij}^* dv + \int_{S_a} v_{ij}^* n_j u_i ds \geq 0 \quad (1.15)$$

Складывая неравенства (1.14) и (1.15), приходим к результату

$$\Delta A'' \geq \Delta \bar{A}'' \quad (1.16)$$

Таким образом, действительная поправка к дополнительной работе  $\Delta \bar{A}''$  не больше, чем та, которая соответствует напряжениям классической теории упругости  $\varepsilon_{ij}$ .

Аналогичным образом из минимальных принципов деформаций для поправки к работе деформаций  $\Delta A''$  можно получить неравенство обратного смысла

$$\Delta A'' \geq \Delta A^{(e)''} \quad (1.17)$$

то есть действительная поправка к работе деформаций  $\Delta A''$  не меньше, чем та, которая соответствует деформациям классической теории упругости  $\varepsilon_{ij}$ .

Очевидно, что значения поправок к дополнительной работе  $\Delta \bar{A}''$  и работе деформаций  $\Delta A''$  могут играть роль своеобразных интегральных критериев развития пластического деформирования во всем теле. С этой точки зрения неравенства (1.16) и (1.17) позволяют на базе краевой задачи классической теории упругости получить односторонние интегральные оценки сверху и снизу пластического деформирования во всем теле.

Целесообразно неравенствам (1.16) и (1.17) придать удельный характер, разделив их на объем тела  $v$ ,

$$0 \leq \frac{1}{v} \int_v \left[ \int_0^{z_{ij}} \varepsilon_{ij} d\varepsilon_{ij} \right] dv \leq \frac{1}{v} \int_v \left[ \int_0^{z_{ij}^{(e)}} \varepsilon_{ij} d\varepsilon_{ij} \right] dv$$

$$\frac{1}{v} \int_v \left[ \int_0^{z_{ij}} A_{ijkl}^{-1} \tau_{hk} d\tau_{hk} \right] dv \geq \frac{1}{v} \int_v \left[ \int_0^{z_{ij}} A_{ijkl}^{-1} \varepsilon_{hk} d\varepsilon_{hk} \right] dv \quad (1.18)$$

2. На основе уравнения виртуальных работ для самоуравновешенной разности напряжений  $\tau_{ij}$  —  $\varepsilon_{ij}$  и совместных деформаций  $\varepsilon_{ij}$ , которым на  $S_a$  отвечают перемещения  $u_i$ , справедливо равенство

$$\int_v [\sigma_{ij} - \sigma_{ij}^{(e)}] \varepsilon_{ij} dv = \int_v [\sigma_{ij} - \sigma_{ij}^{(e)}] n_j u_{iv} ds \quad (2.1)$$

Имея в виду (2.1) и представление

$$\int_v A_{ij} \sigma_{kl} \varepsilon_{kl} \varepsilon_{ij} dv = \int_v \sigma_{ij} \varepsilon_{ij} dv = \int_v \varepsilon_{ij} (\sigma_{ij} - \sigma_{ij}^{(e)}) dv \quad (2.2)$$

из (1.15) получим

$$I > \int_v \varepsilon_{ij} \sigma_{ij}^{(e)} dv \quad (2.3)$$

где

$$I = \int_v [2\sigma_{ij}^{(e)} \varepsilon_{ij} - \sigma_{ij} \varepsilon_{ij} - \sigma_{ij}^{(e)} \varepsilon_{ij}^{(e)}] dv \quad (2.4)$$

Так как

$$\sigma_{ij} \varepsilon_{ij}^{(e)} \geq 0 \quad (2.5)$$

из (2.3) следует

$$I > 0 \quad (2.6)$$

Вычитая из (2.6)

$$\int_v [\varepsilon_{ij} - \varepsilon_{ij}^{(e)}] [\varepsilon_{ij} - \varepsilon_{ij}^{(e)}] dv = 0 \quad (2.7)$$

получим

$$\int_v [\varepsilon_{ij}^{(e)} \varepsilon_{ij} - \varepsilon_{ij} \varepsilon_{ij}^{(e)}] dv = 0 \quad (2.8)$$

Рассмотрим частные случаи:

а) случай защемленного тела ( $u_{iv} = 0$  на  $s_a$ ).

В этом случае

$$\int_v [\varepsilon_{ij} - \varepsilon_{ij}^{(e)}] \varepsilon_{ij} dv = 0 \quad (2.9)$$

Вычитая из (2.6) два раза (2.9) и имея в виду уравнение виртуальных работ, приходим к результату

$$\int_v [\varepsilon_{ij} \varepsilon_{ij} - \varepsilon_{ij}^{(e)} \varepsilon_{ij}^{(e)}] dv = \int_v X_i [u_i - u_i^{(e)}] dv + \int_s P_i [u_i - u_i^{(e)}] ds \geq 0 \quad (2.10)$$

6) случай штампов, когда отсутствуют массовые силы в объеме тела и поверхности нагрузки на  $s_p$ . Тогда

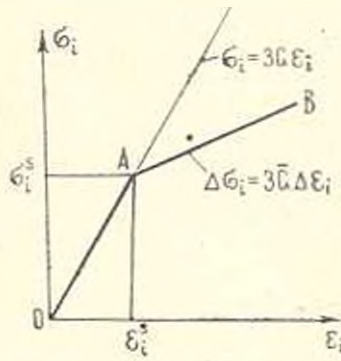
$$\int_v z_i^{(e)} \{z_{ij} - \varepsilon_i^{(e)}\} dv = 0 \quad (2.11)$$

и с учетом (2.6) получим

$$\int_v [z_i^{(e)} z_{ij}^{(e)} - z_{ij} \varepsilon_{ij}] dv = \int_{s_u} [z_{ij}^{(e)} - z_{ij}] n_i u_{i0} ds > 0 \quad (2.12)$$

Отметим, что аналогичные вопросы без каких-либо осложнений можно рассмотреть как с учетом нелинейности связи между объемной деформацией и средним гидростатическим давлением, так и с учетом изменения температуры тела.

3. Хотя и вычисление значений удельных поправок, соответствующих решениям краевой задачи по классической теории упругости, не связано со специальными трудностями, целесообразно пользоваться упрощенными схемами физических соотношений. Здесь уместно отметить, что, конкретизируя физические соотношения, можно получить двусторонние одинаковые оценки для дополнительной работы и работы деформаций. Проиллюстрируем это на примере кусочно-линейной зависимости между интенсивностями касательных напряжений и деформаций сдвига.



Фиг. 2.

Пусть [1] (фиг. 2)

$$\begin{aligned} z_i - z_i^* &= 3G(1-\lambda)(\varepsilon_i - \varepsilon_i^*), \quad (\lambda = \text{const}) \\ z_i^{(e)} - z_i^* &= 3G(\varepsilon_i^{(e)} - \varepsilon_i^*) \end{aligned} \quad (3.1)$$

Тогда неравенства (1.18) примут вид

$$\frac{1}{v} \int_{v_p} (z_i - z_i^*)^2 dv \leq \frac{1}{v} \int_{v_p^{(e)}} (z_i^{(e)} - z_i^*)^2 dv$$

$$\frac{1}{v} \int_{v_p}^v (z_i - z_i^s)^2 dv \geq \frac{1}{v} \int_{v_p^{(e)}}^v (z_j^{(e)} - z_j^s)^2 dv \quad (3.2)$$

Здесь  $v_p$  — часть объема тела, где действительные пластические деформации отличны от нуля ( $z_i > z_i^s$ ),  $v_p^{(e)}$  — та часть, в которой отличны от нуля пластические деформации, вычисленные по напряжениям классической теории упругости ( $z_j^{(e)} > z_j^s$ ).

С учетом (3.1) первое неравенство (3.2) запишем в виде

$$\frac{(1-\lambda)^2}{v} \int_{v_p}^v (z_i - z_i^s)^2 dv \leq \frac{1}{v} \int_{v_p^{(e)}}^v (z_j^{(e)} - z_j^s)^2 dv \quad (3.3)$$

Разделив обе части (3.3) на  $(1-\lambda)^2$  и присоединив полученное со вторым неравенством (3.2), приходим к следующей двусторонней оценке для работы деформаций:

$$A = \frac{1}{v} \int_{v_p^{(e)}}^v (z_i^{(e)} - z_i^s)^2 dv \leq \frac{1}{v} \int_{v_p}^v (z_i - z_i^s)^2 dv \leq \frac{1}{v(1-\lambda)^2} \int_{v_p}^v (z_j^{(e)} - z_j^s)^2 dv = B \quad (3.4)$$

Используя соотношения (3.1), неравенствам (3.4) можно придать другой вид, записывая их в терминах напряжений

$$C = \frac{(1-\lambda)^2}{v} \int_{v_p^{(e)}}^v (z_i^{(e)} - z_i^s)^2 dv \leq \frac{1}{v} \int_{v_p}^v (z_i - z_i^s)^2 dv \leq \frac{1}{v} \int_{v_p}^v (z_i^{(e)} - z_i^s)^2 dv = D \quad (3.5)$$

Очевидно, оценки (3.4) и (3.5) идентичны.

Эти оценки дают возможность на базе решений классической теории упругости сравнивать совершение разные задачи и иногда определять, какой задаче более интенсивно развит процесс действительного пластического деформирования в среднем. Например, если в одной задаче интервал  $AB$  ( $CD$ ) на числовой оси целиком находится правее аналогичного интервала другой задачи  $A_1B_1$  ( $C_1D_1$ ), то, очевидно, средний уровень развития процесса пластического деформирования в этой задаче более высок.

Полезно заметить, что ширина вилки  $AB$  ( $CD$ ) при таком сравнении никакого значения не имеет, так как относительное расхождение ее границ не зависит от характера задачи и для данного материала всегда одинаково

$$\frac{A}{B} = \frac{C}{D} = (1-\lambda)^2 \quad (3.6)$$

Варьируя способ приложения одних и тех же внешних воздействий, с помощью двусторонних оценок (3.4) можно добиться более удачного нагружения данного тела в смысле рационального использования материала.

Рассмотрим кручение сплошного круглого цилиндра радиуса  $R$ . Обозначая угол закручивания на единицу длины цилиндра вокруг его оси — через  $\alpha$ , а радиус поверхности раздела упругой и пластической области — через  $a$ , на основе гипотезы [2]

$$\varepsilon_x = \varepsilon_y = \varepsilon_z = \varepsilon_{xy} = 0, \quad \varepsilon_{yz} = \alpha x, \quad \varepsilon_{zx} = -\alpha y \quad (3.7)$$

имеем

$$\varepsilon_i = \frac{2r}{\sqrt{3}}, \quad \sigma_i = \begin{cases} \sqrt{3} Gar, & 0 \leq r \leq a \\ \sqrt{3} Gar \left[ 1 - \lambda \left( 1 - \frac{a}{r} \right) \right], & a \leq r \leq R \end{cases} \quad (3.8)$$

При этом связь между углом закручивания  $\alpha$  и крутящим моментом  $M$  выражается формулой

$$M = \frac{\pi^2 G}{2} R^4 (1 - \lambda k), \quad k = 1 - \frac{4}{3} \frac{a}{R} + \frac{1}{3} \frac{a^4}{R^4} \quad (3.9)$$

Из решения задачи по классической линейно-упругой теории при том же значении крутящего момента (3.9) находим

$$\begin{aligned} \tau_i^{(e)} &= \frac{\varepsilon_i^{(e)} r}{\sqrt{3}} = \varepsilon_i (1 - \lambda k) \\ \tau_i^{(e)} &= \sqrt{3} Gar^{(e)r} = \sqrt{3} Gar (1 - \lambda k) \end{aligned} \quad (3.10)$$

Используя (3.8) и (3.10), получим

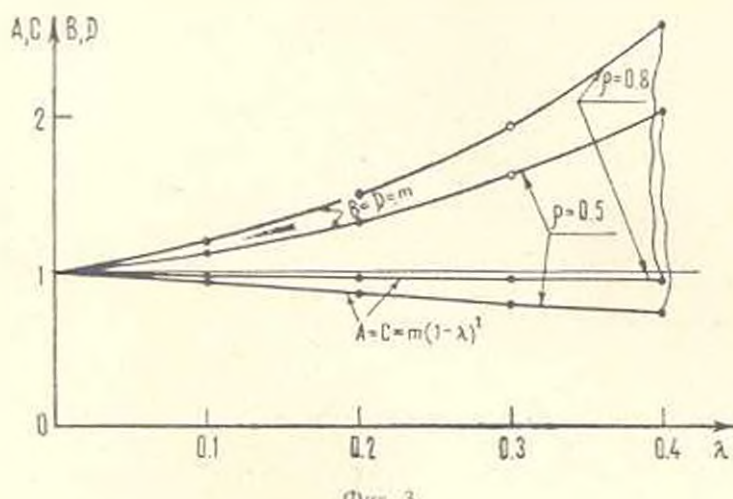
$$\begin{aligned} m &= \frac{\int_{r_p}^{r_p} (\tau_i^{(e)} - \tau_i^r)^2 dv}{\int_{r_p}^{r_p} (\tau_i - \tau_i^r)^2 dv} = \\ &= \frac{\frac{(1-\lambda k)^2}{4} [1 - \rho^4 (1+h)^4] - \frac{2\rho}{3} (1-\lambda k) [1 - \rho^3 (1+h)^3] + \frac{\rho^2}{2} [1 - \rho^2 (1+h)^2]}{(1-\lambda)^2 \left[ \frac{1}{4} (1-\rho^4) - \frac{2\rho}{3} (1-\rho^3) + \frac{\rho^2}{2} (1-\rho^2) \right]} \\ n &= \frac{\int_{r_p}^{r_p} (\varepsilon_i - \varepsilon_i^r)^2 dv}{\int_{r_p}^{r_p} (\varepsilon_i^{(e)} - \varepsilon_i^r)^2 dv} = \frac{1}{m (1-\lambda)^2}, \quad \rho = \frac{a}{R}, \quad h = \frac{\lambda k}{1-\lambda k} \quad (3.11) \end{aligned}$$

В нижеприведенной таблице представлены значения  $m$  для некоторых  $\lambda$  и относительного радиуса поверхности раздела упругой и пластической областей цилиндра  $\rho$ .

Таблица 1

$\lambda \backslash \rho$	0.5	0.6	0.7	0.8	0.9	1.0
1	2	3	4	5	6	7
0	1.0000	1.0000	1.0000	1.0000	1.0000	1.0000
0.1	1.1487	1.1752	1.1986	1.2174	1.2300	1.2346
0.2	1.3490	1.4142	1.4722	1.5191	1.5508	1.5625
0.3	1.6302	1.7539	1.8651	1.9562	2.0180	2.0408
0.4	2.0465	2.2636	2.4613	2.6247	2.7364	2.7778

С помощью данных этой таблицы на фиг. 3 построены области, заключенные между верхними и нижними относительными границами оценок (3.4) и (3.5) для случаев, когда толщина пластического слоя составляет 0.5 и 0.2 части радиуса цилиндра (второй и пятый столбцы таблицы). Из



Фиг. 3.

фигур и таблицы видно, что с увеличением пластической области (с уменьшением  $\rho$ ) верхняя оценка улучшается, приближаясь, а нижняя оценка — ухудшается, удаляясь от действительных значений работы деформаций. Следовательно, для случаев хорошо развитых пластических областей можно с определенной уверенностью пользоваться верхней оценкой  $B$  или  $D$ .

## II. М. КИРАКОСЯН

ԴԵՖՈՐՄԱՑԻՈՆ ՄԱՐՄԻՆ ԵԶՐԱՅԻՆ ԽՆԴՐԻ ԱՌԱՋԳԱԿԱՆ ԵՎ  
ԱՌԱՋԳԱՎԱՐԱՏԻՎԱԿԱՆ ԴՐԱՄՔԻՆԵՐՈՒՎ ՍՏԱՑԻԼԱԾ ԼՈՒԽՈՒՄՆԵՐԻ ՄԻջեւ  
Եղան ԿԱՊԻ ՄԱՍԻՆ

## Ա. Վ Փ Թ Փ Ո Ւ Ժ

Փոքր առաձգա-պլաստիկական դեֆորմացիաների աեսության շրջանակներում դիտարկվում է մարմնի հավասարակշռությանը խառը եղբային պայմանների առկայությամբ։ Ստատիկորեն և իինեմատիկորեն հնարավոր լարաւմների ու դեֆորմացիաների դաշտերի համապատասխան ընտրությամբ օգտագործվում են եզրացին խնդրի մինիմալ սկզբունքները և ստացվում են մի քանի անհավասարություններ, որոնք կապ են հաստատում եղբային խնդրի առաձգական և առաձգա-պլաստիկական դրվագներով ստացված լուծումների մեջ։

ON CORRELATION BETWEEN SOLUTIONS TO A BOUNDARY  
PROBLEM FOR A DEFORMED BODY RECEIVED IN ELASTIC  
AND ELASTIC-PLASTIC STATEMENTS

R. M. KIRAKOSIAN

Տ Ա Մ Մ Ա Ր Ա

Equilibrium of bodies under mixed boundary conditions in terms of correlations of the theory of small elastic-plastic deformations is considered in geometrically linear statement.

Using minimum principles of a boundary problem with pertinent choice of statically and kinematically possible stress-strain distributions, certain inequalities are obtained correlating the boundary problem solutions in elastic and elastic-plastic statements.

Լ Ի Տ Ե Ր Ա Տ Ո Ր Ա

1. Ильинский А. А. Пластичность. Гостехиздат. М., 1948.
2. Каухарер Г. Нелинейная механика. ИЛ, М., 1961.